

**IDENTIFIKASI LAPISAN RAWAN LONGSOR
MENGGUNAKAN METODE GEOLISTRIK RESISTIVITAS
KONFIGURASI WENNER-SCHLUMBERGER
DI DESA PANA KECAMATAN ALLA
KABUPATEN ENREKANG**



Diajukan untuk Memenuhi Salah Satu Syarat Meraih Gelar Sarjana Sains
Jurusan Fisika Pada Fakultas Sains Dan Teknologi
UIN Alauddin Makassar

Oleh :

UNIVERSITAS ISLAM NEGERI
MUH. TAUFIK
NIM.60400113004
ALAUDDIN
FAKULTAS SAINS DAN TEKNOLOGI
UIN ALAUDDIN MAKASSAR

2017

PERNYATAAN KEASLIAN SKRIPSI

Mahasiswa yang bertanda tangan di bawah ini:

Nama : Muh.Taufik

NIM : 60400113004

Tempat/Tgl.Lahir : Makassar/ 1 Juli 1995

Jurusan : Fisika

Fakultas : Sains dan Teknologi

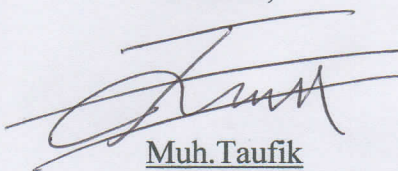
Judul : Identifikasi Lapisan Rawan Longsor Menggunakan
Metode Geolistrik Konfigurasi Wenner-Schlumberger

Di Desa Pana Kec. Alla Kab. Enrekang

Menyatakan bahwa skripsi ini benar adalah hasil penyusun sendiri. Jika
dikemudian hari terbukti bahwa ia merupakan duplikat, tiruan, plagiat, atau dibuat
oleh orang lain, sebagian atau seluruhnya, maka skripsi dan gelar yang diperoleh
karenanya batal karena hukum.

MAKASSAR
Gowa, 26 Oktober 2017

Penulis,



Muh.Taufik

NIM: 60400113004

PENGESAHAN SKRIPSI

Skripsi yang berjudul "*Identifikasi Lapisan Rawan Longsor Menggunakan Metode Geolistrik Resistivitas Konfigurasi Wenner – Schlumberger Di Desa Pana Kecamatan Alla Kabupaten Enrekang*", yang disusun oleh saudara **MUH. TAUFIK, Nim: 60400113004** Mahasiswa Jurusan Fisika Fakultas Sains dan Teknologi UIN Alauddin Makassar, telah diuji dan dipertahankan dalam sidang munaqasyah yang diselenggarakan pada hari Jumat, 24 November 2017 M, bertepatan dengan 5 Rabi'ul Awwal 1439 H, dinyatakan telah dapat diterima sebagai salah satu syarat untuk meraih gelar sarjana dalam ilmu Fisika, Jurusan Fisika (dengan beberapa perbaikan).

Gowa, 24 November 2017

5 Rabi'ul Awwal 1439 H

DEWAN PENGUJI

Ketua	: Dr. Muh. Thahir Maloko, M.Hi.	(.....)
Sekertaris	: Ihsan, S.Pd., M.Si.	(.....)
Munaqisy I	: Iswadi, S.Pd., M.Si.	(.....)
Munaqisy II	: Dr. Hasyim Haddade, M.Ag.	(.....)
Pembimbing I	: Sahara, S.Si., M.Sc., Ph.D.	(.....)
Pembimbing II	: Ayusari Wahyuni, S.Si., M.Sc.	(.....)

Diketahui oleh:
**Dekan Fakultas Sains dan teknologi
UIN Alauddin Makassar**

Prof. Dr. H. Arifuddin, M.Ag.
NIP: 19691205 199303 1 001

KATA PENGANTAR

Alhamdulillah, segala puji bagi Allah Swt. Atas segala rahmat, nikmat, hidayah dan pertolongan-Nya, sehingga penulisan skripsi ini dapat terselesaikan sebagai salah satu syarat memperoleh gelar sarjana strata satu fisika. Shalawat serta salam kita haturkan kepada nabi kita Muhammad saw, berkat jasa dan pengorbanan beliaulah sehingga kita bisa merasakan nikmat islam. Beliau adalah sosok teladan umat islam dalam segala perilaku keseharian yang berorientasi kemulian hidup di dunia dan akhirat.

Penulisan skripsi ini adalah didasarkan pada hasil penelitian sebagai kajian mendalam dengan judul **“Identifikasi Lapisan Rawan Longsor Menggunakan Metode Geolistrik Resistivitas Konfigurasi Wenner-Schlumberger di Desa Pana Kecamatan Alla Kabupaten Enrekang”**. Skripsi ini dapat terselesaikan secara bertahap dengan baik. Penulis menyadari bahwa skripsi ini masih jauh dari kesempurnaan baik dari segi sistematika penulisan, maupun dari segi bahasa yang termuat di dalamnya. Oleh karena itu, kritikan dan saran yang membangun senantiasa penulis harapkan guna terus menyempurnakan tulisan ini.

Salah satu dari sekian banyak pertolongan-Nya adalah telah digerakkan hati sebagian hamba-Nya untuk membantu dan membimbing penulis dalam menyelesaikan skripsi ini. Oleh karena itu penulis ingin menyampaikan ucapan terima kasih kepada mereka yang telah memberikan andilnya sampai skripsi ini dapat terselesaikan.

Penulis menyampaikan terima kasih yang terkhusus kepada Ayahanda dan Ibunda tercinta (**Irfan, S.T dan Ernita Amin, S.Pd**) dimana rasa dan ungkapan terima kasih tidaklah bisa membalas sebagian kecil atas usaha, kasih sayang yang senantiasa tulus serta doanya yang tiada henti-hentinya demi melihat kebaikan, keberhasilan dan kebahagian penulis, sehingga penulis bisa menjadi orang yang seperti sekarang ini.

Selain itu ucapan terima kasih juga kepada saudara dan saudari penulis (**Vidya Sari Nur Faidah, Muh. Shaffaat, Amalia Sari Nur Faidah dan Mulia Sari Nur Faidah**) yang selalu memberikan semangat kepada penulis.

Selain ucapan terima kasih kepada kedua orang tua, saudara-saudari dan juga keluarga besar, penulis juga mengucapkan terima kasih kepada Ibu **Sahara, S.Si., M.Sc., Ph.D** dan Ibu **Ayusari Wahyuni, S.Si., M.Sc** selaku pembimbing I dan pembimbing II yang dengan tulus meluangkan waktu, tenaga dan pikiran untuk membimbing, mengajarkan dan mengarahkan penulis agar dapat menyelesaikan Skripsi ini dengan hasil yang baik dan tepat waktu.

UNIVERSITAS ALAUDDIN MAKASSAR

Penulis menyadari bahwa skripsi ini dapat terselesaikan berkat bantuan dari berbagai pihak dengan penuh keikhlasan dan ketulusan hati. Untuk itu pada kesempatan ini, penulis ingin menyampaikan ucapan terima kasih kepada:

1. Bapak **Prof. Dr. H. Musafir, M.Si** sebagai rektor UIN Alauddin Makassar yang telah memberikan andil dalam melanjutkan pembangunan UIN Alauddin Makassar dan memberikan berbagai fasilitas guna kelancaran studi kami.
2. Bapak **Prof.Dr. H. Arifuddin, M.Ag** selaku Dekan, Ibu **Dr.Hj.Wasilah, S.T., M.T** selaku Wakil Dekan I, Bapak **Dr.Muh.Thahir Maloko, M.Hi** selaku Wakil Dekan II dan Bapak **Dr.Ir.A.Suarda, M.Si** selaku Wakil Dekan III Fakultas Sains dan Teknologi.
3. Ibu **Sahara, S.Si., M.Sc., Ph.D** sebagai ketua Jurusan Fisika Fakultas Sains dan Teknologi sekaligus sebagai pembimbing I yang selama ini berperan besar selama masa studi kami, memberikan motivasi maupun semangat maupun kritik masukan kepada penulis sehingga penulis dapat menyelesaikan skripsi ini dengan baik.
4. Bapak **Ihsan, S.Pd., M.Si** sebagai sekertaris Jurusan Fisika Fakultas Sains dan Teknologi yang selama ini membantu penulis selama masa studi.
5. Bapak **Iswadi, S.Pd., M.Si** dan Bapak **Dr. Hasyim Haddade, M.Ag** selaku penguji I dan penguji II yang senantiasa memberikan masukan kepada penulis untuk perbaikan skripsi ini.
6. Bapak dan Ibu Dosen Jurusan Fisika Fakultas Sains dan Teknologi yang telah segenap hati dan ketulusan memberikan banyak ilmu kepada penulis, sehingga penulis bisa menyelesaikan skripsi ini dengan baik.

7. Staf Tata Usaha Jurusan Fisika, **Hadiningsih, S.E** yang telah membantu dalam pengurusan persuratan.
8. Kepada keluarga Bapak **Amir**, yang telah berbaik hati menyediakan tempat tinggal kepada kami selama di Enrekang.
9. Kepada saudara **Sudarmadi Alimin** selaku asisten lapangan yang telah meluangkan waktu, tenaga dan pikiran ditengah kesibukannya sebagai mahasiswa yang telah membantu proses akuisisi data hingga proses interpretasi data.
10. Kepada saudara **Amal Saga dan keluarganya** yang telah meluangkan waktunya menemani penulis mulai dalam proses observasi lapangan sampai proses akuisisi data dan menyediakan tempat tinggal selama proses ini.
11. Kepada teman sekaligus mahasiswa UIN Alauddin (**Fajrul, Safwan, Ilyas, Sarjan, Mail, Umar, Jaya, Aida, Ani, Dija, Ira dan Ica**) yang telah membantu proses akuisisi data di lapangan dan telah bersabar dalam menjalani masa-masa sulit yang menimpa dalam perjalanan.
12. Kepada bapak **Tahang** yang telah berbaik hati meminjamkan mobilnya untuk penulis disaat mobil yang digunakan penulis mengalami masalah.
13. Kepada semua pihak yang telah membantu dalam upaya perbaikan mobil yang digunakan oleh penulis dan rombongan.
14. Kepada teman-teman **Asas Black (Angkatan 2013)** yang telah menemani hari-hari penulis sebagai mahasiswa Jurusan Fisika Fakultas Sains dan Teknologi dan juga membantu penulis selama masa studi

terlebih lagi pada masa penyusunan skripsi ini dan juga kepada kakanda angkatan 2012 dan juga adinda 2014, 2015 dan 2016 yang telah berpartisipasi selama masa studi penulis.

Terlalu banyak orang-orang yang berjasa kepada penulis selama menempuh pendidikan di UIN Alauddin Makassar sehingga tidak sempat dan tidak muat bila dicantumkan semua dalam ruang sekecil ini.

Penulis juga menyampaikan permohonan maaf kepada mereka yang namanya tidak sempat penulis cantumkan dan kepada mereka semua tanpa terkecuali, penulis mengucapkan terima kasih kepada semuanya semoga Allah Swt senantiasa menjaga dan mencatatnya sebagai amal kebaikan.

Gowa, 26 Oktober 2017

Penulis,

Muh.Taufik

NIM: 60400113004



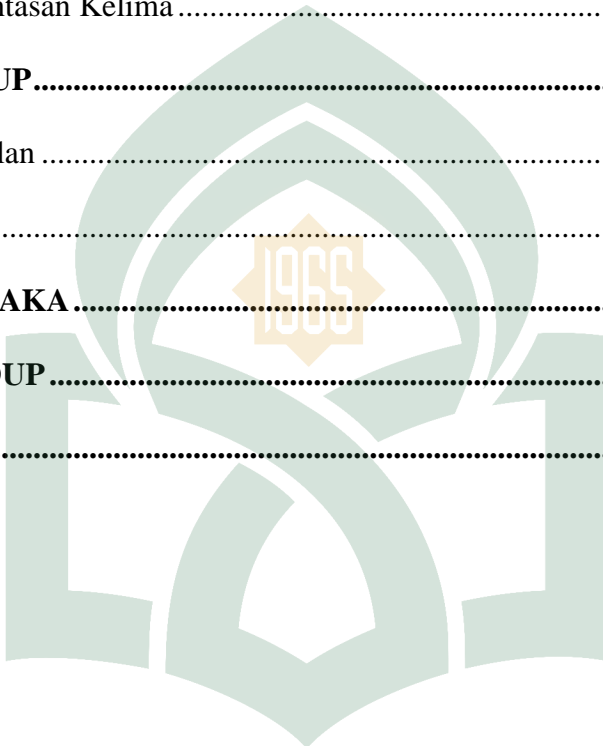
DAFTAR ISI

HALAMAN SAMPUL.....	
PERNYATAAN KEASLIAN SKRIPSI.....	i
LEMBAR PENGESAHAN	ii
KATA PENGANTAR.....	iii
DAFTAR ISI.....	viii
DAFTAR GAMBAR.....	xii
DAFTAR TABEL	xiii
DAFTAR SIMBOL	xiv
DAFTAR LAMPIRAN	xv
ABSTRAK	xvi
ABSTRACT	xvii
BAB I PENDAHULUAN.....	1
1.1 Latar Belakang	1
1.2 Rumusan Masalah	3
1.3 Tujuan Penelitian.....	4
1.4 Ruang Lingkup Penelitian	4
1.5 Manfaat Penelitian.....	5
BAB II TINJAUAN TEORETIS	6
2.1 Tanah Longsor.....	6
2.1.1 Longsoran Translasi	6
2.1.2 Longsoran Rotasi.....	7

2.1.3 Pergerakan Blok	7
2.1.4 Runtuhan Batu.....	8
2.1.5 Rayapan Tanah.....	8
2.1.6 Aliran Bahan Rombakan	9
2.2 Faktor-faktor Penyebab Tanah Longsor.....	10
2.2.1 Hujan	11
2.2.2 Lereng Terjal	11
2.2.3 Tanah yang Kurang Padat dan Tebal	11
2.2.4 Batuan yang Kurang Kuat.....	12
2.2.5 Jenis Tata Lahan.....	12
2.2.6 Getaran	12
2.2.7 Susut Muka Air Danau atau Bendungan	12
2.2.8 Adanya Beban Tambahan	12
2.2.9 Pengikisan atau Erosi	13
2.2.10 Adanya Material Timbunan pada Tebing.....	13
2.2.11 Longsoran Lama.....	13
2.2.12 Adanya Bidang Diskontinuitas.....	13
2.2.13 Penggundulan Hutan	14
2.3 Struktur dan Sifat Tanah	14
2.3.1 Struktur Tanah.....	15
2.3.2 Sifat-sifat Tanah	15
2.4 Zona Labil	18
2.4.1 Zona Kerentangan Gerakan Tanah Sangat Rendah.....	18

2.4.2 Zona Kerentangan Gerakan Tanah Rendah	19
2.4.3 Zona Kerentangan Gerakan Tanah Menengah.....	19
2.4.4 Zona Kerentangan Gerakan Tanah Tinggi	19
2.5 Metode Geolistrik.....	20
2.6 Metode Geolistrik Resistivitas	21
2.7 Konfiguras Elektroda dan Sensitivitas	22
2.8 Metode Geolistrik Resistivitas Konfigurasi Wenner-Schlumberger.	23
2.9 Geologi Daerah Penelitian	25
2.10 Perspektif Al-Quran tentang Tanah Longsor	28
BAB III METODE PENELITIAN	33
3.1 Waktu dan Tempat Penelitian	33
3.2 Alat dan Bahan Penelitian.....	33
3.3 Metode Penelitian	34
3.3.1 Tahap Kajian Pustaka dan Survei Lapangan	34
3.3.2 Tahap Akuisisi Data Metode Geolistrik Resistivitas Konfigurasi Wenner-Schlumberger.....	35
3.3.3 Tahap Pengolahan Data Geolistrik Resistivitas	36
3.3.4 Interpretasi Data.....	36
3.4 Tabel Pengamatan Penelitian	36
3.5 Diagram Alir Penelitian	38
BAB IV HASIL DAN PEMBAHASAN	39
4.1 Hasil dan Pembahasan	39
4.2 Litologi Daerah Penelitian	40

4.2.1 Lintasan Pertama.....	40
4.2.2 Lintasan Kedua	43
4.2.3 Lintasan Ketiga	46
4.2.4 Lintasan Kempat	49
4.2.5 Lintasan Kelima	53
BAB V PENUTUP.....	58
5.1 Kesimpulan	58
5.2 Saran	58
DAFTAR PUSTAKA	60
RIWAYAT HIDUP	62
LAMPIRAN.....	L1



UNIVERSITAS ISLAM NEGERI

ALAUDDIN

MAKASSAR

DAFTAR GAMBAR

No.	Keterangan Gambar	Halaman
2.1	Longsoran Translasi	7
2.2	Longsoran Rotasi	7
2.3	Pergerakan Blok	8
2.4	Runtuhan Batu	8
2.5	Rayapan Tanah	9
2.6	Aliran Bahan Rombakan	9
2.7	Struktur Bawah Permukaan Bumi	14
2.8	Pengaturan Elektroda Konfigurasi Wenner-Schlumberger	23
2.9	Peta Geologi Daerah Penelitian	25
3.1	Peta Lokasi Penelitian	33
4.1	(a). Penampang 2D hasil inversi tanpa topografi (b). Penampang 2D hasil inversi dengan topografi	40 41
4.2	(a). Penampang 2D hasil inversi tanpa topografi (b). Penampang 2D hasil inversi dengan topografi	43 44
4.3	(a). Penampang 2D hasil inversi tanpa topografi (b). Penampang 2D hasil inversi dengan topografi	46 47
4.4	(a). Penampang 2D hasil inversi tanpa topografi (b). Penampang 2D hasil inversi dengan topografi	50 50
4.5	(a). Penampang 2D hasil inversi tanpa topografi (b). Penampang 2D hasil inversi dengan topografi	53 54

DAFTAR TABEL

No.	Keterangan Tabel	Halaman
2.1	Resistivitas material-material bumi	24
3.1	Hasil Pengukuran Injeksi Arus (I) dan Tegangan (V)	37
4.1	Klasifikasi Nilai Resistivity Lintasan Pertama	41
4.2	Klasifikasi Nilai Resistivity Lintasan Kedua	44
4.3	Klasifikasi Nilai Resistivity Lintasan Ketiga	47
4.4	Klasifikasi Nilai Resistivity Lintasan Keempat	50
4.5	Klasifikasi Nilai Resistivity Lintasan Kelima	54



DAFTAR SIMBOL

Simbol	Keterangan	Satuan
ρ	Resistivitas	Ohm.m
V	Beda Potensial	Volt
K	Faktor Geometri	m
I	Kuat arus	A
C1-C2	Titik Elektroda Arus	
P1-P2	Titik Elektroda Potensial	
a	Jarak Spasi	m
n	Datum Level	m^2
na	Jarak C1-P1 & Jarak P2-C2	m

UNIVERSITAS ISLAM NEGERI
ALAUDDIN
 MAKASSAR

DAFTAR LAMPIRAN

Lampiran	Keterangan	Halaman
1	Jadwal Penelitian	L1
2	Data Hasil Penelitian	L3
3	Penampang 2D Tiap Lintasan	L30
4	Peta	L36
5	Dokumentasi Kegiatan	L40
6	Dokumentasi Surat Keputusan (SK)	L48
7	Dokumentasi Surat Penelitian	L52


UNIVERSITAS ISLAM NEGERI
ALAUDDIN
MAKASSAR

ABSTRAK

Nama : Muh.Taufik

NIM : 60400113004

Judul : Identifikasi Lapisan Rawan Longsor Meggunakan Metode Geolistrik Resistivitas Konfigurasi Wenner-Schlumberger Di Desa Pana Kecamatan Alla Kabupaten Enrekang

Telah dilakukan penelitian mengenai lapisan rawan longsor di Desa Pana Kecamatan Alla Kabupaten Enrekang. Penelitian ini bertujuan untuk mengetahui struktur lapisan bawah permukaan di Desa Pana Kecamatan Alla Kabupaten Enrekang dan untuk mengetahui potensi longsor dilihat dari lapisan batuan di desa Pana Kecamatan Alla Kabupaten Enrekang. Dalam penelitian ini pengukuran dilakukan menggunakan metode geolistrik resistivitas konfigurasi Wenner-Schlumberger. Pengukuran dilakukan pada 5 lintasan dengan panjang tiap lintasan adalah 75 m dengan spasi tiap elektroda adalah 5 m untuk tiap lintasan. Hasil pengolahan data menunjukkan bahwa kelima lintasan tersusun atas lapisan tanah dengan akumulasi air yang cukup banyak , dengan nilai resistivitas $0,168 \Omega\text{m}$ - $13,7 \Omega\text{m}$, lapisan batuserpih dalam kondisi lapuk dengan nilai resistivitas $4,16 \Omega\text{m}$ - $41,3 \Omega\text{m}$ dan batuserpih dalam kondisi fresh dengan nilai resistivitas $41,3 \Omega\text{m}$ - $1141 \Omega\text{m}$. Selanjutnya lintasan yang dinilai rawan longsor adalah lintasan 3, lintasan 4 dan lintasan 5. Pendugaan ini dikarenakan pada ketiga lintasan terdapat lapisan yang diduga sebagai bidang gelincir dengan nilai resistivitas $29,7 \Omega\text{m}$ - $37,9 \Omega\text{m}$.

UNIVERSITAS ISLAM NEGERI

Kata kunci : Bidang gelincir, Geolistrik, Resistivitas, Tanah longsor, Wenner-Schlumberger

ALAUDDIN
MAKASSAR

ABSTRACT

Name : Muh.Taufik

NIM : 60400113004

Thesis Title : Identification of Landslide-prone Layer Using Geolistrik Resistivity Method Configuration of Wenner-Schlumberger In Pana Village Alla Subdistrict Of Enrekang Regency.

Has conducted research on landslide-prone layer in Pana village Alla subdistrict of Enrekang regency. This research aims to determine the subsurface structure in Pana village Alla subdistrict of Enrekang regency and to determine the potential landslides based of rock layers in Pana village Alla subdistrict of Enrekang regency. In this research measurements were performed using geolistrik resistivity method configuration of Wenner-Schlumberger. Measurements were taken at 5 tracks with the lenght of each track is 75 m with each electrode spacing is 5 m for each track. The result of data processing showed that 5 tracks composed of a layer of soil with plenty of water accumulation, with resistivity value of 0,169 Ωm -13,7 Ωm , a layer of shale in weather conditions with resistivity value of 4,16 Ωm -41,3 Ωm and a layer of shale in fresh condition with resistivity value of 41,3 Ωm -1141 Ωm . Futhermore, the track is concidered prone to landslide are track 3, track 4 and track 5. These predictions are because on the third track suspected slip surface with resistivity value of 29,7 Ωm -37,9 Ωm .

Key words: Slip surface, Geolistrik, Resistivity, Landslide, Wenner-Schlumberger



BAB I

PENDAHULUAN

1.1 Latar Belakang

Indonesia adalah salah satu wilayah di dunia yang terletak dipertemuan tiga lempeng aktif yang berukuran makro dan satu lempeng mikro. Lempeng makro yaitu lempeng Eurasia, lempeng Indo-Australia, dan lempeng Pasifik dan juga satu lempeng mikro yaitu lempeng Filipina. Lempeng-lempeng ini selalu bergerak dan saling menumbuk satu dengan yang lainnya. Akibat pertemuan lempeng-lempeng ini menyebabkan terbentuknya jalur gunung api di Indonesia. Selain itu efek dari pertemuan empat lempeng tersebut menyebabkan wilayah Indonesia memiliki bentuk morfologi yang beragam salah satunya perbukitan-perbukitan yang memiliki lereng yang landai sampai terjal. Hal ini menyebabkan Indonesia menjadi rawan akan bencana geologi, misalnya saja gempa bumi, tanah longsor, dan juga gunung meletus yang dapat menimbulkan kerugian materi maupun jiwa.

UNIVERSITAS ISLAM NEGERI

Tak hanya itu, wilayah Indonesia juga berada di wilayah khatulistiwa yang menyebabkan Indonesia beriklim tropis. Hal ini pula yang mengakibatkan Indonesia hanya memiliki dua musim yaitu musim kemarau dan musim penghujan. Pada saat memasuki musim kemarau maka hutan-hutan di Indonesia rawan terjadi kebakaran hutan, sedangkan pada saat musim penghujan Indonesia rawan bencana banjir dan juga tanah longsor.

Salah satu wilayah yang rawan tanah longsor di daerah Sulawesi Selatan adalah kabupaten Enrekang. Kabupaten Enrekang memiliki relief morfologi yang

kasar dengan lereng-lereng yang terjal, yang secara umum sangat rawan terjadinya bencana pergerakan tanah atau tanah longsor. Disamping itu kondisi batuan dan pembentuk lereng gunung yang tidak kompak dan mudah mengalami degradasi umumnya lebih mudah menyebakan pergerakan tanah atau tanah longsor. Selain itu hal ini juga diperburuk dengan curah hujan yang tinggi utamanya disaat musim penghujan.(BPBD,2015).

Menurut Badan Nasional Penanggulangan Bencana (BNPB) menyebutkan bahwa selama tahun 2016 terdapat 2.342 kejadian bencana. Sebanyak 92% dari kasus tersebut adalah bencana hidrometeorologi yang di dominasi oleh banjir, tanah longsor, dan puting beliung. Sepanjang tahun 2016 terjadi 766 bencana banjir, 611 bencana tanah longsor, dan 669 bencana puting beliung.

Melihat kerugian yang disebabkan oleh bencana tanah longsor ini maka perlu dilakukan upaya-upaya penanggulangan bencana tanah longsor, salah satunya dengan penerapan ilmu geofisika. Salah satu metode geofisika yang dapat digunakan untuk mengetahui struktur bawah permukaan adalah metode geolistrik resistivitas. Metode geolistrik resistivitas sudah sering digunakan untuk mendeteksi struktur bawah permukaan tanah guna mengidentifikasi potensi tanah longsor di suatu wilayah berdasarkan sifat resistivitas tanah ataupun batuan di wilayah tersebut.

Daerah penelitian berada di sekitar Daerah Aliran Sungai (DAS) dan juga memiliki kemiringan lereng yang cukup terjal. Melihat kondisi lapangan di daerah tersebut secara kasat mata kita akan berfikir bahwa daerah tersebut rawan longsor. Namun untuk penyelidikan lebih lanjut maka diperlukan upaya penyelidikan

bawah permukaan untuk mengetahui keberadaan lapisan rawan longsor di daerah tersebut.

Lapisan rawan longsor biasanya dicirikan dengan adanya lapisan impermeabel yang berada di bawah lapisan permeabel, dimana lapisan impermeabel ini akan bertindak sebagai bidang gelincir yang akan menarik material-material tanah yang berada di atasnya mengikuti bentuk dari bidang gelincir itu sendiri.

Berdasarkan uraian diatas maka akan dilakukan **Identifikasi Lapisan Rawan Longsor Menggunakan Metode Geolistrik Resistivitas Konfigurasi Wenner-Schlumberger Di Desa Pana Kecamatan Alla Kabupaten Enrekang** yang bertujuan untuk mengetahui struktur lapisan bawah permukaan dan juga mengetahui potensi longsor di daerah penelitian yang dapat dijadikan sebagai informasi awal dalam upaya meminimalisir kerugian yang diakibatkan oleh tanah longsor.

1.2 Rumusan Masalah

Berdasarkan latar belakang yang telah diuraikan diatas, maka rumusan masalah dalam penelitian ini yaitu sebagai berikut:

1. Bagaimana struktur lapisan bawah permukaan di Desa Pana Kecamatan Alla Kabupaten Enrekang?
2. Apakah terdapat potensi longsor pada lapisan batuan Desa Pana Kecamatan Alla Kabupaten Enrekang ?

1.3 Tujuan Penelitian

Tujuan yang ingin dicapai dengan adanya penelitian ini adalah:

1. Mengetahui struktur lapisan bawah permukaan di Desa Pana Kecamatan Alla Kabupaten Enrekang.
2. Mengetahui potensi longsor dilihat dari lapisan batuan Desa Pana Kecamatan Alla Kabupaten Enrekang.

1.4 Ruang Lingkup Penelitian

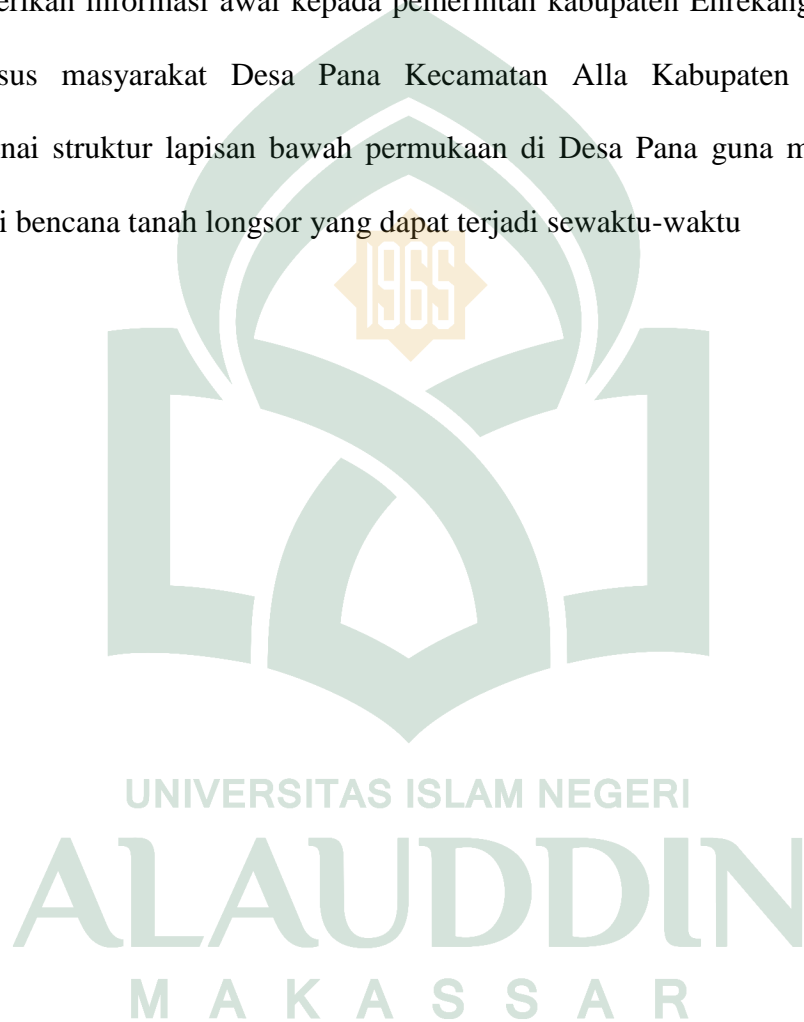
Ruang lingkup pada penelitian ini adalah sebagai berikut:

1. Identifikasi yang dimaksud adalah mengetahui struktur lapisan bawah permukaan dan potensi longsor.
2. Potensi longsor yang dimaksudkan adalah adanya lapisan permeabel yang berada di bawah lapisan impermeabel.
3. Penelitian ini dilakukan di Dusun Pangrara Desa Pana Kec. Alla Kab. Enrekang dengan titik koordinat $03^{\circ}16'51,3'' - 03^{\circ}16'46,5''$ LS dan $119^{\circ}49'33,0'' - 119^{\circ}49'36,3''$ BT dengan ketinggian 1012 – 1065 mdpl.
4. Pada penelitian ini akan dilakukan dengan menggunakan metode geolistrik resistivitas konfigurasi Wenner-Schlumberger.
5. Data yang diperoleh dari penelitian ini akan diolah menggunakan beberapa software, yaitu :
 - a. Notepad.
 - b. Ms. Excel.
 - c. Res2DInv.

6. Hasil interpretasi didasarkan pada tabel nilai resistivitas material-material bumi menurut Tellford, dkk, 1990.

1.5 Manfaat Penelitian

Manfaat yang diharapkan dengan adanya penelitian ini yaitu secara umum memberikan informasi awal kepada pemerintah kabupaten Enrekang dan juga terkhusus masyarakat Desa Pana Kecamatan Alla Kabupaten Enrekang mengenai struktur lapisan bawah permukaan di Desa Pana guna mengetahui potensi bencana tanah longsor yang dapat terjadi sewaktu-waktu



BAB II

TINJAUAN TEORETIS

2.1 Tanah Longsor

Gerakan tanah adalah suatu peristiwa alam dimana massa tanah atau bebatuan bergerak menuruni kemiringan oleh sebab gaya gravitasi. Sering pula disebut dalam istilah yang lebih umum sebagai tanah longsor (*landslide*) (Subekti, 2016: 157).

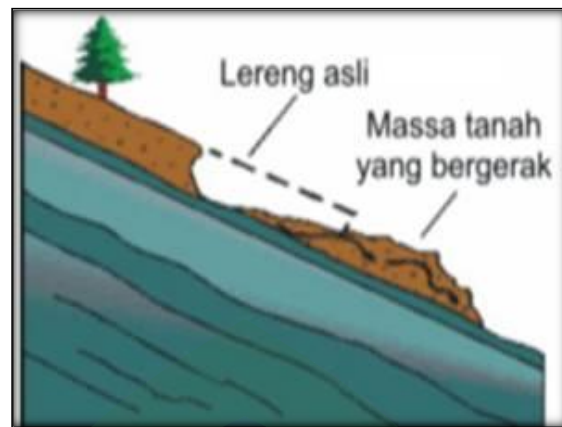
Gerakan tanah adalah perpindahan material pembentuk lereng, berupa batuan, bahan rombakan, tanah atau campuran dari material-material tersebut, ke arah bawah akibat terjadinya kegagalan fungsi lereng (Balfas, 2015 : 165).

Gerakan tanah merupakan suatu fenomena geologi yang dapat terjadi ketika stabilitas lereng dari kondisi stabil menjadi tidak stabil (Balfas, 2015 : 165). Sedangkan dari cara bergeraknyapun bermacam-macam, misalnya menggelincir (*sliding*), nendatan (*shumping*), roboh (*toppling*), runtuhan (*falling*), merayap (*Creeping*) atau mengalir (*flowing*). Demikian pula halnya dengan material yang terkait, dapat berupa massa tanah (*soil*), massa batuan (*rock*), atau bahan-bahan rombakan lainnya (*debris*) (Subekti, 2016 : 157).

Ada 6 jenis tanah longsor menurut ESDM (2007), yaitu sebagai berikut:

2.1.1 Longsoran Translasi

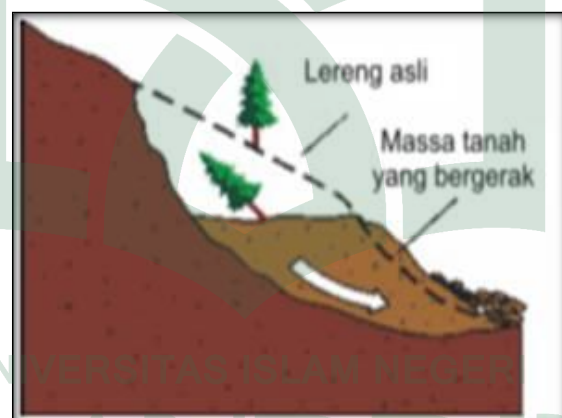
Longsoran translasi adalah bergeraknya massa tanah dan batuan pada bidang gelincir berbentuk rata atau menggelombang landai.



Gambar 2.1. Longsor Translasi
(Sumber: ESDM,2007)

2.1.2 Longsoran Rotasi

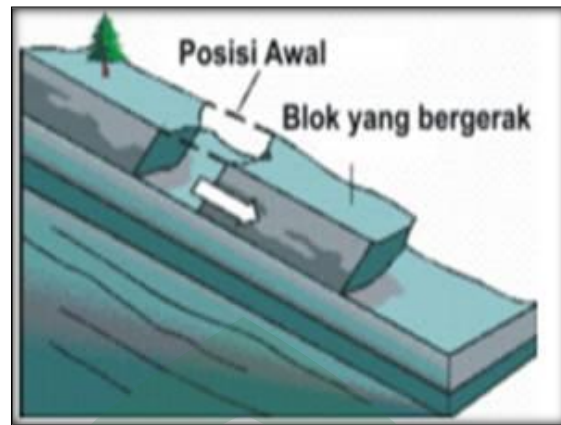
Longsoran rotasi adalah bergeraknya massa tanah dan batuan pada bidang gelincir berbentuk cekung.



Gambar 2.2. Longsor Rotasi
(Sumber: ESDM,2007)

2.1.3 Pergerakan Blok

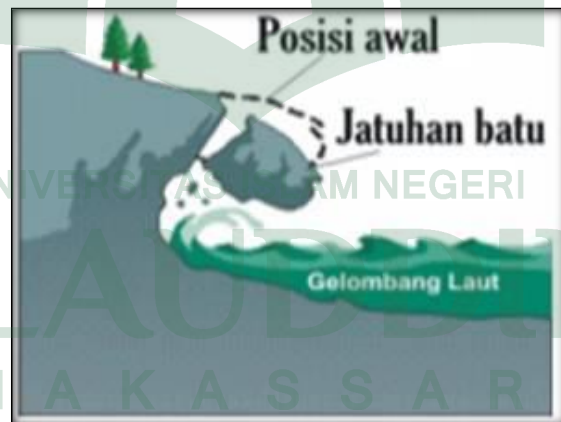
Pergerakan blok adalah perpindahan batuan yang bergerak pada bidang gelincir berbentuk rata. Longsoran ini disebut juga longsoran translasi blok batu.



Gambar 2.3. Pergerakan Blok
(Sumber: ESDM,2007)

2.1.4 Runtuhan Batu

Runtuhan batu terjadi ketika sejumlah besar batuan atau material lain bergerak ke bawah dengan cara jatuh bebas. Umumnya terjadi pada lereng yang terjal hingga menggantung terutama di daerah pantai. Batu-batu besar yang jatuh dapat menyebabkan kerusakan yang parah.



Gambar 2.4. Runtuhan Batu
(Sumber: ESDM,2007)

2.1.5 Rayapan Tanah

Rayapan Tanah adalah jenis tanah longsor yang bergerak lambat. Jenis tanahnya berupa butiran kasar dan halus. Jenis tanah longsor ini hampir tidak

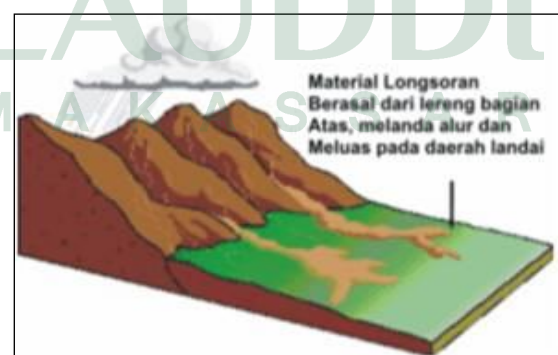
dapat dikenali. Setelah waktu yang cukup lama longsor jenis rayapan ini bisa menyebabkan tiang-tiang telepon, pohon, atau rumah miring ke bawah



Gambar 2.5. Rayapan Tanah
(Sumber: ESDM,2007)

2.1.6 Aliran Bahan Rombakan

Jenis tanah longsor ini terjadi ketika massa tanah bergerak didorong oleh air. Kecepatan aliran tergantung pada kemiringan lereng, volume dan tekanan air, dan jenis materialnya. Gerakannya terjadi di sepanjang lembah dan mampu mencapai ratusan meter jauhnya. Di beberapa tempat bisa sampai ribuan meter seperti di daerah aliran sungai di sekitar gunungapi. Aliran tanah ini dapat menelan korban cukup banyak.



Gambar 2.6. Aliran Bahan Rombakan
(Sumber: ESDM,2007)

2.2 Faktor-faktor Penyebab Tanah Longsor

Gaya gravitasi adalah penggerak utama tanah longsor, namun faktor-faktor penyebabnya adalah hubungan antara gaya pendorong dengan gaya penahannya, dimana longsor akan terjadi manakala gaya pendorong melampaui gaya penahannya. Beban material adalah gaya pendorong gerakan tanah sedangkan kekuatan geser (*shear strength*) pada bidang gelincir, batuan, adalah gaya penahannya (subekti, 2016 : 157)

Menurut (Darsono,dkk 2012 dalam Utami Sri dan supriadi 2014) salah satu faktor penyebab longsoran yang sangat berpengaruh adalah bidang gelincir (*slip surface*) atau bidang geser (*shear surface*). Menurut (Priyatari dan Suprianto 2009 dalam Sri Utami dan Supriadi 2014) bidang gelincir berada diantara bidang yang stabil (*bedrock*) dan bidang yang bergerak (bidang yang tergelincir).

Bentuk bidang gelincir ini sering mendekati busur lingkaran, dalam hal ini tanah longsor tersebut disebut *rotational slide* yang bersifat berputar. Ada juga tanah longsor yang terjadi pada bidang gelincir yang hampir lurus dan sejajar dengan muka tanah dalam hal ini tanah longsor disebut *translational slide* (Rahmawati, 2009 : 33)

Menurut (Nandi 2007; dalam Romosi 2016 : 26) faktor-faktor penyebab tanah longsor adalah :

2.2.1 Hujan

Ancaman tanah longsor biasanya dimulai pada bulan November karena meningkatnya intensitas curah hujan. Musim kering yang panjang akan menyebabkan terjadinya penguapan air di permukaan tanah dalam jumlah besar. Hal itu mengakibatkan munculnya pori-pori atau rongga tanah hingga terjadi retakan dan merekahnya tanah permukaan. Ketika hujan, air akan menyusup kebagian yang retak, sehingga tanah dengan cepat mengembang kembali. Pada awal musim hujan, intensitas hujan yang tinggi biasanya sering terjadi, sehingga kandungan air pada tanah menjadi jenuh dalam waktu singkat. Hujan lebat pada awal musim hujan dapat menimbulkan longsor, karena melalui tanah yang merekah air akan masuk dan terakumulasi di bagian dasar lereng, sehingga menimbulkan gerakan lateral.

2.2.2 Lereng Terjal

Lereng atau tebing yang terjal akan memperbesar gaya pendorong. Lereng yang terjal terbentuk karena pengikisan air sungai, mata air, air laut, dan angin.

2.2.3 Tanah yang Kurang Padat dan Tebal

Jenis tanah yang kurang padat adalah tanah lempung atau tanah liat dengan ketebalan lebih dari 2,5 m dan sudut lereng lebih dari 22° . Tanah jenis ini memiliki potensi untuk terjadinya tanah longsor terutama bila terjadi hujan. Selain itu, tanah ini sangat rentan terhadap pergerakan tanah karena menjadi lembek terkena air dan pecah ketika hawa terlalu panas.

2.2.4 Batuan yang Kurang Kuat

Batuan endapan gunung api dan sedimen berukuran pasir dan campuran antara kerikil, pasir, dan lempung umumnya kurang kuat. Batuan tersebut akan mudah menjadi tanah apabila mengalami proses pelapukan dan umumnya rentan terhadap tanah longsor bila terdapat pada lereng yang terjal.

2.2.5 Jenis Tata Lahan

Tanah longsor banyak terjadi di daerah tata lahan persawahan, perladangan, dan adanya genangan air di lereng yang terjal. Pada lahan persawahan akarnya kurang kuat untuk mengikat butir tanah dan membuat tanah menjadi lembek dan jenuh dengan air sehingga mudah menjadi longsor. Sedangkan untuk daerah perladangan penyebabnya adalah karena akar pohonnya tidak dapat menembus bidang longsoran yang dalam dan umumnya terjadi di daerah longsoran lama.

2.2.6 Getaran

Getaran yang terjadi biasanya diakibatkan oleh gempabumi, ledakan, getaran mesin, dan getaran lalu lintas kendaraan. Akibat yang ditimbulkannya adalah tanah, badan jalan, lantai, dan dinding rumah menjadi retak.

2.2.7 Susut Muka Air Danau atau Bendungan

Akibat susutnya muka air yang cepat di danau maka gaya penahan lereng menjadi hilang, dengan sudut kemiringan waduk 22^0 mudah terjadi longsoran dan penurunan tanah yang biasanya diikuti oleh retakan.

2.2.8 Adanya Beban Tambahan

Adanya beban tambahan seperti beban bangunan pada lereng dan kendaraan akan memperbesar gaya pendorong terjadinya longsor, terutama

disekitar tikungan jalan pada daerah lembah. Akibatnya adalah sering terjadinya penurunan tanah dan retakan yang arahnya ke arah lembah.

2.2.9 Pengikisan atau Erosi

Pengikisan banyak dilakukan oleh air sungai ke arah tebinng. Selain itu, akibat penggundulan hutan di sekitar tikungan sungai, tebing akan menjadi terjal.

2.2.10 Adanya Material Timbunan pada Tebing

Dalam upaya mengembangkan dan memperluas lahan pemukiman umumnya dilakukan pemotongan tebing dan penimbunan lembah. Tanah timbunan pada lembah tersebut belum terpadatkan sempurna seperti tanah asli yang berada di bawahnya. Sehingga apabila hujan akan terjadi penurunan tanah yang kemudian diikuti dengan retakan tanah.

2.2.11 Longsoran Lama

Longsoran lama umumnya terjadi selama dan setelah terjadinya pengendapan material gunungapi pada lereng yang relatif terjal atau pada saat/sesudah terjadi patahan kulit bumi. Bekas longsoran lama memiliki ciri-ciri : adanya tebing terjal yang panjang melengkung membentuk tapal kuda, umumnya dijumpai mata air, pepohonan yang relatif tebal karena tanahnya gembur dan subur.

2.2.12 Adanya Bidang Diskontinuitas

Bidang tidak sinambung ini memiliki ciri-ciri: bidang perlapisan batuan, bidang kontak antara tanah penutup dengan batuan dasar, bidang kontak antara batuan yang retak-retak dengan batuan yang kuat, bidang kontak antara batuan yang dapat melewatkannya air dengan batuan yang tidak melewatkannya air, serta bidang

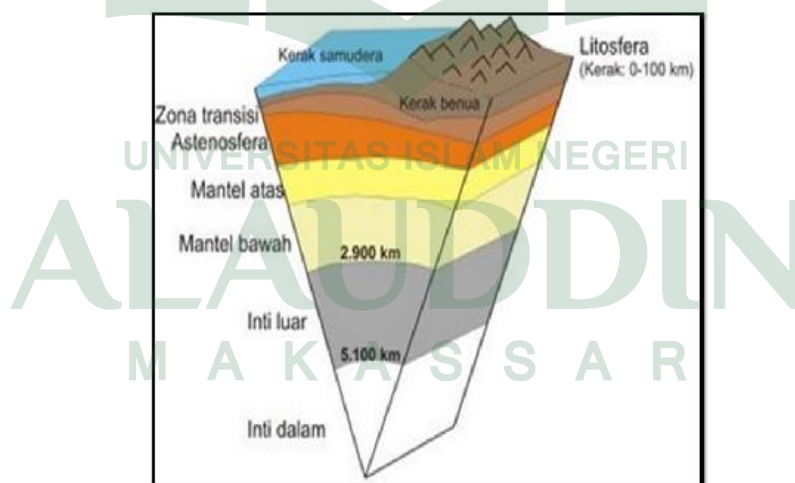
kontak antara tanah yang lembek dengan tanah yang padat. Bidang-bidang tersebut merupakan bidang-bidang lemah dan dapat berfungsi sebagai bidang luncuran tanah longsor.

2.2.13 Penggundulan Hutan

Kejadian tanah longsor umumnya banyak terjadi di daerah yang relatif gundul, dimana pengikatan air tanah sangat kurang.

2.3. Struktur Dan Sifat Tanah

Berdasarkan struktur penyusunnya, lapisan bumi terdiri atas litosfer, astenosfer, dan mesosfer. Litosfer adalah lapisan bumi yang paling luar dengan ketebalan kira-kira 100 kilometer. Litosfer terdiri dari kerak bumi dan selubung bumi bagian atas. Astenosfer adalah lapisan bumi di bawah litosfer (Primus, 2014: 13).



Gambar 2.7. Struktur Bawah Permukaan Bumi
(Sumber: Wordpress,2014)

Litosfer mempunyai kemampuan yang besar untuk menahan beban yang berat. Kerak bumi bersuhu rendah, sehingga dingin dan bersifat kaku. Sedangkan

selubung bumi bersuhu lebih tinggi dan strukturnya tidak terlalu kaku jika dibandingkan dengan kerak bumi (Primus, 2014: 14).

2.3.1. Struktur Tanah

Lapisan paling atas dari litosfer berupa tanah dan batuan. Struktur tanah sebagai penyusun utama lapisan bumi paling atas merupakan sifat fisik tanah yang menggambarkan susunan lapisan dan ruang partikel-partikel tanah yang bergabung membentuk satu kesatuan material (Primus, 2014: 14).

Dengan demikian, tanah merupakan campuran material yang terdiri dari berbagai mineral, bahan-bahan organik, air dan udara. Tanah terdiri dari berbagai lapisan. Lapisan tanah yang terbentuk secara horizontal disebut dengan horison (Primus, 2014: 14).

2.3.2. Sifat-Sifat Tanah

Sifat-sifat fisik tanah sangat berpengaruh terhadap kestabilan tanah penyusun lereng. Sifat-sifat fisik tanah yang berkaitan dengan kestabilan tanah penyusun lereng antara lain tekstur tanah, agregat tanah, konsistensi tanah, permeabilitas tanah, porositas tanah, unsur hara, warna tanah, dan drainase tanah (Primus, 2014: 16).

Adapun penjelasan mengenai sifat-sifat fisik tanah menurut Primus (2014: 15 – 21) yaitu :

2.3.2.1 Tekstur Tanah

Tekstur tanah adalah suatu keadaan yang menggambarkan kasar atau halusnya permukaan tanah. Dengan tekstur ini kita dapat membedakan apakah tanah termasuk tanah lempung, debu atau tanah berpasir. Jika bertekstur kasar,

berarti tanah tersebut merupakan tanah berpasir, jika teksturnya terasa liat berarti tanah tersebut merupakan tanah lempung. Sedangkan jika teksturnya terasa lembut, berarti tanah tersebut termasuk debu.

Tekstur tanah semakin kasar akan semakin memperbesar potensi terjadinya tanah longsor.

2.3.2.2.Agregat Tanah

Agregat tanah merupakan sifat fisik tanah yang menunjukkan keterikatan butiran tanah yang satu dengan butiran tanah yang lain. Agregat tanah semakin longgar akan semakin memperbesar potensi terjadinya tanah longsor.

2.3.2.3.Konsistensi Tanah

Konsistensi tanah merupakan sifat fisik tanah yang menunjukkan derajat kohesi dan adhesi tanah. Tingkat konsistensi tanah ini berhubungan dengan adanya massa tanah terhadap gaya-gaya yang menyebabkan perubahan fisik tanah.

Tingkat konsistensi tanah yang semakin rendah akan semakin memperbesar potensi terjadinya tanah longsor.

2.3.2.4.Permeabilitas Tanah

Permeabilitas tanah merupakan sifat fisik tanah yang menggambarkan kecepatan air merembes ke dalam tanah melalui pori-pori baik ke arah horizontal maupun vertikal. Cepat lambatnya perembesan air melalui pori-pori tanah ini sangat ditentukan oleh tekstur tanah.

Tingkat permeabilitas tanah semakin tinggi akan semakin memperbesar potensi terjadinya tanah longsor.

2.3.2.5.Porositas Tanah

Porositas tanah merupakan sifat fisik tanah yang menunjukkan mudah atau cepatnya tanah meresapkan air yang melaluinya. Semakin cepat tanah meresapkan air berarti tanah tersebut semakin bersifat porous.

Semakin besar porositas tanah maka semakin memperbesar potensi terjadinya tanah longsor.

2.3.2.6.Unsur Hara

Unsur hara merupakan salah satu sifat tanah yang menunjukkan tingkat kesuburan tanah. Tanah yang subur jika kandungan unsur haranya yang berupa mineral cukup tinggi. Sumber unsur hara pada tanah berasal dari pelapukan tanaman dan hewan yang sudah mati, kotoran dan pemupukan. Jadi, tanah yang kandungan unsur haranya tinggi teksturnya gembur atau rapuh.

Tanah dengan kandungan unsur hara yang semakin tinggi cenderung mudah terjadi tanah longsor.

2.3.2.7.Warna Tanah

Warna tanah dapat digunakan untuk menentukan kualitas tanah. Warna tanah dipengaruhi oleh kadar bahan organik, kadar mineral, kadar lengas, dan tingkat drainase tanah. Tanah yang berwarna gelap menunjukkan bahwa tanah tersebut mempunyai kandungan bahan organik yang cukup tinggi.

Warna tanah semakin gelap cenderung mudah terjadi tanah longsor.

2.3.2.8.Drainase Tanah

Drainase tanah merupakan sifat fisik tanah yang menunjukkan kemampuan tanah mengalirkan dan mengeringkan lebihan air, baik air tanah

maupun air permukaan. Pada tanah dengan drainase yang buruk, air akan cenderung menggenang.

Kondisi drainase tanah semakin buruk akan semakin memperbesar potensi terjadinya tanah longsor.

2.4. Zona labil

Zona labil merupakan suatu wilayah yang menunjukkan daerah itu mempunyai kondisi tanah yang terus bergeser, perggeseran tanah ini dapat terjadi karena longsor, peretakan tanah atau bisa juga daerah itu dilalui patahan bumi. Daerah yang rentan terhadap gerakan tanah adalah daerah dekat atau sepanjang patahan, kawasan pemukiman, bendungan dan jembatan, jaringan jalan raya dan kereta api, tanah pertanian, dan sistem alur sungai (Suseno, 2007:16 dalam Rahmawati, 2009: 28).

Berikut ini adalah beberapa pembagian zona kerentanan gerakan tanah (Penataan ruang bab 5 2008 dalam Rahmawati, 2009: 40-41):

2.4.1. Zona Kerentanan Gerakan Tanah Sangat Rendah

Pada zona ini sangat jarang atau hampir tidak pernah terjadi gerakan tanah, baik gerakan tanah lama maupun gerakan tanah baru, terkecuali pada daerah sekitar tebing dan lembah sungai. Merupakan daerah datar sampai landai dengan kemiringan lereng lebih kecil dari 15% ($8,5^\circ$) dan lereng tidak dibentuk oleh endapan gerakan tanah, bahan timbunan atau lempung yang bersifat plastis atau mengembang.

2.4.2. Zona Kerentanan Gerakan Tanah Rendah

Pada zona ini jarang terjadi gerakan tanah jika mengalami gangguan pada lereng, dan jika lereng gerakan tanah lama telah mantap kembali, gerakan tanah berdimensi kecil mungkin dapat terjadi terutama pada tebing dan lembah sungai. Kisaran kemiringan lereng mulai dari landai (5% - 15%) sampai sangat terjal (50% - 70%), tergantung pada kondisi sifat fisik dan keteknikan batuan dan tanah pembentuk lereng. Pada lereng terjal umumnya dibentuk oleh tanah pelapukan yang tipis dan vegetasi penutup yang baik, umumnya berupa hutan atau perkebunan.

2.4.3. Zona Kerentanan Gerakan Tanah Menengah

Pada zona ini dapat terjadi gerakan tanah, terutama pada daerah yang berbatasan dengan lembah sungai atau tebing jalan, gerakan tanah lama masih dapat aktif kembali terutama akibat curah hujan yang tinggi dan erosi yang kuat. Kisaran kemiringan lereng mulai dari landai (5% - 15%) sampai curam hingga hampir tegak (>70%), tergantung pada kondisi sifat fisik dan keteknikan batuan dan tanah pelapukan pembentuk lereng. Kondisi vegetasi penutup umumnya kurang sampai jarang.

2.4.4. Zona Kerentanan Gerakan Tanah Tinggi

Pada zona ini sering terjadi gerakan tanah, sedangkan gerakan tanah lama dan gerakan tanah baru masih dapat aktif bergerak, terutama akibat curah hujan tinggi dan erosi kuat. Kisaran kemiringan lereng mulai dari terjal (30% - 50%) hingga hampir tegak (>70%) tergantung pada kondisi sifat fisik dan keteknikan

batuan dan tanah pelapukan pembentuk lereng. Kondisi vegetasi penutup umumnya sangat kurang.

Potensi terjadinya gerakan tanah pada lereng tergantung pada kondisi batuan dan tanah penyusunnya, struktur geologi, curah hujan dan penggunaan lahan. Dari berbagai kejadian longsoran dapat diidentifikasi 3 tipologi lereng yang rawan longsor, yaitu:

1. Lereng yang tersusun oleh tumpukan tanah gembur dialasi oleh batuan atau tanah yang lebih kompak,
2. Lereng yang tersusun oleh perlapisan batuan yang miring searah kemiringan lereng,
3. Lereng yang tersusun oleh blok-blok batuan, (Karnawati, 2005 dalam Rahmawati, 2009: 41)

2.5. Metode Geolistrik

Metode geolistrik menurut (Reynold, 1997 dalam Effendy, 2012: 8) adalah salah satu metode dalam geofisika yang mempelajari sifat aliran listrik di dalam bumi. Pendekatan di atas permukaan meliputi pengukuran medan potensial, arus dan elektromagnetik yang terjadi baik secara alamiah maupun akibat penginjeksian arus ke dalam bumi. Oleh karena itu metode geolistrik mempunyai banyak macam, termasuk di dalamnya yaitu : Metode Potensial Diri / *Self Potential* (*SP*), Metode Resistivitas / Tahanan Jenis, Arus *Telluric*, *Magnetotelluric*, Potensial Terimbas.

Sedangkan menurut (Telford, dkk., 1990, dalam Romosi, 2016: 36) metode geolistrik adalah suatu teknik investigasi dari permukaan tanah untuk

mengetahui lapisan-lapisan batuan atau material berdasarkan pada prinsip bahwa lapisan batuan atau masing-masing material mempunyai nilai resistivitas atau hambatan jenis yang berbeda-beda. Tujuan survei geolistrik adalah untuk menentukan distribusi nilai resistivitas dari pengukuran yang dilakukan di permukaan tanah.

Menurut (Griffiths & Barker, 1993 dalam Sujarwo, 2016: 2) aplikasi metode geofisika telah banyak digunakan untuk survei maupun eksplorasi sumber daya alam, selain itu juga dapat digunakan untuk menentukan bidang gelincir yang diduga sebagai penyebab terjadinya tanah longsor

2.6. Metode Geolistrik Resistivitas (Tahanan Jenis)

Menurut (Telford, 1976 dalam Herlin & Budiman, 2012 : 19) salah satu metode geofisika yang dapat digunakan dalam penentuan jenis lapisan batuan yang berperan sebagai bidang gelincir dan kedalamannya dari permukaan bumi adalah metode geolistrik tahanan jenis dua dimensi (2D). Metode geolistrik tahanan jenis 2D dapat menghasilkan citra lapisan batuan bawah permukaan bumi secara dua dimensi berdasarkan nilai tahanan jenis batuan peyusun lapisan tersebut.

Metode resistivitas menurut (Santoso, 2002 dalam Romosi, 2016: 36) merupakan salah satu dari kelompok metode geolistrik yang digunakan untuk mempelajari keadaan bawah permukaan dengan cara mempelajari sifat aliran listrik di dalam batuan di bawah permukaan bumi. Metode ini dilakukan dengan mengalirkan arus listrik searah ke dalam bumi melalui elektroda arus, selanjutnya

distribusi medan potensial diukur dengan elektroda potensial. Variasi nilai tahanan jenis dihitung berdasarkan besar arus dan potensial yang terukur.

Pendugaan geolistrik merupakan salah satu cara penelitian dari permukaan tanah untuk mengetahui lapisan-lapisan batuan. Model pendugaan ini menggunakan prinsip bahwa lapisan batuan atau material mempunyai tahanan yang bervariasi, yang disebut dengan tahanan jenis (resistivity atau rho ' ρ '). Besarnya resistivitas diukur dengan mengalirkan arus listrik ke dalam bumi dan memperlakukan lapisan batuan sebagai media penghantar arus. Setiap material atau batuan mempunyai kisaran resistivitas yang berbeda dengan material lain. Pendugaan resistivitas batuan melalui teknik geolistrik dapat dipakai sebagai dasar analisis adanya bidang gelincir (Rahmawati, 2009: 20).

Dalam metode geolistrik resistivitas terdapat 2 macam metode dalam pengambilan datanya, yaitu : metode geolistrik resistivitas *mapping* dan metode geolistrik resistivitas *sounding*. Metode resistivitas *mapping* merupakan metode resistivitas yang bertujuan untuk mempelajari variasi resistivitas lapisan tanah bawah permukaan secara horizontal. Sedangkan metode geolistrik resistivitas *sounding* bertujuan untuk mempelajari variasi resistivitas batuan di dalam permukaan bumi secara vertikal (Effendy, 2012: 9).

2.7. Konfigurasi Elektroda dan Sensitivitas

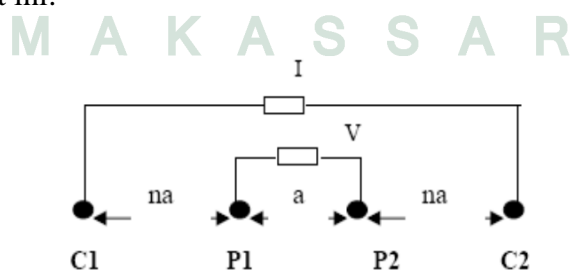
Berdasarkan susunan penempatan elektroda pengukuran terdapat berbagai jenis konfigurasi pengukuran diantaranya konfigurasi Wanner Alpha, Wanner Beta, Wanner Gamma, Pole-Pole, Dipole-Dipole, Pole-Dipole, Wanner-Schlumberger, dan Equatorial Dipole-Dipole. Masing-masing konfigurasi

memiliki kelebihan dan kekurangan. Setiap konfigurasi tersebut menghasilkan faktor geometri yang beda-beda dimana faktor geometri ini akan digunakan dalam perhitungan hasil pengukuran. Konfigurasi pengukuran yang relatif banyak digunakan dalam keperluan praktis diantaranya konfigurasi Schlumberger, Wenner, Wenner-Schlumberger dan Dipole-Dipole (Hasrianto, 2008 dalam Dwi Putra, 2015).

Suatu permasalahan lebih baik dilakukan dengan satu macam konfigurasi elektroda, tetapi belum tentu permasalahan tersebut dapat dipecahkan jika digunakan macam konfigurasi yang lainnya. Oleh karena itu, sebelum melakukan pengukuran, harus diketahui dengan jelas tujuannya sehingga kita dapat memilih jenis konfigurasi yang mana untuk digunakan (William, 2003 dalam Dwi Putra, 2015).

2.8. Metode Geolistrik Resistivitas Konfigurasi Wenner-Schlumberger

Konfigurasi Wenner-Schlumberger menurut (Sakka, 2001 dalam Priambodo dkk, 2011: 3) adalah konfigurasi dengan sistem aturan spasi yang konstan dengan catatan faktor “n” untuk konfigurasi ini adalah perbandingan jarak antara elektroda C1-P1 (atau C2-P2) dengan spasi antara P1-P2 seperti pada gambar II.8 berikut ini:



Gambar 2.8. Pengaturan Elektroda Konfigurasi Wenner-Schlumberger.
(Sumber: Sakka, 2001 dalam Priambodo dkk, 2011)

Jika jarak antar elektroda potensial (P1 dan P2) adalah a maka jarak antar elektroda arus (C1 dan C2) adalah $2na + a$. Proses penentuan resistivitas menggunakan 4 buah elektroda yang diletakkan dalam sebuah garis lurus.

Faktor geometri dari konfigurasi Wenner-Schlumberger adalah :

$$k = n(n + 1)\pi a \dots \quad \text{.....(II.1)}$$

Dengan a adalah jarak elektroda P1 dan P2.

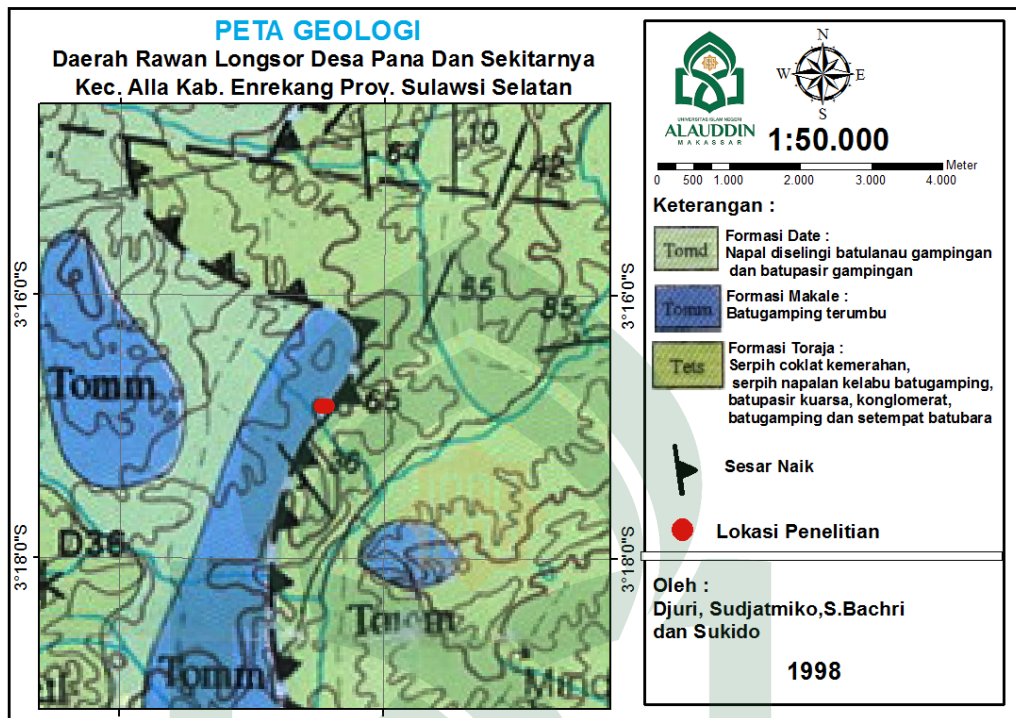
Berikut ini adalah tabel nilai resistivitas batuan menurut (Telford dkk,1990 dalam Priambodo dkk,2011)

Tabel 2.1. Resistivitas material-material bumi (Telford dkk, 1990 dalam Priambodo dkk, 2011)

Material Resistivitas	(Ohm meter)	Material Resistivitas	(Ohm meter)
<i>Pyrite</i> (Pirit)	0,01 - 100	<i>Shales</i> (Serpih)	20 – 2.000
<i>Quartz</i> (Kwarsa)	500 – 800.000	<i>Sand</i> (Pasir)	1 – 1.000
<i>Calcite</i> (Kalsit)	1×10^{12} - 1×10^{13}	<i>Clay</i> (Lempung)	1 – 100
<i>Rock Salt</i> (Garam batu)	$30 - 1 \times 10^{13}$	<i>Groundwater</i> (Air Tanah)	0,5 - 300
<i>Granite</i> (Granit)	200 – 100.000	<i>Sea water</i> (Air asin)	0,2
<i>Andesite</i> (Andesit)	$1,7 \times 10^2$ – 45×10^4	<i>Magnetite</i> (Magnetit)	0,01 – 1.000
<i>Basalt</i> (Basal)	200 – 100.000	<i>Drygravel</i> (Kerikil kering)	600 - 10.000
<i>Limestone</i> (Gamping)	500 – 10.000	<i>Alluvium</i> (Aluvium)	10 - 80
<i>Sandstone</i> (Batupasir)	200 – 8.000	<i>Gravel</i> (Kerikil)	100 – 600
<i>Breksi</i>	75 - 200	<i>Silt</i> (Lanau)	10 - 200
<i>Marls</i> (Batulumpur)	3 - 70	<i>Tufa Vulkanik</i>	20 – 100
<i>Konglomerat</i>	2×10^3 - 10^4	<i>Lava</i>	$100 - 500 \times 10^4$
<i>Soil</i> (Tanah)	$10 - 2 \times 10^3$	<i>Soil Water</i>	0,5 - 105

(Sumber: Priambodo dkk, 2011)

2.9. Geologi Daerah Penelitian



Gambar 2.9. Peta Geologi Daerah Penelitian

Secara regional, daerah penelitian termasuk dalam Peta Geologi Lembar Majene dan Palopo bagian barat skala 1:250.000 yang diterbitkan oleh Pusat Penelitian dan Pengembangan Geologi Bandung. secara administratif terletak pada koordinat $118^{\circ}45'00'' - 120^{\circ}30'00''$ BT dan $3^{\circ} - 4^{\circ}$ LS (Djuri,dkk 1998).

Lembar Majene dan bagian barat Palopo terletak di Mandala Geologi Sulawesi Barat. Mandala ini dicirikan oleh batuan sedimen laut dalam berumur kapur – Paleogen yang kemudian berkembang menjadi batuan gunungapi bawah laut dan akhirnya gunung api darat di akhir tersier. Batuan terobosan granitan berumur Miosen – Pliosen juga mencirikan mandala ini.

Satuan tertua di Lembar ini adalah Batuan Malihan (TR w) yang terdiri dari sekis, genes, filit dan batusabak. Satuan ini mungkin dapat disamakan dengan

Kompleks Wana di Lembar Pasangkayu yang diduga berumur lebih tua dan Kapur dan tertindih takselaras oleh Formasi Latimojong (Kls). Formasi tersusun oleh filit, kuarsit, batulempung malih dan pualam, berumur Kapur.

Satuan berikutnya adalah Formasi Toraja (Tet) terdiri dari batupasir kuarsa, konglomerat kuarsa, kuarsit, serpih dan batulempung yang umumnya berwarna merah atau ungu. Formasi ini mempunyai Anggota Rantepao (Tetr) yang terdiri dari batugamping numulit berumur Eosen Tengah Eosen Akhir. Formasi Toraja menindih takselaras Formasi Latimojong, dan tertindih takselaras oleh Batuan Gunungapi Lamasi (Toml) yang terdiri dari batuan gunungapi, sedimen gunungapi dan batugamping yang berumur Oligo-Miosen atau Oligosen Akhir - Miosen Awal. Batuan gunungapi ini mempunyai Anggota Batugamping (Tomc), tertindi selaras oleh Formasi Riu (Tmr) yang terdiri dari batugamping dan napal. Formasi Riu berumur Miosen Awal - Miosen Tengah, tertindih takselaras oleh Formasi Sekala (Tmps) dan Batuan Gunungapi Talaya (Tmtv). Formasi Sekala terdiri dari grawake, batupasir hijau, napal dan batugamping bersisipan tuf dan lava bersusunan andesit-basal; berumur Miosen Tengah - Pliosen; berhubungan menjemari dengan Batuan Gunungapi Talaya. Batuan Gunungapi Talaya terdiri dari breksi, lava dan tuf yang bersusunan andesit-basal dan mempunyai Anggota Tuf Beropa (Tmb). Batuan Gunungapi Talaya menjemari dengan Batuan Gunungapi Adang (Tma) yang terutama bersusunan leusit basal.

Batuan Gunungapi Adang berhubungan menjemari dengan Formasi Mamuju (Tmm) yang berumur Miosen Akhir. Formasi Mamuju terdiri atas napal, batupasir gampingan, napal tufan dan batugamping pasiran bersisipan tuf Formasi

ini mempunyai Anggota Tapalang (Tmmt) yang terdiri dari batugamping koral, batugamping bioklastika dan napal yang banyak mengandung moluska. Formasi Lariang terdiri dari batupasir gampingan dan mikaan, batulempung, bersisipan kalkarenit, konglomerat dan tuf; umumnya Miosen Akhir-Pliosen Awal.

Di bagian tenggara Lembar, tersingkap Tuf Barupu (Qbt) yang terdiri dari tuf, tuf lapili dan lava, yang umumnya bersusunan dasit, dan diduga berumur Plistosen. Sedangkan di bagian baratlaut tersingkap Formasi Budong-budong (Qb) yang terdiri dari konglomerat, batupasir, batulempung; dan batugamping koral (Ql).

Endapan termuda di Lembar ini adalah endapan kipas aluvium (Qt) dan aluvium (Qa) yang terdiri dari endapan-endapan sungai, pantai dan antar gunung (Djuri, dkk, 1998: 37)

2.9.2. Geomorfologi Regional

Secara umum bentuk topografi wilayah kabupaten Enrekang terbagi atas wilayah perbukitan karst (kapur), yang terbentang di bagian utara dan tengah, lembah-lembah yang curam, sungai serta tidak mempunyai wilayah pantai.(Armstrong, 2012: 33 - 34).

Berdasarkan pengamatan geologi pada penginderaan jauh dan lapangan, Enrekang terletak pada formasi Mandala Barat bagian Barat maka batuan di daerah Enrekang dapat dibagi menjadi 8 satuan, yaitu satuan batupasir malih, satuan batuan serpih (Eosen – Oligosen awal), satuan batugamping (Eosen), satuan batupasir gampingan (Oligosen – Miosen tengah), satuan batugamping berlapis (Oligosen – Miosen tengah), satuan klastik gunungapi (Miosen akhir),

satuan batugamping terumbu (Pliosen awal), dan satuan konglomerat (Pliosen) (Armstrong, 2012: 33 - 34).

2.10. Perspektif Al-Qur'an Tentang Tanah Longsor

Allah SWT telah memberikan informasi di dalam al-Qur'an mengenai kerusakan lingkungan, dimana kerusakan lingkungan ini disebabkan oleh sifat manusia yang dengan sengaja mengeksplorasi alam secara berlebihan sehingga menyebabkan ketidakseimbangan di alam sehingga berdampak buruk bagi kehidupan manusia itu sendiri. Seperti yang difirmankan dalam al-Qur'an surah Ar-Ruum ayat 41

ظَهَرَ الْفَسَادُ فِي الْأَرْضِ وَالْبَحْرِ بِمَا كَسَبَتْ أَيْدِيُ النَّاسِ لِيُذْيِقُهُمْ بَعْضَ الَّذِي عَمِلُوا لَعَلَّهُمْ يَرْجِعُونَ

Terjemahnya:

"Telah tampak kerusakan di darat dan di laut disebabkan karena perbuatan tangan manusia, Allah menghendaki agar mereka merasakan sebagian dari (akibat) perbuatan mereka, agar mereka kembali (ke jalan yang benar)." (QS Ar-Ruum(30) : 41)

Menurut Kementerian Agama dalam tafsir al- Qur'an Tematik menurut Ibnu Asyur dalam menafsirkan QS Ar-Ruum : 41 antara lain menerangkan bahwa sejatinya Allah SWT telah menciptakan alam semesta ini dengan suatu sistem yang serasi dan seimbang, sesuai dengan kemaslahatan umat manusia. Akan tetapi, mereka melakukan aktivitas yang buruk dan merusak sehingga berakibat pada ketidakseimbangan dalam sistem kerja alam. Lebih lanjut dikatakan bahwa *al-fasad* yang merupakan antonim dari *as-salab* merupakan wujud dari buruknya

kondisi di bumi, baik di darat maupun di laut dimana manusia mengambil banyak manfaat (Al-Qur'an Tematik,2009:98).

Menurut Kementerian Agama dalam tafsir al- Qur'an Tematik istilah *al-fasad*, yakni kerusakan, pada ayat di atas menurut al-Isfahani adalah, *khuruju asy-syai' anil i'tidal qalilan kana al-khuruj anhu au kasiran* (keluar dari keseimbangan baik pergeseran itu sedikit maupun banyak) (Al-Qur'an Tematik,2009:125).

Penjelasan ayat ini menerangkan bahwa segala sesuatu kerusakan yang terjadi di muka bumi baik di darat ataupun laut disebabkan oleh ulah tangan manusia itu sendiri, misalnya saja banjir dan tanah longsor. Keterkaitan ayat di atas dengan penelitian yaitu sebagaimana istilah *al-fasad* menurut al-Isfahani yaitu keluar dari keseimbangan baik pergeseran itu sedikit maupun banyak, dimana kita ketahui bahwa tanah longsor dapat terjadi jika gaya pendorong pada lereng lebih besar dari pada gaya penahan lereng. Manusia yang dalam memenuhi kebutuhan hidupnya terkadang mereka mengabaikan kelestarian lingkungan sehingga baik disadari ataupun tidak perbuatan manusia justru telah membuat tercemarnya lingkungan dan terganggunya keseimbangan alam, sehingga Allah SWT memberikan musibah berupa bencana alam agar manusia sadar dan kembali kepada perbuatan yang semestinya.

Selanjutnya Allah SWT memberikan gambaran mengenai struktur bumi yang berlapis-lapis, seperti dalam firman-Nya dalam Q.S At-Thalaq ayat 12 berikut

اللَّهُ الَّذِي خَلَقَ سَبْعَ سَمَاوَاتٍ وَمَنْ أَرْضٍ مِثْهَنَ يَتَنَزَّلُ الْأَمْرُ بَيْنَهُنَّ لِتَعْمَلُوا أَنَّ اللَّهَ عَلَىٰ كُلِّ
 شَيْءٍ قَدِيرٌ وَأَنَّ اللَّهَ قَدْ أَحَاطَ بِكُلِّ شَيْءٍ عِلْمًا

Terjemahnya:

“Allah yang menciptakan tujuh langit dan dari (penciptaan) bumi juga serupa. Perintah Allah berlaku padanya, agar kamu mengetahui bahwa Allah Mahakuasa atas segala sesuatu, dan ilmu Allah benar-benar meliputi segala sesuatu.” (QS At-Talaaq : 12).

Menurut M.Quraish Shihab menjelaskan bahwa Allah menciptakan langit yang tujuh itu, seperti itu dia juga yang menciptakan bumi ini. Penciptaan bumi walaupun hanya satu, tetapi kehebatan ciptaan itu tidaklah kurang mengagumkan dibanding dengan penciptaan langit yang tujuh itu secara bersamaan, dari segi bentuknya yang bulat. Pada penciptaan tujuh lapis langit dan bumi ini turun perintah Allah kepada mereka yang berada di antara langit yang tujuh dan bumi itu dengan turunnya Malaikat Jibril ke bumi membawa wahyu Allah atau aneka ketetapan Allah yang wujud pada bumi ini. Allah menyampaikan kepada kamu informasi ini agar kamu mengetahui bahwa Allah atas segala sesuatu Mahakuasa, dan bahwa Allah, benar-benar ilmunya meliputi segala sesuatu (M.Quraish Shihab, 153-154: 2002).

Dalam QS At-Talaaq ini menjelaskan bahwa Allah SWT telah menciptakan langit dan bumi dengan berlapis-lapis. Setelah penciptaan bumi ini selesai maka ditetapkanlah aturan-aturan kepada apa yang ada di bumi. Ketetapan-ketetapan yang ditetapkan Allah kepada segala sesuatu termasuk bumi adalah sesuatu yang pasti dan sesuatu yang seimbang. Hal ini bertujuan untuk memperlihatkan kepada manusia bahwa Allah maha kuasa atas segala sesuatu.

Dalam ayat yang lain yaitu QS Al-Mulk ayat 3 Allah SWT juga menjelaskan mengenai langit yang berlapis-lapis, berikut adalah bunyi dari QS Al-Mulk ayat 3 :

الَّذِي خَلَقَ سَبْعَ سَمَوَاتٍ طِبَاقًا مَا تَرَى فِي خَلْقِ الرَّحْمَنِ مِنْ تَفْوُتٍ فَارْجِعْ الْبَصَرَ هَلْ تَرَى مِنْ فُطُورٍ

Terjemahnya:

“Yang Telah menciptakan tujuh langit berlapis-lapis. Tidak akan kamu lihat sesuatu yang tidak seimbang pada ciptaan tuhan yang maha pengasih. Maka lihatlah sekali lagi, adakah kamu lihat sesuatu yang cacat? (QS Al-Mulk : 3).

Menurut M. Quraish Shihab yang menjelaskan bahwa yang telah menciptakan tujuh langit berlapis-lapis serasi dan sangat harmonis, engkau kini dan masa yang akan datang tidak melihat pada ciptaan Tuhan yang rahmat-Nya mencakup seluruh wujud baik pada ciptaan-Nya yang kecil maupun yang besar. Maka ulangilah pandangan itu, yakni lihatlah sekali lagi dan berulang-ulang kali disertai dengan upaya berfikir, adakah engkau lihat jangankan besar atau banyak, sedikit pun keretakan sehingga menjadikannya tidak seimbang dan rusak? Setelah sekian lama engkau terus menerus memandang dan mencari keretakan dan ketidakseimbangan dengan menggunakan seluruh kemampuannya (M.Quraish Shihab, 199:2002).

Pada kedua ayat di atas telah dijelaskan bahwa Allah SWT yang menciptakan tujuh lapis langit dan bumi dengan segala keserasian dan keharmonisannya. Penciptaan bumi dan langit yang sangat seimbang dan harmonis adalah merupakan bentuk kasih sayang Allah SWT kepada makhluk-Nya yang akan menempati bumi sebagai tempat tinggalnya. Tujuan penciptaan

bumi dan langit yang serasi dan harmonis ini juga pun bertujuan agar kebutuhan hidup semua makhluk dapat terpenuhi.

Para ahli kebumian (*geophysics*) telah menemukan dan memberikan pembuktian ilmiah mengenai apa yang tercantum dalam Al-Qur'an Q.S Ath-Thalaaq (12) dan Al-Mulk (3), bahwa struktur bumi tersusun atas tujuh lapisan yaitu:

1. Lapisan Atas Kerak Bumi.
2. Lapisan Bawah Kerak Bumi.
3. Lapisan Teratas Pita Bumi (Pita Atas).
4. Lapisan Tengah Pita Bumi (Pita Tengah).
5. Lapisan Terbawah Pita Bumi (Pita Bawah).
6. Lapisan Luar Inti Bumi.
7. Centrosphere (Inti Bumi).

Sedangkan pada tujuh lapisan langit (Atmosfer):

1. Troposfer, lapisan terdekat dari bumi.
2. Stratosfer, Lapisan di atas troposfer merupakan lapisan yang kering dan kurang rapat.
3. Ozonosfer, lapisan yang mengembalikan sebagian sinar ultraviolet.
4. Mesosfer, lapisan yang dapat memantulkan gelombang radio.
5. Termosfer, lapisan panas yang terjadi akibat sinar ultraviolet.
6. Ionosfer, lapisan dimana gas-gas terionisasi membentuk lapisan.
7. Eksosfer, bagian terluar dari atmosfer (Setiawati, 2015 dalam Kaharuddin, 12 :2016).

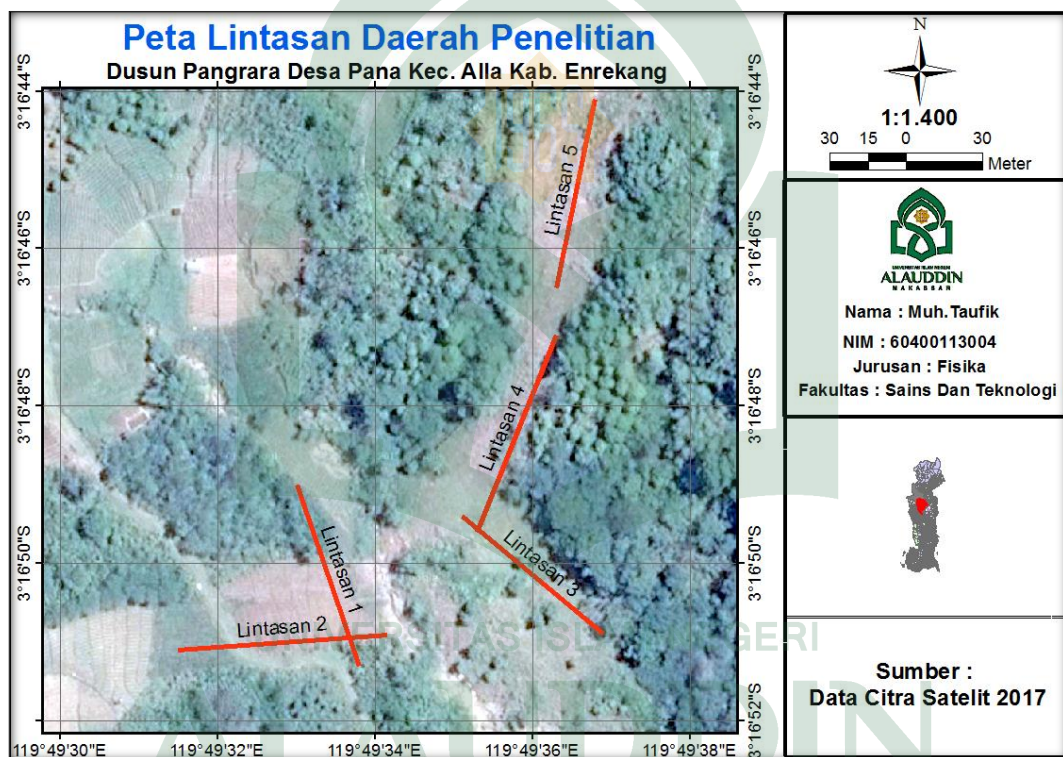


BAB III

METODE PENELITIAN

3.1 Waktu dan Lokasi Penelitian

Penelitian ini dilakukan pada tanggal 23 Juli 2017. Lokasi penelitian ini terletak di dusun Pangrara Desa Pana, Kecamatan Alla, Kabupaten Enrekang, Sulawesi Selatan. Adapun peta lokasi penelitian adalah sebagai berikut :



Gambar 3.1. Peta Lokasi Penelitian

3.2 Alat dan Bahan

Adapun peralatan yang digunakan adalah sebagai berikut :

3.2.1 Akuisisi

1. 1 set alat ukur tahanan jenis (*Multichannel Resistivity Meter*, konektor aki, konektor laptop, dan konektor elektroda)

2. 1 buah laptop
 3. 16 buah elektroda
 4. 2 buah meteran 100 m
 5. 2 rol kabel 75 m
 6. 3 buah palu
 7. 2 buah aki masing-masing 12 Volt.
 8. 1 buah GPS portable
 9. Alat tulis menulis
 10. 3 unit *Handy Talky* (HT)
 11. 1 unit kamera
- 3.2.2 Pengolahan Data dan Interpretasi**

Software yang digunakan dalam pengolahan data dan interpretasi metode geolistrik resistivitas konfigurasi Wenner-Schlumberger yaitu :

1. Notepad
2. Ms.Excel
3. Res2DInv

3.3 Metode Penelitian

Metode penelitian yang diterapkan terdiri atas beberapa tahap, yaitu :

3.3.1 Tahap Kajian Pustaka dan Survei Lapangan

Tahap kajian pustaka meliputi pengumpulan berbagai macam literatur yang berhubungan dengan kajian geologi daerah setempat, data kebencanaan utamanya tanah longsor, serta penggunaan metode geolistrik resistivitas konfigurasi Wenner-Schlumberger dalam mengidentifikasi lapisan rawan longsor.

Tahap survei lapangan atau observasi awal ini dilakukan langsung ke daerah penelitian sebagai landasan untuk mengetahui kondisi yang sesungguhnya di lokasi penelitian dengan melakukan penentuan dan pembersihan lintasan yang akan dilakukan pengukuran.

3.3.2 Tahap Akuisisi Data Metode Geolistrik Resistivitas Konfigurasi Wenner-Schlumberger

Pengambilan data geolistrik resistivitas atau akuisisi data geolistrik resistivitas dilakukan secara langsung di lapangan. Banyaknya lintasan pada penelitian ini adalah sebanyak 5 lintasan.

Tahap - tahap akuisisi data geolistrik resistivitas dalam penelitian ini adalah sebagai berikut:

- a. Mempersiapkan alat-alat yang dibutuhkan sebelum berangkat ke lapangan.
- b. Membentangkan meteran pada tiap lintasan dengan jarak 75 meter.
- c. Memasang elektroda di semua titik dalam satu lintasan dengan spasi tiap elektroda adalah 5 meter dan mengatur posisi alat (resistivity meter, aki dan kit) di tengah lintasan.
- d. Mengambil titik koordinat tiap elektroda kemudian mencatatnya pada alat tulis.
- e. Mengulur kabel-kabel ke posisi elektroda dan memasang ujung kabel pada tiap elektroda, kemudian ujung kabel yang lainnya dipasangkan pada salah satu sisi kit.

- f. Menghubungkan dua buah aki dengan resistivity meter, dan menghubungakan resistivity meter ke laptop.
- g. Melakukan pemeriksaan pada tiap elektroda apakah sudah terhubung dengan baik dengan cara memilih menu *probe test* pada software bawaan resistivity meter.
- h. Melakukan pengambilan data geolistrik resistivitas jika semua elektroda telah dipastikan dalam kondisi baik.

3.3.3 Tahap Pengolahan Data Geolistrik Resistivitas

Setelah melakukan akuisisi data di lapangan, data setiap lintasan yang diperoleh di lapangan masing-masing diolah dengan menggunakan software Ms. Excel 2010, setelah diperoleh nilai resistivitas semua lalu dimasukkan ke dalam notepad dan disimpan dalam bentuk dat file, kemudian di inversi menggunakan software Res2Dinv.

3.3.4 Interpretasi Data

Interpretasi data dilakukan dengan membandingkan antara nilai resistivitas standar menurut Tellford dkk, 1990 dengan nilai resistivitas yang diperoleh dari hasil inversi, setelah itu mencocokkan data geologi daerah sekitar berdasarkan peta geologi.

3.4 Tabel Pengamatan Penelitian

Tabel pengamatan pada penelitian ini adalah sebagai berikut:

Lintasan n =

Jarak spasi (m)= ...

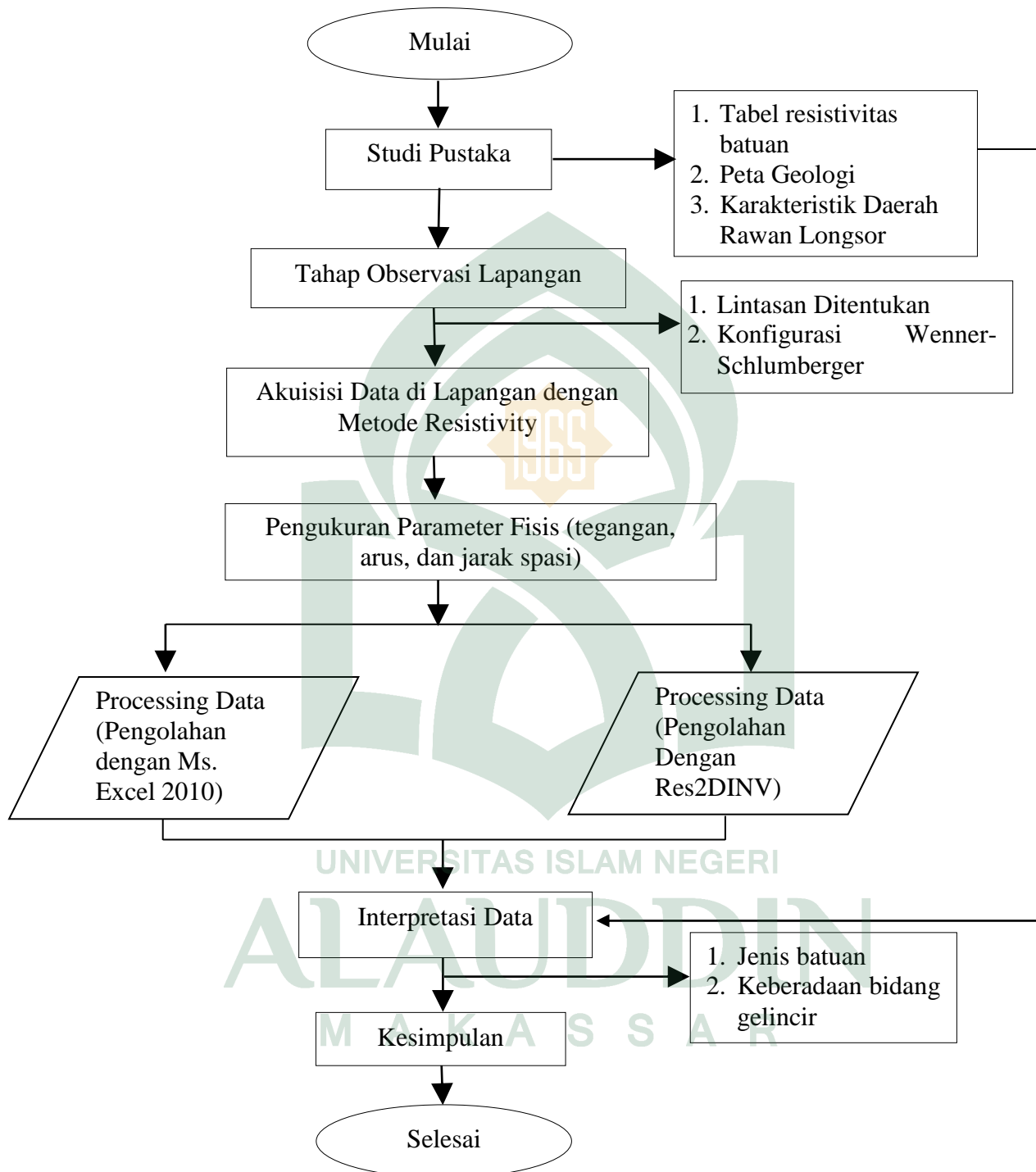
Tabel 3.1: Hasil pengukuran injeksi arus (I) dan tegangan (V)

No	C1	C2	P1	P2	PENGUKURAN			PERHITUNGAN	
					SP	$I_{1C1C2}(A)$	$V_{1P1P2}(V)$	K	$\rho(\Omega \cdot m)$
1
2
3
4
5
6
7
8
9
10
Dst

Keterangan:

 C_1, C_2, P_1, P_2 = Titik elektroda SP = Self potensial atau potensial alami batuan K = Faktor geometri ρ = Resistivitas semu ($\Omega \cdot m$)

3.5 Diagram Alir Penelitian



BAB IV

HASIL DAN PEMBAHASAN

4.1 Hasil dan Pembahasan

Penelitian ini menggunakan metode geolistrik konfigurasi Wenner-Schlumberger. Konfigurasi Wenner-Schlumberger baik digunakan karena memiliki akurasi kedalaman yang cukup baik dalam mendekripsi nilai resistivitas batuan. Pada penelitian ini variabel yang terukur di lapangan adalah arus (I) dan Tegangan (V).

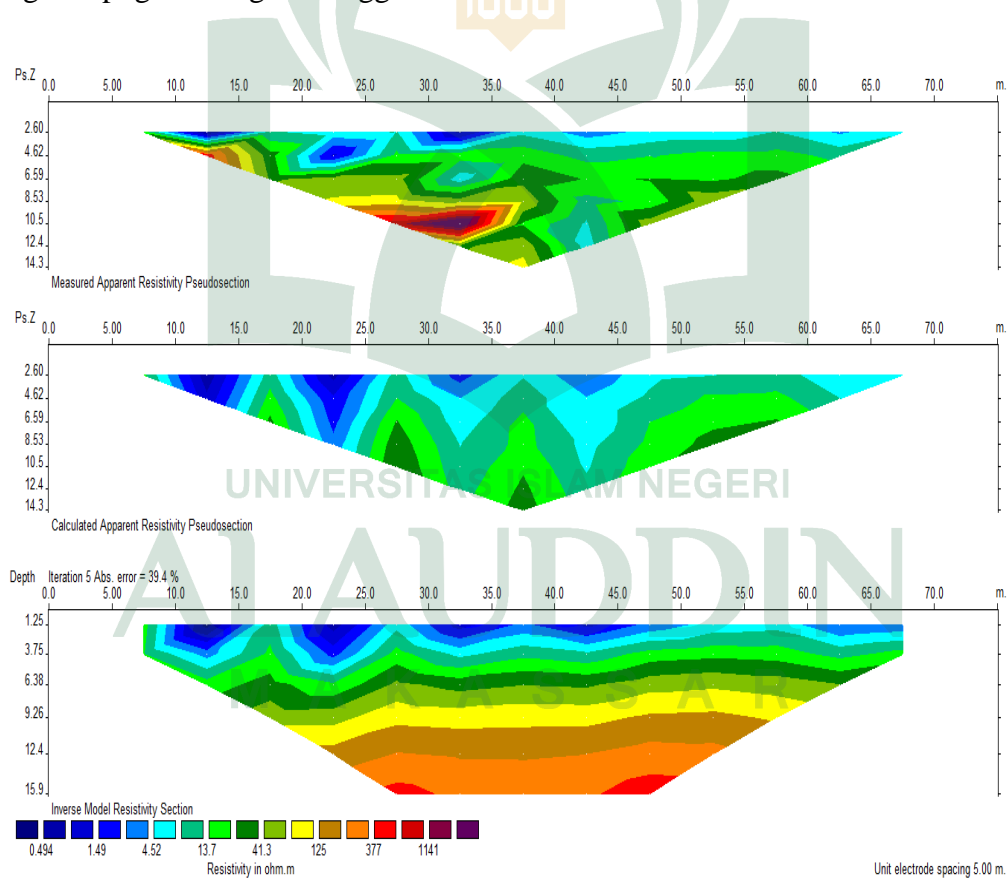
Berdasarkan data penelitian lapangan di daerah rawan longsor di Desa Pana Kecamatan Alla Kabupaten Enrekang diperoleh data sebanyak 5 lintasan dengan panjang tiap lintasan 75 meter. Data dari hasil pengukuran di lapangan berbentuk *dat.file*, data tersebut kemudian diinversi dengan menggunakan software *Res2dinv* untuk memperoleh penampang 2D. Penampang 2D hasil inversi memberikan informasi mengenai distribusi nilai resistivitas batuan di bawah permukaan pada setiap lintasan pengukuran.

Interpretasi dilakukan dengan melihat nilai resistivitas sebenarnya yang didapat dari pengolahan data dan dibandingkan dengan nilai resistivitas tiap material menurut Tellford, dkk 1990 serta dengan melihat peta geologi regional wilayah penelitian yang berada pada lembar Majene dan Palopo bagian barat yang diterbitkan oleh Pusat Penelitian dan Pengembangan Geologi Bandung.

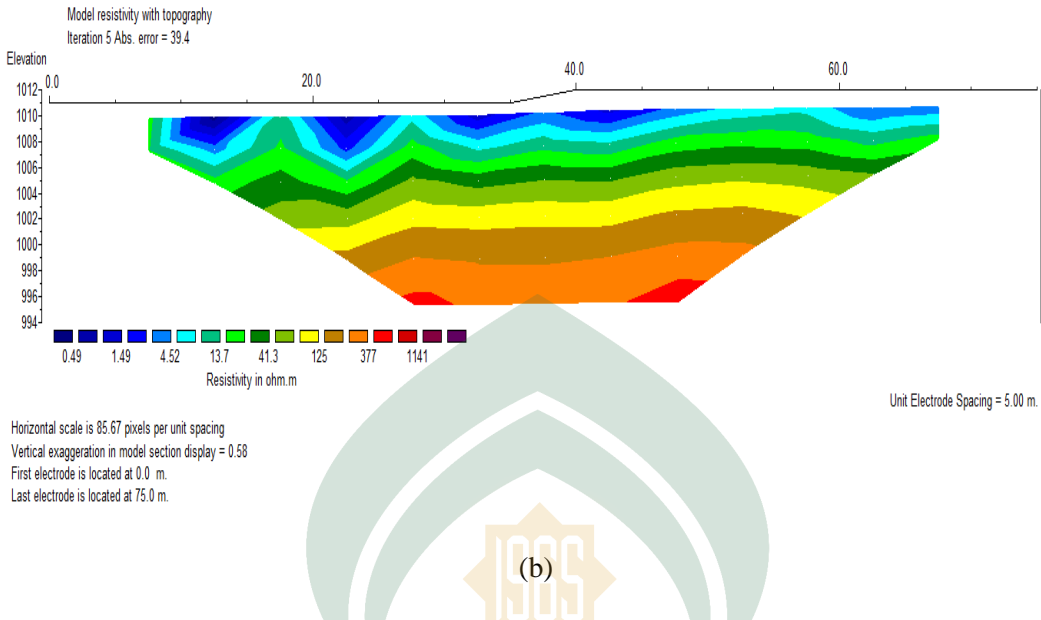
4.2 Litologi Daerah Penelitian

4.2.1. Lintasan Pertama

Pada lintasan pertama terletak pada koordinat $03^{\circ}16'51,1'' - 03^{\circ}16'50,7''$ LS dan $119^{\circ}49'31,5'' - 119^{\circ}49'33,9''$ BT menggunakan spasi terkecil 5 m dengan panjang lintasan 75 m, dengan konfigurasi Wenner - Schlumberger dengan jumlah datum point (dp) 49 datum dengan kedalaman maksimal yang terukur berdasarkan hasil inversi yaitu 15,9 m dengan nilai resistivitas berada pada rentang $0,494 \Omega\text{m} - 1141 \Omega\text{m}$, berikut tampilan 2D dari data hasil inversi tanpa topografi dan dengan topografi dengan menggunakan Res2dinv :



(a)



Gambar 4.1. (a). Penampang 2D hasil inversi tanpa topografi

(b). Penampang 2D hasil inversi dengan topografi

Tabel 4.1. Klasifikasi Nilai Resistivitas Lintasan Pertama

No	Nilai Resistivitas (Ωm)	Jenis Lapisan / Material	Ketebalan Lapisan (m)	Kedalaman Lapisan (m)	Jarak (m)	Indikator Warna
1	0,494 – 13,7	Tanah yang mengandung air	6,15 3,19 4,67 2,70	0 – 6,15	0 – 22 27 33 54	Biru Tua Sampai Biru Muda
2	13,7 – 41,3	Batu serpih yang mengalami pelapukan	6,4 4,42	3,19 – 9,59	19 28	Biru Muda Sampai Hijau Tua
3	41,3 – 1141	Batu serpih (kondisi Fresh)	6,31 9,02	7,62 – 15,9	22 28 - 52	Hijau Tua Sampai Merah

Pada lintasan pertama didapatkan nilai resistivitas $0,494 \Omega\text{m} – 13,7 \Omega\text{m}$

yang diduga merupakan tanah yang mengandung air. Pendugaan ini didasarkan pada nilai resistivitas menurut Tellford, dkk 1990 dimana tanah yang mengandung air memiliki nilai resistivitas berkisar $0,5 \Omega\text{m} – 105 \Omega\text{m}$. Material tanah yang mengandung air ini berada pada kedalaman $0 – 6,15 \text{ m}$. Pada jarak $8 \text{ m} – 22 \text{ m}$

ketebalan material ini adalah 6,15 m. pada jarak 27 m, ketebalannya adalah 3,19 m. Pada jarak 33 m material ini memiliki ketebalan 4,67 m. Selanjutnya pada jarak 54 m, ketebalannya hanya 2,70 m. Salah satu faktor kemungkinan tanah pada daerah ini mengandung air disebabkan karena daerah pada lintasan pertama merupakan daerah perkebunan warga

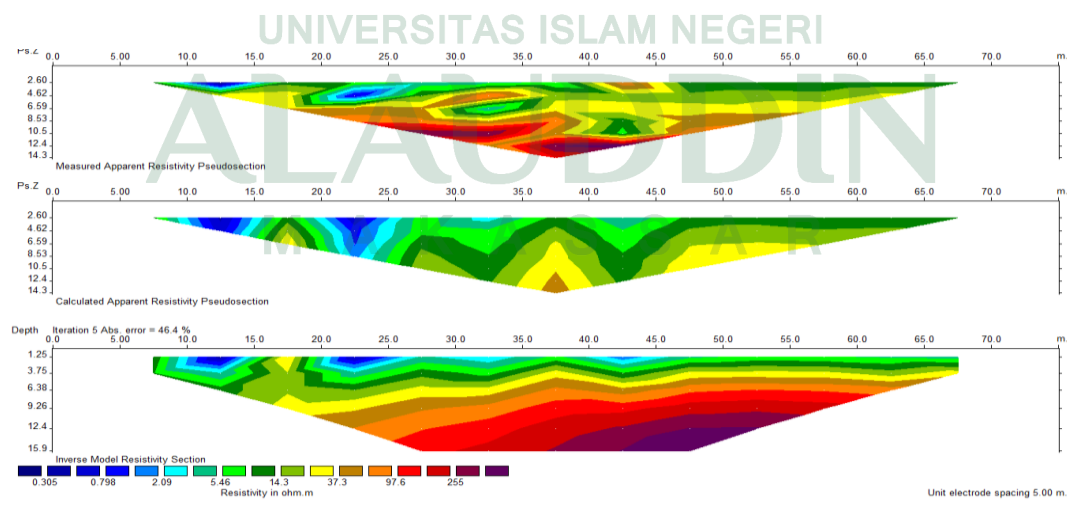
Selanjutnya terdapat material dengan nilai resistivitas $13,7 \Omega\text{m} - 41,3 \Omega\text{m}$ yang diduga merupakan batuserpih yang telah mengalami pelapukan. Dimana menurut tabel resistivitas menurut Tellford, dkk 1990 material batuserpih memiliki nilai resistivitas $20 \Omega\text{m} - 2000 \Omega\text{m}$. Hal yang mendasari pendugaan ini karena terdapat singkapan batuserpih yang telah mengalami pelapukan. Material batuserpih ini berada pada kedalaman $3,19 \text{ m} - 9,59 \text{ m}$. Pada jarak $15 \text{ m} - 19 \text{ m}$ material ini memiliki ketebalan 6,4 m. Selanjutnya pada jarak $28 \text{ m} - 64 \text{ m}$ material ini cenderung datar dengan ketebalan lapisan 4,42 m.

Pada lintasan ini juga terdapat nilai resistivitas $41,3 \Omega\text{m} - 1141 \Omega\text{m}$ yang diduga merupakan batuserpih yang masih dalam keadaan fresh. Hal ini berdasarkan nilai resistivitas baruserpih menurut Tellford, dkk 1990 dimana batuserpih memiliki nilai resistivitas berkisar $20 \Omega\text{m} - 2000 \Omega\text{m}$. Hal lain yang mendasari pendugaan ini berdasarkan peta geologi regional daerah penelitian yang masuk dalam formasi Toraja (Tets) dimana salah satu yang mencirikan formasi ini adalah adanya batuserpih. Batuserpih yang dalam kondisi fresh ini pada lintasan pertama berada pada kedalaman $7,62 \text{ m} - 15,9 \text{ m}$. batuserpih ini berawal dari jarak $14 \text{ m} - 52 \text{ m}$. pada jarak $14 \text{ m} - 22 \text{ m}$ material batuserpih ini diduga memiliki ketebalan 6,31 m dan pada jarak $28 \text{ m} - 52 \text{ m}$ ketebalannya 9,02m.

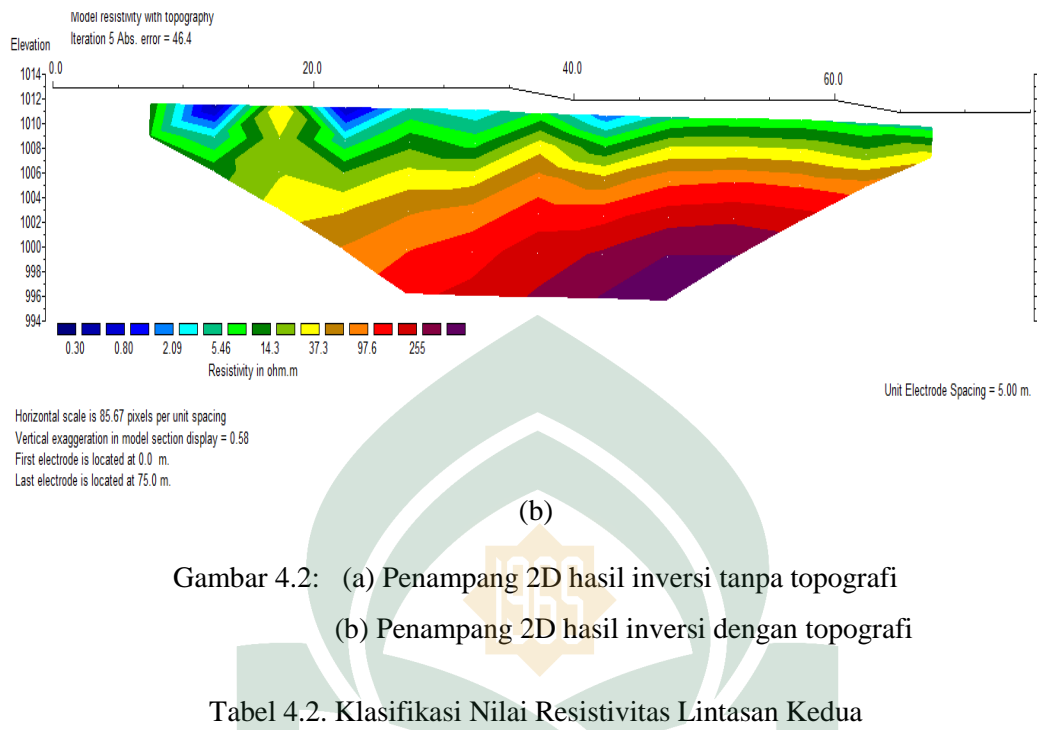
Pada lintasan pertama tidak ditemukan indikasi adanya bidang gelincir. Walaupun terdapat kontras perbedaan di bawah permukaan dan juga terdapat material yang mudah meloloskan air (permeabel) yaitu material tanah dan juga batuserpih yang telah mengalami pelapukan yang berada di atas lapisan yang sulit meloloskan air (impermeabel) yaitu batuserpih dalam kondisi fresh. Selain itu lapisan impermeabelnya pun cenderung datar sehingga tidak berpotensi menarik lapisan yang berada di atasnya.

4.2.2. Lintasan Kedua

Pada lintasan kedua terletak pada koordinat $03^{\circ}16'51,3''$ - $03^{\circ}16'49,0''$ LS dan $119^{\circ}49'33,8''$ - $119^{\circ}49'33,0''$ BT dengan menggunakan spasi terkecil 5 m dengan panjang lintasan 75 m, dengan konfigurasi Wenner-Schlumberger dengan jumlah datum point (dp) yaitu 49 datum, sedangkan kedalaman maksimal yang terukur berdasarkan hasil inversi yaitu 15,9 m dengan nilai resistivitas berada pada rentang $0,305 \Omega\text{m}$ - $255 \Omega\text{m}$, berikut tampilan 2D dari data hasil inversi tanpa topografi dan dengan topografi dengan menggunakan Res2dinv :



(a)



Gambar 4.2: (a) Penampang 2D hasil inversi tanpa topografi
(b) Penampang 2D hasil inversi dengan topografi

Tabel 4.2. Klasifikasi Nilai Resistivitas Lintasan Kedua

No	Nilai Resistivitas (Ωm)	Klasifikasi Resistivitas	Ketebalan Lapisan (m)	Kedalaman Lapisan (m)	Jarak (m)	Indikator Warna
1	0,305 – 5,46	Tanah yang mengandung air	4,67 2,7 0,7 1,63 1,23	0 – 4,67	0 – 12 22 28 32 42	Biru Tua Sampai Biru Muda
2	5,46 – 37,3	Batu serpih (kondisi lapuk)	9,84 5,41 3,69 2,96 2,96 2,7	0 – 10	22 28 32 37 42 48 – 64	Biru Muda Sampai Kuning
3	37,3 – 255	Batu serpih (kondisi fresh)	5,9 8,28 10,98 9,75 11,5	4,4 – 15,9	20 27 37 42 47 – 64	Kuning Sampai Merah

Pada lintasan kedua terdapat nilai resistivitas $0,305 \Omega\text{m} – 5,46 \Omega\text{m}$ yang diduga merupakan material tanah yang mengandung air. Dimana menurut Tellford, dkk 1990 nilai resistivitas tanah yang mengandung air adalah $0,5 \Omega\text{m} – 105 \Omega\text{m}$. Adanya akumulasi air pada lintasan ini diperkirakan karena lintasan ini berada

pada daerah perkebunan warga. Material ini memiliki kedalaman berkisar 0 – 4,67 m. Pada jarak 8 m – 15 m material ini memiliki ketebalan 4,67 m. Pada jarak 22 m material ini memiliki ketebalan 2,7 m. Pada jarak 28 m ketebalan material ini adalah 0,7 m. selanjutnya pada jarak 32 m ketebalan material ini adalah 1,63 m. Serta pada jarak 42 m, ketebalan material ini adalah 1,23 m.

Pada lintasan ini juga didapatkan nilai resistivitas $5,46 \Omega\text{m}$ – $37,3 \Omega\text{m}$ yang diduga merupakan material batuserpih yang telah mengalami pelapukan. Pendugaan ini didasarkan pada nilai resistivitas menurut Tellford, dkk 1990 dimana material batuserpih memiliki nilai resistivitas berkisar $20 \Omega\text{m}$ – $2000 \Omega\text{m}$. Material ini berada pada kedalaman 0 – 10 m. Pada jarak 22 m material ini memiliki ketebalan 9,84 m. Pada jarak 28 m material ini memiliki kedalaman 5,41 m. selanjutnya pada jarak 32 m material ini memiliki ketebalan 3,69 m. Selanjutnya pada jarak 37 m dan 42 m ketebalan material ini adalah 2,96 m. dan pada jarak 48 m – 64 m ketebalannya hanya 2,7 m.

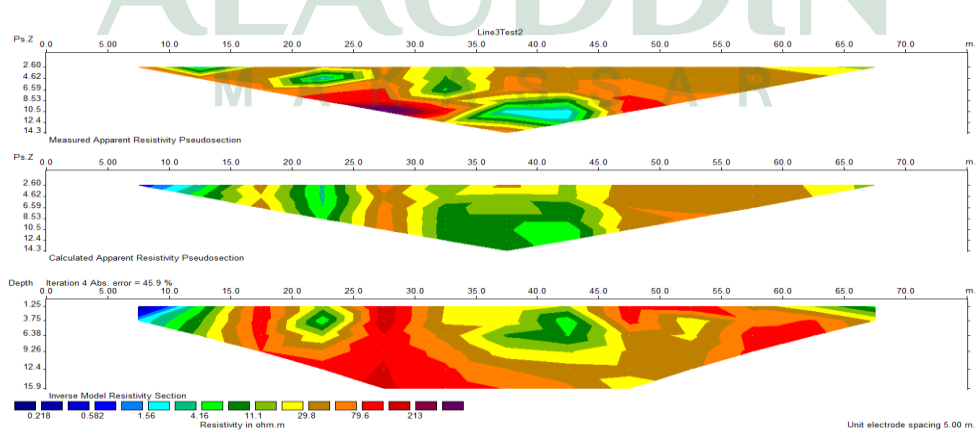
Selanjutnya terdapat material dengan nilai resistivitas $37,3 \Omega\text{m}$ – $255 \Omega\text{m}$ yang diduga merupakan material batuserpih dengan kondisi fresh. Dimana menurut tabel resistivitas menurut Tellford, dkk 1990 material batuserpih memiliki nilai resistivitas $20 \Omega\text{m}$ – $2000 \Omega\text{m}$. Material ini berada pada kedalaman 4,4 m – 15,9 m. Pada jarak 20 m ketebalan material ini memiliki ketebalan 5,9 m. Pada jarak 27 m ketebalan material ini adalah 8,28 m. Pada jarak 37 m ketebalan material 10,98 m. Pada jarak 42 m material ini memiliki ketebalan 9,75 m dan pada jarak 47 m – 64 m ketebalannya mencapai ini 11,5 m. hal lain yang

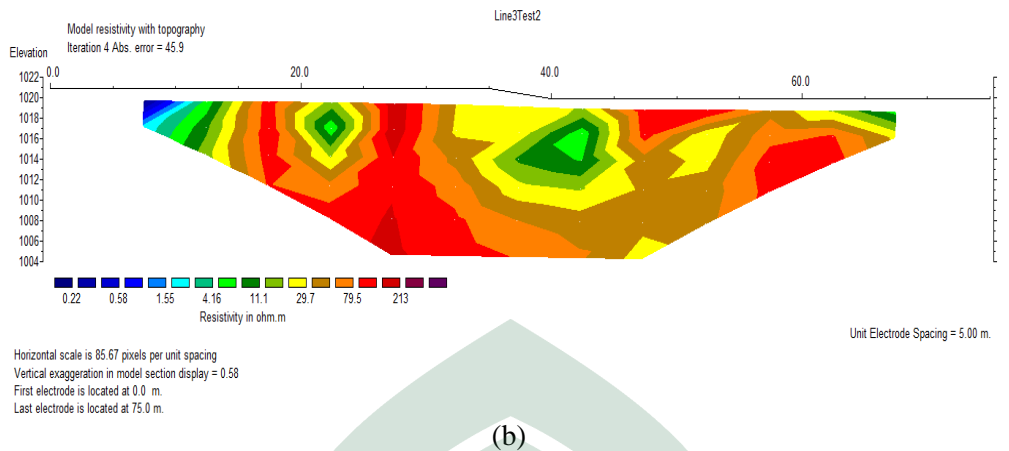
memperkuat dugaan lapisan ini adalah batuserpih karena lapisan ini berada pada formasi Toraja (Tets) dimana salah satu cirinya adalah adanya lapisan batuserpih.

Pada lintasan kedua tidak ditemukan indikasi adanya bidang gelincir. Walaupun terdapat kontras perbedaan di bawah permukaan dan juga terdapat lapisan yang mudah meloloskan air (permeabel), material ini berupa tanah dan juga batuserpih yang telah mengalami pelapukan yang berada di atas lapisan yang sulit meloloskan air (impermeabel) dimana material ini berupa batuserpih dalam kondisi fresh. Selain itu lapisan impermeabelnya pun cenderung datar sehingga tidak berpotensi menarik lapisan yang berada di atasnya.

4.2.3. Lintasan Ketiga

Pada lintasan ketiga terletak pada titik koordinat $03^{\circ}16'49,4'' - 03^{\circ}16'50,9''$ LS dan $119^{\circ}49'35,1'' - 119^{\circ}49'36,9''$ BT menggunakan spasi terkecil 5 m dengan panjang lintasan 75 m dengan konfigurasi *Wenner - Schlumberger* dengan jumlah datum point (dp) 49 datum dengan kedalaman maksimal yang terukur berdasarkan hasil inversi yaitu 15,9 m dengan nilai resistivitas berada pada rentang $0,218 \Omega\text{m} - 213 \Omega\text{m}$, berikut tampilan 2D dari data hasil inversi tanpa topografi dan dengan topografi dengan menggunakan *Res2dinv* :





Gambar 4.3: (a) Penampang 2D hasil inversi tanpa topografi
 (b) Penampang 2D hasil inversi dengan topografi

Tabel 4.3. Klasifikasi Nilai Resistivitas Lintasan Ketiga

No	Nilai Resistivitas (Ωm)	Klasifikasi Resistivitas	Ketebalan Lapisan (m)	Kedalaman Lapisan (m)	Jarak (m)	Indikator Warna
1	0,218 – 4,16	Tanah yang mengandung air	4,18	0 – 4,18	7,5 – 11	Biru Tua sampai Biru Muda
2	4,16 – 20,45	Batu serpih (kondisi lapuk)	5,90 6,15 9,59 3,19	0 – 9,59	11 – 14 20 – 23 33 – 44 64 – 67	Biru Muda Sampai Hijau Muda
3	20,45 – 213	Batu serpih (kondisi fresh)	10,8 15,9	0 – 15,9	14 – 20 23 – 38	Hijau Muda Sampai Merah

Pada lintasan ketiga di kedalaman 0 – 4,18 m diperoleh nilai resistivitas $0,218 \Omega\text{m} – 4,16 \Omega\text{m}$ yang diduga merupakan material tanah yang telah jenuh air. Hal ini bisa dilihat dari tabel resistivitas menurut Tellford, dkk 1990 dimana tanah yang mengandung air memiliki nilai resistivitas berkisar $0,5 \Omega\text{m} – 105 \Omega\text{m}$. Pendugaan tanah jenuh air ini dikarenakan nilai resistivitas pada lintasan ini sangat jauh di bawah nilai resistivitas menurut Tellford. Hal lain yang mendasari pendugaan tanah jenuh air ini juga dikarenakan daerah yang berada di sekitaran

lintasan ketiga terdapat titik-titik lumpur Material ini terletak pada jarak 7,5 m – 11 m dengan ketebalan 4,18 m.

Material kedua pada lintasan ini memiliki nilai resistivitas $4,16 \Omega\text{m}$ – $20,45 \Omega\text{m}$. Lapisan ini diduga merupakan material batuserpih yang telah mengalami pelapukan. Pendugaan bahwa lapisan ini merupakan batuserpih yang mengalami pelapukan didasarkan pada nilai resistivitas Tellford, dkk 1990 dimana batuserpih dalam kondisi fresh memiliki nilai resistivitas $20 \Omega\text{m}$ – $2000 \Omega\text{m}$. Dimana nilai resistivitas pada daerah ini sangat jauh dari nilai resistivitas Tellford sehingga diduga batuserpih ini telah mengalami tingkat pelapukan yang tinggi. Material ini berada pada kedalaman 0 – 9,59 m. pada jarak 11 m – 14 m ketebalan material ini adalah 5,90 m. Pada jarak 20 m – 23 m ketebalan material ini adalah 6,15 m. Pada jarak 33 m -44 m ketebalan material ini 9,59 m. Selanjutnya pada jarak 64 m -67 m ketebalan material ini adalah 3,19 m.

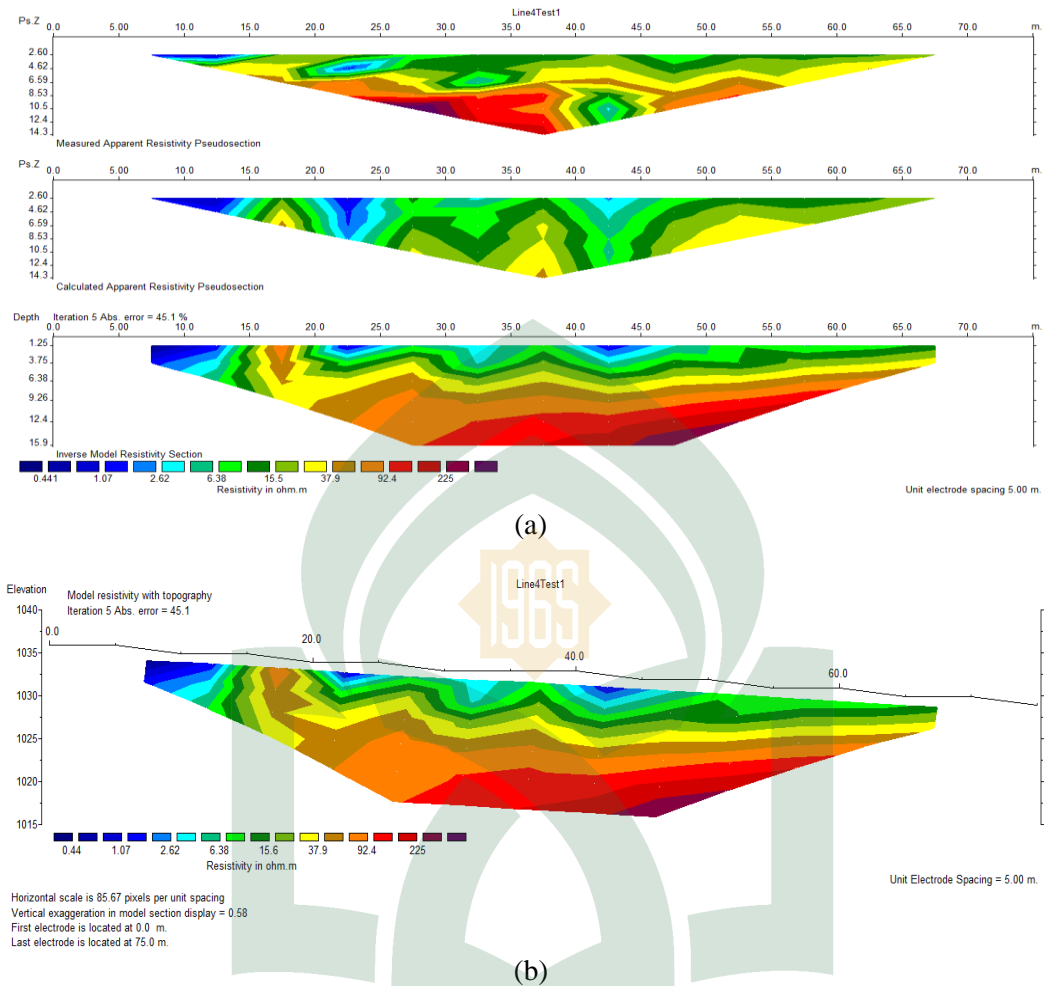
Selanjutnya pada lintasan ini terdapat material yang memiliki nilai resistivitas $20,45 \Omega\text{m}$ – $213 \Omega\text{m}$. Material ini diduga merupakan material batuserpih yang masih dalam kondisi fresh dan berada pada kedalaman 0 – 15,9 m. Nilai resistivitas material ini sesuai dengan Tellford, dkk 1990 dimana batuserpih memiliki nilai resistivitas $20 \Omega\text{m}$ – $2000 \Omega\text{m}$. Selain itu lintasan ketiga juga masih masuk dalam formasi Toraja (Tets) dimana ciri formasi ini adanya material batuserpih. Pada jarak 14 m – 20 m material ini ini memiliki ketebalan 10,8 m, dan pada jarak 23 m – 38 m ketebalan material ini mencapai 15,9 m.

Pada lintasan ini sekilas terlihat tidak terdapat bidang gelincir. Hal ini disebabkan pada lintasan ini tidak tegak lurus terhadap kemiringan lereng

melainkan sejajar dengan lereng. Namun jika diperhatikan kembali terdapat material yang telah mengalami pelapukan yang tinggi, di jarak 33 m – 44 m yang tepat berada diantara material batuserpih yang masih dalam keadaan fresh Pada jarak ini diduga sebagai bidang gelincir karena material pelapukan ini berada tepat di tengah material batuserpih yang dalam kondisi fresh. Material pelapukan ditandai dengan nilai resistivitas $11,1 \Omega\text{m}$ dan batuserpih dalam kondisi fresh memiliki nilai resistivitas $29,7 \Omega\text{m}$. Dalam penelitian yang lain dikatakan bahwa secara geolistrik bidang gelincir ditandai dengan adanya kontras resistivitas antar dua batuan yang berdekatan dimana lapisan kedap air memiliki nilai tahanan jenis yang besar yang berada tepat di antara lapisan yang memiliki tahanan jenis lebih kecil (Dona, dkk 2015:6).

4.2.4. Lintasan Keempat

Pada lintasan keempat terletak pada titik koordinat $03^{\circ}16'49,6'' - 03^{\circ}16'47,1'' \text{ LS}$ dan $119^{\circ}49'35,3'' - 119^{\circ}49'36,3'' \text{ BT}$ menggunakan spasi terkecil 5 m dengan panjang lintasan 75 m dengan konfigurasi *Wenner - Schlumberger* dengan jumlah datum point (dp) 49 datum dengan kedalaman maksimal yang terukur berdasarkan hasil inversi yaitu 15,9 m dengan nilai resistivitas berada pada rentang $0,441 \Omega\text{m} - 225 \Omega\text{m}$, berikut tampilan 2D dari data hasil inversi tanpa topografi dan dengan topografi dengan menggunakan *Res2dinv* :



Gambar 4.4: (a) Penampang 2D hasil inversi tanpa topografi
 (b) Penampang 2D hasil inversi dengan topografi

UNIVERSITAS ISLAM NEGERI
 Tabel 4.4. Klasifikasi Nilai Resistivitas Lintasan Keempat

No	Nilai Resistivitas (Ωm)	Jenis Lapisan / Material	Ketebalan Lapisan (m)	Kedalaman Lapisan (m)	Jarak (m)	Indikator Warna
1	0,441 – 6,38	Tanah yang mengandung banyak air (jenuh air)	5,9 3,4 3,4 3,9	0 – 5,9	7,5 – 13,8 20 – 26 30 – 34 39 – 50	Biru Tua sampai Biru Muda
2	6,38 – 26,7	Batu serpih (kondisi lapuk)	7,8 5,9 1,9 2,3 5,6	0 – 7,8	14 – 15 19 – 32 37 38 – 48 49 – 67	Biru Muda sampai Hijau Muda
3	26,75 – 225	Batu serpih (kondisi fresh)	10 12,5 9,26	0 – 15,9	15 – 19 27 – 37 42 – 67	Hijau Muda sampai Merah

Pada lintasan ini terdapat nilai resistivitas $0,441 \Omega\text{m} - 6,38 \Omega\text{m}$ yang diduga merupakan material tanah. Material tanah ini diduga telah jenuh air, hal ini berdasarkan nilai resistivitas menurut Tellford, dkk 1990 nilai resistivitas tanah yang mengandung air adalah $0,5 \Omega\text{m} - 105 \Omega\text{m}$. Namun pada wilayah ini nilai resistivitasnya lebih kecil dari nilai resistivitas menurut Tellford, dkk 1990. Tanah jenuh air ini berada pada jarak $7,5 \text{ m} - 50 \text{ m}$ dengan kedalaman $0 - 5,9 \text{ m}$. Pada jarak $7,5 \text{ m} - 13,8 \text{ m}$ ketebalan material ini adalah $5,9 \text{ m}$. Pada jarak $20 \text{ m} - 26 \text{ m}$ ketebalan materialnya adalah $3,4 \text{ m}$ begitu juga pada jarak $30 \text{ m} - 34 \text{ m}$ ketebalannya adalah $3,4 \text{ m}$. Selanjutnya pada jarak $39 \text{ m} - 50 \text{ m}$ ketebalan material di sepanjang jarak ini adalah $3,9 \text{ m}$. Hal yang mendukung bahwa tanah pada lintasan ini telah jenuh air karena pada sekitaran lintasan 4 permukaannya cenderung basah dan berlumpur.

Pada lintasan ini juga didapatkan nilai resistivitas $6,38 \Omega\text{m} - 26,7 \Omega\text{m}$ yang diduga merupakan material batuserpih. Pendugaan ini didasarkan pada nilai resistivitas menurut Tellford, dkk 1990 dimana material batuserpih memiliki nilai resistivitas berkisar $20 \Omega\text{m} - 2000 \Omega\text{m}$. Nilai resistivitas yang diperoleh berada sangat di bawah dari nilai resistivitas menurut Tellford sehingga diperkirakan material batuserpih ini telah mengalami pelapukan. Material ini terletak pada kedalaman $0 - 7,8 \text{ m}$. Pada jarak $14 \text{ m} - 15 \text{ m}$ ketebalan material adalah $7,8 \text{ m}$. Pada jarak $19 \text{ m} - 32 \text{ m}$ memiliki ketebalan $5,9 \text{ m}$. pada jarak 37 m ketebalan material hanya $1,9 \text{ m}$. Pada jarak $38 \text{ m} - 48 \text{ m}$ ketebalan material ini adalah $2,3 \text{ m}$. dan pada jarak $49 \text{ m} - 67 \text{ m}$ ketebalan material ini mencapai $5,6 \text{ m}$.

Selanjutnya terdapat material yang berada pada kedalaman 0 – 15,9 m dan berada pada jarak 15 m – 67 m. Material ini memiliki nilai resistivitas $37,9 \Omega\text{m}$ – $225 \Omega\text{m}$ yang diduga merupakan material batuserpih yang merupakan salah satu ciri dari formasi Toraja (Tets) dengan kondisi fresh. Dimana menurut tabel resistivitas menurut Tellford, dkk 1990 material batuserpih memiliki nilai resistivitas $20 \Omega\text{m}$ – $2000 \Omega\text{m}$. Pada jarak 15 m – 19 m ketebalan material ini adalah 10 m. Selanjutnya pada jarak 27 m – 37 m memiliki ketebalan 12,5 m. Selanjutnya pada jarak 42 m – 67 m memiliki ketebalan 9,26 m.

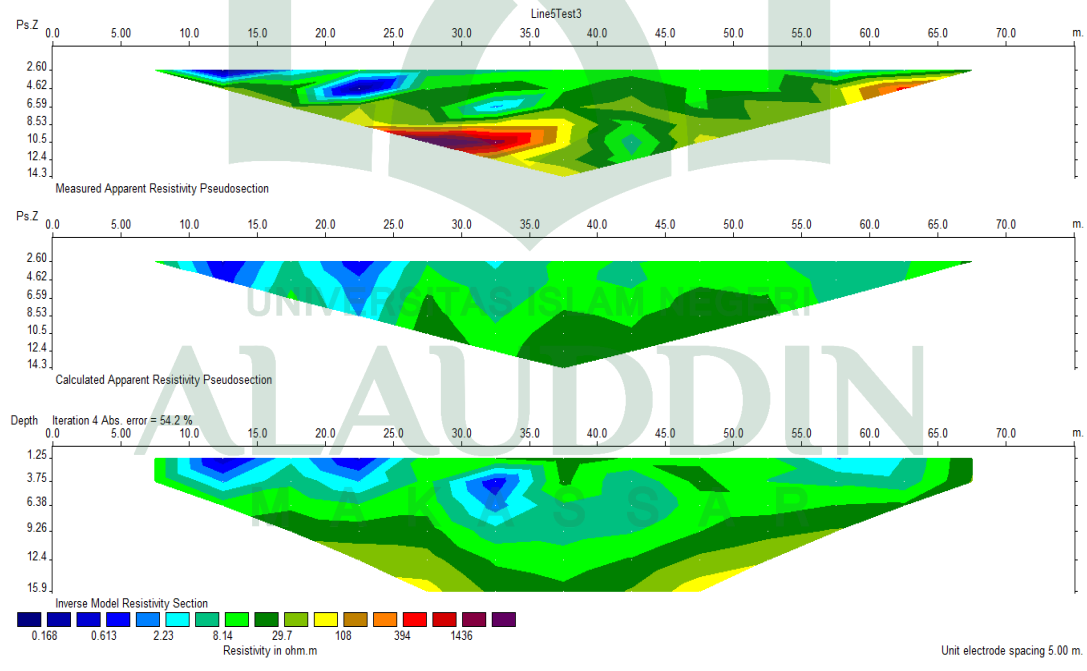
Pada lintasan 4 ditemukan lapisan yang terindikasi sebagai bidang gelincir. lapisan itu berada pada jarak 18 m – 67 m dan berada pada kedalaman 8 m dimana lapisan ini merupakan material batuserpih dalam kondisi fresh dengan nilai resistivitas $37,9 \Omega\text{m}$ – $225 \Omega\text{m}$. Hal ini didasarkan pada sifat dari batuserpih yaitu kedap air atau impermeabel. Sedangkan lapisan yang berada di atasnya merupakan lapisan permeabel (meloloskan air) yaitu material tanah yang telah jenuh air dan juga material pelapukan dengan nilai resistivitas $0,441 \Omega\text{m}$ – $26,7 \Omega\text{m}$. Dalam penelitian yang lain dikatakan bahwa secara geolistrik bidang gelincir ditandai dengan adanya kontras resistivitas antar dua batuan yang berdekatan dimana lapisan kedap air memiliki nilai tahanan jenis yang besar yang berada tepat di antara lapisan yang memiliki tahanan jenis lebih kecil (Dona,dkk ,2015:6) .

Hal lain yang mendukung pendugaan bidang gelincir pada lintasan keempat yaitu bentuk dari bidang gelincirnya cenderung berbentuk seperti cekungan dan mengikuti kemiringan dari lereng. Selain itu lapisan yang diduga

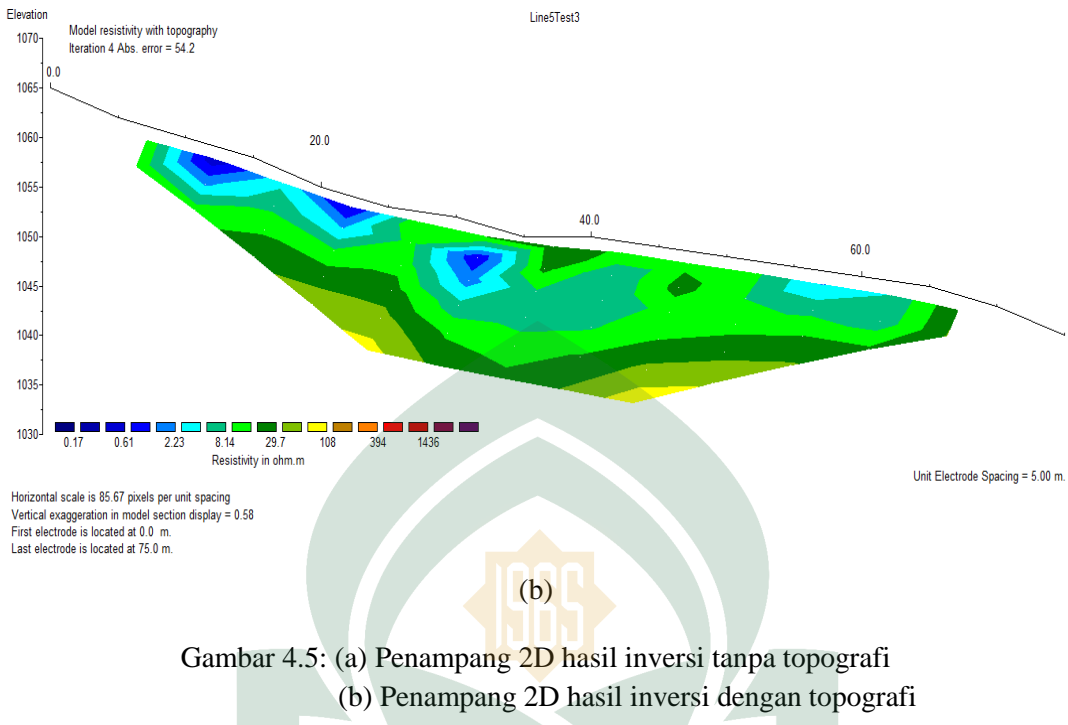
merupakan bidang gelincir memiliki nilai resistivitas $37,9 \Omega\text{m}$. Dalam penelitian yang lain nilai resistivitas bidang gelincir berkisar antara $25 \Omega\text{m} - 50 \Omega\text{m}$ (Muslihudin, dkk , 2012:3).

4.2.5. Lintasan Kelima

Pada lintasan kelima terletak pada titik koordinat $03^{\circ}16'46,5'' - 03^{\circ}16'44,1''$ LS dan $119^{\circ}49'36,3'' - 119^{\circ}49'36,8''$ BT menggunakan spasi terkecil 5 m dengan panjang lintasan 75 m dengan konfigurasi *Wenner - Schlumberger* dengan jumlah datum point (dp) 49 datum dengan kedalaman maksimal yang terukur berdasarkan hasil inversi yaitu 15,9 m dengan nilai resistivitas berada pada rentang $0,168 \Omega\text{m} - 1436 \Omega\text{m}$, berikut tampilan 2D dari data hasil inversi tanpa topografi dan dengan topografi dengan menggunakan *Res2dinv* :



(a)



Gambar 4.5: (a) Penampang 2D hasil inversi tanpa topografi
 (b) Penampang 2D hasil inversi dengan topografi

Tabel 4.5. Klasifikasi Nilai Resistivitas Lintasan Kelima

No	Nilai Resistivitas (Ωm)	Jenis Lapisan / Material	Ketebalan Lapisan (m)	Kedalaman Lapisan (m)	Jarak (m)	Indikator Warna
1	0,168 – 8,14	Tanah yang mengandung banyak air (jenuh air)	6,15 11,31 3,9	0 – 11,31	8 – 26 28 – 45 52 – 64	Biru Tua sampai Biru Muda
2	8,14 – 18,92	Batu serpih (kondisi lapuk)	3,6 2,7 11,56 14 7,87	0 – 14	7,5 17,33 26 – 29 34 – 44 49 – 65	Biru Muda sampai Hujau Muda
3	18,92 – 108	Batu serpih (kondisi fresh)	8,52 3,86 1,14 2,2 1,89 3,9	0 – 15,9	14 – 26 27 36 46 – 48 49 63 – 65	Hijau Muda sampai Kuning

Pada lintasan ini terdapat nilai resistivitas $0,168 \Omega\text{m} – 8,14 \Omega\text{m}$ yang diduga merupakan material tanah. Material tanah ini diduga telah jenuh air, hal ini berdasarkan nilai resistivitas menurut Tellford, dkk 1990 nilai resistivitas tanah

yang mengandung air adalah $0,5 \Omega\text{m} - 105 \Omega\text{m}$. Namun pada wilayah ini nilai resistivitasnya lebih kecil dari nilai resistivitas menurut Tellford, dkk 1990, dengan melihat nilai resistivitas pada wilayah ini bisa dipastikan tanah pada wilayah ini telah jenuh air. Kenyataan di lapangan juga menunjukkan bahwa terdapat banyak titik-titik tanah yang berlumpur disekitaran lintasan 5. Tanah jenuh air ini berada pada kedalaman $0 - 11,31$ m. Pada jarak $8 \text{ m} - 26 \text{ m}$ memiliki ketebalan sebesar $6,15$ m. pada jarak $28 \text{ m} - 45 \text{ m}$ ketebalannya mencapai $11,31$ m dan pada jarak $52 \text{ m} - 64 \text{ m}$ ketebalan hanya $3,9$ m.

Pada lintasan ini juga diperoleh nilai resistivitas $8,14 \Omega\text{m} - 18,92 \Omega\text{m}$. Berdasarkan nilai resistivitasnya dapat dipastikan bahwa material ini adalah batuserpih yang telah mengalami tingkat pelapukan yang sangat tinggi. Material ini berada pada jarak $7,5 \text{ m} - 65 \text{ m}$ dengan kedalaman $0 - 14$ m. Pada jarak $7,5 \text{ m}$ ketebalannya adalah $3,6$ m. Pada jarak $17,33 \text{ m}$ ketebalan material adalah $2,7$ m. Pada jarak $26 \text{ m} - 29 \text{ m}$ ketebalannya mencapai $11,56$ m. Pada jarak $34 \text{ m} - 44 \text{ m}$ ketebalannya mencapai 14 m. Selanjutnya pada jarak $49 \text{ m} - 65 \text{ m}$ ketebalan material ini adalah $7,87$ m. Pada jarak $28 \text{ m} - 45 \text{ m}$ tepat di tengah lapisan ini terdapat nilai resistivitas yang sangat kecil yang diperkirakan wilayah ini merupakan lubang atau batuserpih yang sudah sangat lapuk sehingga air bisa masuk pada wilayah tersebut.

Selanjutnya terdapat material dengan nilai resistivitas $18,92 \Omega\text{m} - 108 \Omega\text{m}$ yang diduga merupakan material batuserpih dengan kondisi fresh yang merupakan bagian dari formasi Toraja (Tets). Dimana menurut tabel resistivitas menurut Tellford, dkk 1990 material batuserpih memiliki nilai resistivitas $20 \Omega\text{m} - 2000$

Ω m. Material ini berada pada kedalaman 0 – 15,9 m dan berada pada jarak 14 m – 63 m. ketebalan material ini berbeda-beda tiap jaraknya. Pada jarak 14 m – 26 m ketebalannya adalah 8,52 m. Pada jarak 27 m ketebalan material 3,86 m. Pada jarak 36 m ketebalannya sangat tipis yaitu 1,14 m. pada jarak 46 m – 48 m ketebalannya 2,2 m. Pada jarak 49 m ketebalan material 1,89 m. Selanjutnya pada jarak 63 m -65 m ketebalannya 3,9 m.

Pada lintasan 5 terindikasi adanya bidang gelincir. Alasan pendugaan ini juga dilihat dari bentuk lapisan yang diduga berperan sebagai bidang gelincir ini yaitu berbentuk cekungan tepatnya pada jarak 27 m – 49 m. Selain itu topografi pada lintasan ini tergolong cukup terjal dan mengikuti kemiringan lereng. Pada penelitian yang lain dari berbagai kejadian longsor, maka tipologi lereng yang rawan longsor adalah lereng yang tersusun oleh perlapisan batuan yang miring searah kemiringan lereng (Karnawati, 2005 dalam Rahmawati, 2009:41).

Lapisan yang diduga berperan sebagai bidang gelincir yaitu lapisan batuserpih yang berada pada jarak 10 m – 64 m dengan nilai resistivitas $29,7 \Omega$ m. Selain itu lapisan di atasnya yaitu tanah yang diduga telah jenuh air dengan nilai resistivitas $0,168 \Omega$ m – $8,14 \Omega$ m. Hal ini juga dikuatkan dengan kondisi di lapangan dimana di sekitar daerah lintasan 5 terdapat beberapa titik yang sudah berlumpur. Dalam penelitian yang lain dikatakan bahwa secara geolistrik bidang gelincir ditandai dengan adanya kontras resistivitas antar dua batuan yang berdekatan dimana lapisan kedap air memiliki nilai tahanan jenis yang besar yang berada tepat di antara lapisan yang memiliki tahanan jenis lebih kecil (Dona,dkk, 2015:6).

Batuserpih sendiri memiliki sifat yang kedap air. Hal ini juga didukung dengan adanya kontras perbedaan nilai resistivitas dimana nilai resistivitas lapisan yang diduga adalah bidang gelincir yaitu $29,7 \Omega\text{m}$. Dalam penelitian yang lain nilai resistivitas bidang gelincir berkisar antara $25 \Omega\text{m} - 50 \Omega\text{m}$ (Muslihudin, dkk , 2012:3).



BAB V

PENUTUP

5.1 Kesimpulan

Telah dilakukan identifikasi lapisan rawan longsor menggunakan metode geolistrik resistivitas konfigurasi wenner- schlumberger di desa Pana kecamatan Alla kabupaten Enrekang, maka diperoleh kesimpulan sebagai berikut:

1. Struktur lapisan di setiap lintasan dibagi menjadi tiga berdasarkan nilai resistivitasnya yaitu lapisan tanah yang mengandung air sampai jenuh air memiliki nilai resistivitas $0,168 \Omega\text{m} - 13,7 \Omega\text{m}$ yang berada pada kedalaman 0 – 11,31 m. Selanjutnya lapisan batuserpih dalam kondisi lapuk dengan nilai resistivitas $4,16 \Omega\text{m} - 41,3 \Omega\text{m}$ yang berada pada kedalaman 0 – 14 m. Berikutnya lapisan batuserpih dalam kondisi fresh dengan nilai resistivitas $41,3 \Omega\text{m} - 1141 \Omega\text{m}$ dengan kedalaman 0 – 15,9 m.
2. Pada lintasan pertama dan kedua tidak terdapat bidang gelincir dikarenakan lapisan kedap airnya cenderung datar dan tidak miring mengikuti kemiringan lereng. Pada lintasan ketiga, keempat dan kelima ditemukan adanya lapisan kedap air yang berbentuk cekungan dan mengikuti kemiringan lereng yang berada di bawah lapisan tanah jenuh air dimana lapisan ini diduga merupakan bidang gelincir.

3. 5.2 Saran

Saran-saran penulis untuk penelitian selanjutnya yaitu sebagai berikut:

1. Sebaiknya peneliti selanjutnya menggunakan metode geofisika yang lain seperti metode seismik agar mendapatkan hasil jangkauan yang lebih dalam.

2. Sebaiknya selain menggunakan pendekatan geofisika pada wilayah penelitian, ada baiknya juga menggunakan pendekatan dari prinsip-prinsip ilmu lain. Misalnya saja teknik sipil dan juga meneliti jenis dan sifat tanah di wilayah penelitian.



DAFTAR PUSTAKA

- Armstrong, F. Sompotan. *Struktur Geologi Sulawesi*. Bandung: Perpustakaan Sains Kebumian ITB, 2012.
- Balfas, Muhammad Dahlan. *Geologi Untuk Pertambangan Umum*. Cet. I; Yogyakarta: Graha Ilmu, 2015.
- Badan Penanggulangan Bencana Daerah (BPBD) Kab. Enrekang “ Ancaman Gerakan Tanah” Official Website BPBD Kab. Enrekang. <http://bpbd.enrekangkab.go.id/ancaman-gerakan-tanah/> (28 Januari 2017)
- Djuri, Sudjatmiko., S, Bachri & Sukido. “Peta Geologi Lembar Majene dan Bagian Barat Lembar Palopo, Sulawesi” Bandung, 1998.
- Dona, Irebia Refa,dkk. “Identifikasi Bidang Gelincir Menggunakan Metode Geolistrik Tahanan Jenis Konfigurasi Schlumberger Di Bukit Lantiak Kecamatan Padang Selatan” *Jurnal Fisika UNP*, 2012.
- Effendy, Vicky Nur Amry. “Aplikasi Metode Geolistrik Konfigurasi Dipole-Dipole Untuk Mendekripsi Mineral Mangan (*Physical Modeling*)” *Skripsi*. Jember: Fakultas Matematika Dan Ilmu Pengetahuan Alam Universitas Jember,2012.
- Energi dan Sumber Daya Mineral (ESDM). “Pengenalan Gerakan Tanah” Official Website Kementerian Energi dan Sumber Daya Mineral. http://esdm.go.id/index.php/publikasi/list_publikasi/46/4 (12 Februari 2017)
- Herlin, Helmi Septaria dan arif Budiman. “Penentuan Bidang gelincir Gerakan Tanah Dengan Aplikasi Geolistrik Metode Tahanan Jenis Dua Dimensi Konfigurasi Wenner-Schlumberger” *Jurnal Fisika Unnad Volume 1 Nomor 1-Oktober 2012:19*.
- Kaharuddin.”Studi Penentuan Struktur Bawah Permukaan Pada Daerah Zona Alterasi Dengan Metode Resistivitas (Tahanan Jenis) Di Kabupaten Gunung Kidul DI Yogyakarta”*Skripsi*.Makassar: Fakultas Sains Dan Teknologi Universitas Islam Negeri Alauddin Makassar, 2016.
- Kementerian Agama. *Pelestarian Lingkungan Hidup (Tafsir Al-Qur'an Tematik)*. Jakarta: Lajnah Pentashihan Mushaf Al-Qur'an,2009

- M. Quraish Shihab. "Tafsir Al- Misbah". Jakarta, Lentera Hati: 2002.
- Muh.Taufik Dwi Putra. "Analisis Data Inversi 2-Dimensi Dan 3-Dimensi Untuk Karakterisasi Nilai Resistivitas Bawah Permukaan Di Sekitar Sumber Air Panas Kampala" *Skripsi*. Makassar: Fakultas Matematika Dan Ilmu Pengetahuan Alam Universitas Hasanuddin, 2015.
- Muslihudin, dkk. "Studi Bidang Gelincir Sebagai Langkah Awal Mitigasi Bencana Longsor Di Kampung Ledok Kecamatan Sumberpucung Kabupaten Malang Menggunakan Metode Geolistrik Konfigurasi Dipole-Dipole. *Jurnal Fisika Universitas Brawijaya*,2012.
- Priambodo, Imam Catur, dkk. Aplikasi Metoda Geolistrik Konfigurasi Wenner-Schlumberger Pada Survey Gerakan Tanah Di Bajawa, NTT" *Buletin Vulkanologi dan Bencana Geologi* Volume 6 Nomor 2-Agustus 2011:3.
- Primus, S. *Bencana Tanah Longsor: Seri Pendidikan Pengurangan Risiko*. Jakarta, Andi Publisher, 2014.
- Rahmawati, Afifah. "Pendugaan bidang Gelincir Tanah Longsor Berdasarkan Sifat Kelistrikan Bumi dengan Aplikasi geolistrik Metode Tahanan Jenis Konfigurasi Schlumberger" *Skripsi*. Semarang: Fakultas Matematika Dan Ilmu Pengetahuan Alam Universitas Negeri Semarang,2009.
- Romosi, Mezrin. "Pendugaan Bidang Gelincir Menggunakan Metode Geolistrik Tahanan Jenis Masw, Dan Data Mekanika Tanah Di desa Cimuncang Kec. Malausma Kab. Majalengka" *Skripsi*. Lampung: Fakultas Teknik Universitas Lampung,2016.
- Subekti, Imam. *Geologi Umum*. Cet. I; Yogyakarta: Teknosain, 2016.
- Sujarwo, Anton. "Identifikasi Lapisan Rawan Tanah Longsor Menggunakan Metode Geolistrik Konfigurasi Dipole-Dipole Di Desa Pendoworejo Kecamatan Girimulyo Kabupaten Kulon Progo" *Skripsi*. Yogyakarta: Fakultas sains Dan Teknologi Universitas Islam Negeri Sunan Kalijaga, 2016.
- Utami, Sri dan Supriyadi. "Identifikasi Potensi Longsor Menggunakan Metode Seismik Refraksi Di kawasan Wisata Nglimut Desa Gonoharjo Limbangan Kendal" *Unnes Physics Journal*.UPJ 3 (2)- 2014.



UNIVERSITAS ISLAM NEGERI
ALAUDDIN
MAKASSAR

RIWAYAT HIDUP

Muh. Taufik atau sering disapa dengan panggilan Taufik, adalah anak pertama dari 5 bersaudara dari pasangan Bapak Irfan, S.T dan Ibu Ernita Amin, S.Pd yang lahir di Ujung Pandang sekarang Makassar, pada tanggal 1 Juli 1995. Pada tahun 2000 penulis memulai pendidikannya di TK Al-Ikhlas di Kab. Tolitoli, Sulawesi Tengah. Pada tahun 2001 penulis melanjutkan pendidikannya di SDN 5 Tolitoli, selanjutnya pada tahun 2007 penulis melanjutkan pendidikan ke jenjang yang lebih tinggi yaitu di SMP Negeri 3 Tolitoli. Pada tahun 2008 penulis terpilih untuk mewakili SMP Negeri 3 Tolitoli dalam Olimpiade Sains Nasional (OSN) tingkat Kab. Tolitoli dibidang astronomi dan menjadi juara 3 sehingga menjadikan penulis sebagai salah satu wakil dari Kab. Tolitoli dalam Olimpiade Sains Nasional (OSN) tingkat provinsi dalam bidang astronomi. Pada tahun 2010 penulis melanjutkan pendidikannya di kota Makassar, yaitu di MAN 2 Model Makassar. Pada tahun 2012 penulis mewakili sekolahnya dalam lomba membaca bacaan Jepang yang diadakan di SMA 17 Makassar dan penulis berhasil memenangkan peringkat kedua. Pada tahun 2013 penulis melanjutkan pendidikannya di salah satu Perguruan Tinggi Negeri (PTN) yaitu di Universitas Islam Negeri Alauddin Makassar, Fakultas Sains dan Teknologi Jurusan Fisika.



UNIVERSITAS ISLAM NEGERI
ALAUDDIN
MAKASSAR



UNIVERSITAS ISLAM NEGERI
ALAUDDIN
MAKASSAR











JADWAL KEGIATAN

Data Pengukuran Di Lapangan

Lintasan 1

Datum	Depth	Axis	A	M	N	B	SP	I:AB	V:MN	Time
1	1	1	1	2	3	4	1,372	1,291	0,731	14:18:03
2	1	2	2	3	4	5	0,541	1,287	0,558	14:18:14
3	1	3	3	4	5	6	0,155	1,289	0,489	14:18:25
4	1	4	4	5	6	7	1,824	1,29	2,088	14:18:35
5	1	5	5	6	7	8	1,677	1,289	2,007	14:18:47
6	1	6	6	7	8	9	0,11	1,291	0,08	14:18:58
7	1	7	7	8	9	10	0,932	1,292	1,202	14:19:09
8	1	8	8	9	10	11	0,323	1,292	0,182	14:19:20
9	1	9	9	10	11	12	0,907	1,293	1,118	14:19:31
10	1	10	10	11	12	13	1,083	1,292	1,306	14:19:43
11	1	11	11	12	13	14	1,505	1,293	1,832	14:19:54
12	1	12	12	13	14	15	0,41	1,293	0,576	14:20:05
13	1	13	13	14	15	16	1,097	1,293	1,389	14:20:16
14	2	1	1	3	4	6	3,914	1,292	0,417	14:20:27
15	2	2	2	4	5	7	0,981	1,291	0,779	14:20:39
16	2	3	3	5	6	8	0,636	1,291	0,627	14:20:50
17	2	4	4	6	7	9	1,059	1,293	1,165	14:21:01
18	2	5	5	7	8	10	0,204	1,292	0,084	14:21:12
19	2	6	6	8	9	11	0,533	1,293	0,668	14:21:23
20	2	7	7	9	10	12	0,459	1,291	0,385	14:21:33
21	2	8	8	10	11	13	0,259	1,291	0,349	14:21:44
22	2	9	9	11	12	14	0,741	1,293	0,852	14:21:55
23	2	10	10	12	13	15	0,477	1,294	0,59	14:22:06
24	2	11	11	13	14	16	2,06	1,294	2,14	14:22:17
25	3	1	1	4	5	8	0,256	1,294	0,17	14:22:28
26	3	2	2	5	6	9	2,033	1,293	2,146	14:22:38
27	3	3	3	6	7	10	1,077	1,293	1,193	14:22:49

28	3	4	4	7	8	11	0,497	1,294	0,484	14:23:00
29	3	5	5	8	9	12	0,362	1,294	0,441	14:23:11
30	3	6	6	9	10	13	0,434	1,294	0,382	14:23:23
31	3	7	7	10	11	14	0,315	1,294	0,37	14:23:34
32	3	8	8	11	12	15	1,638	1,293	1,687	14:23:45
33	3	9	9	12	13	16	0,614	1,294	0,68	14:23:56
34	4	1	1	5	6	10	1,202	1,294	1,282	14:24:07
35	4	2	2	6	7	11	0,375	1,294	0,458	14:24:18
36	4	3	3	7	8	12	0,429	1,294	0,374	14:24:29
37	4	4	4	8	9	13	0,463	1,295	0,398	14:24:41
38	4	5	5	9	10	14	0,861	1,295	0,85	14:24:52
39	4	6	6	10	11	15	0,371	1,295	0,387	14:25:03
40	4	7	7	11	12	16	0,93	1,295	0,991	14:25:14
41	5	1	1	6	7	12	0,981	1,295	0,501	14:25:26
42	5	2	2	7	8	13	2,713	1,296	0,212	14:25:36
43	5	3	3	8	9	14	0,409	1,295	0,397	14:25:48
44	5	4	4	9	10	15	0,682	1,296	0,678	14:25:59
45	5	5	5	10	11	16	0,077	1,295	0,047	14:26:10
46	6	1	1	7	8	14	1,505	1,296	1,517	14:26:20
47	6	2	2	8	9	15	0,452	1,296	0,433	14:26:31
48	6	3	3	9	10	16	0,617	1,296	0,615	14:26:42
49	7	1	1	8	9	16	0,473	1,296	0,455	14:26:53

Lintasan 2

MAKASSAR

Datum	Depth	Axis	A	M	N	B	SP	I:AB	V:MN	Time
1	1	1	1	2	3	4	0,11	1,31	0,55	13:18:13
2	1	2	2	3	4	5	0,808	1,31	0,818	13:18:23
3	1	3	3	4	5	6	1,522	1,31	2,002	13:18:34
4	1	4	4	5	6	7	2,211	1,31	2,554	13:18:45
5	1	5	5	6	7	8	0,924	1,31	1,095	13:18:56

6	1	6	6	7	8	9	1,877	1,31	2,06	13:19:07
7	1	7	7	8	9	10	1,041	1,311	1,264	13:19:17
8	1	8	8	9	10	11	3,763	1,31	0,408	13:19:28
9	1	9	9	10	11	12	0,988	1,311	1,389	13:19:39
10	1	10	10	11	12	13	1,759	1,311	2,141	13:19:50
11	1	11	11	12	13	14	0,713	1,31	1,107	13:20:02
12	1	12	12	13	14	15	1,281	1,311	1,694	13:20:13
13	1	13	13	14	15	16	0,429	1,312	0,843	13:20:24
14	2	1	1	3	4	6	1,039	1,31	1,218	13:20:35
15	2	2	2	4	5	7	1,441	1,311	1,232	13:20:46
16	2	3	3	5	6	8	0,84	1,311	0,835	13:20:57
17	2	4	4	6	7	9	0,349	1,311	0,44	13:21:08
18	2	5	5	7	8	10	0,655	1,312	0,006	13:21:19
19	2	6	6	8	9	11	0,412	1,311	0,546	13:21:30
20	2	7	7	9	10	12	2,025	1,312	2,144	13:21:41
21	2	8	8	10	11	13	0,296	1,312	0,406	13:21:52
22	2	9	9	11	12	14	0,907	1,312	1,04	13:22:03
23	2	10	10	12	13	15	0,711	1,312	0,83	13:22:14
24	2	11	11	13	14	16	3,013	1,312	3,202	13:22:25
25	3	1	1	4	5	8	1,326	1,312	1,24	13:22:36
26	3	2	2	5	6	9	0,806	1,312	0,908	13:22:46
27	3	3	3	6	7	10	1,327	1,312	1,422	13:22:57
28	3	4	4	7	8	11	0,6	1,313	0,592	13:23:08
29	3	5	5	8	9	12	0,163	1,312	0,233	13:23:19
30	3	6	6	9	10	13	1,471	1,312	1,544	13:23:30
31	3	7	7	10	11	14	0,19	1,312	0,26	13:23:41
32	3	8	8	11	12	15	2,33	1,311	2,394	13:23:52
33	3	9	9	12	13	16	0,378	1,312	0,451	13:24:02
34	4	1	1	5	6	10	0,129	1,312	0,045	13:24:13
35	4	2	2	6	7	11	1,124	1,312	1,194	13:24:24

36	4	3	3	7	8	12	0,275	1,312	0,237	13:24:35
37	4	4	4	8	9	13	0,892	1,312	0,805	13:24:46
38	4	5	5	9	10	14	1,047	1,313	1,036	13:24:57
39	4	6	6	10	11	15	0,15	1,313	0,196	13:25:08
40	4	7	7	11	12	16	1,586	1,313	1,643	13:25:19
41	5	1	1	6	7	12	0,164	1,313	0,385	13:25:30
42	5	2	2	7	8	13	2,447	1,313	2,235	13:25:41
43	5	3	3	8	9	14	0,617	1,313	0,594	13:25:52
44	5	4	4	9	10	15	0,864	1,314	0,86	13:26:03
45	5	5	5	10	11	16	0,035	1,313	0,078	13:26:14
46	6	1	1	7	8	14	0,943	1,312	0,927	13:26:26
47	6	2	2	8	9	15	0,576	1,313	0,44	13:26:36
48	6	3	3	9	10	16	0,8	1,313	0,97	13:26:48
49	7	1	1	8	9	16	0,556	1,314	0,525	13:26:59

Lintasan 3

Datum	Depth	Axis	A	M	N	B	SP	I:AB	V:MN	Time
1	1	1	1	2	3	4	3,798	1,3	0,512	12:14:39
2	1	2	2	3	4	5	0,765	1,3	0,874	12:14:50
3	1	3	3	4	5	6	0,934	1,3	2,499	12:15:01
4	1	4	4	5	6	7	0,709	1,3	1,981	12:15:12
5	1	5	5	6	7	8	2,799	1,298	0,496	12:15:23
6	1	6	6	7	8	9	0,676	1,3	1,214	12:15:35
7	1	7	7	8	9	10	1,702	1,3	3,241	12:15:46
8	1	8	8	9	10	11	2,415	1,297	3,615	12:15:57
9	1	9	9	10	11	12	1,041	1,3	2,57	12:16:08
10	1	10	10	11	12	13	0,593	1,3	2,116	12:16:19
11	1	11	11	12	13	14	0,182	1,296	1,459	12:16:31
12	1	12	12	13	14	15	1,543	1,301	2,38	12:16:42
13	1	13	13	14	15	16	1,4	1,301	2,019	12:16:53

14	2	1	1	3	4	6	2,389	1,301	2,746	12:17:04
15	2	2	2	4	5	7	2,603	1,302	2,323	12:17:15
16	2	3	3	5	6	8	0,584	1,299	0,6	12:17:27
17	2	4	4	6	7	9	1,825	1,302	2,14	12:17:38
18	2	5	5	7	8	10	1,015	1,303	0,943	12:17:48
19	2	6	6	8	9	11	1,273	1,302	1,632	12:17:59
20	2	7	7	9	10	12	1,308	1,303	1,629	12:18:10
21	2	8	8	10	11	13	1,56	1,3	1,89	12:18:21
22	2	9	9	11	12	14	0,049	1,296	0,29	12:18:32
23	2	10	10	12	13	15	0,632	1,303	0,354	12:18:43
24	2	11	11	13	14	16	2,208	1,302	2,462	12:18:54
25	3	1	1	4	5	8	1,945	1,3	1,811	12:19:04
26	3	2	2	5	6	9	1,491	1,303	1,653	12:19:15
27	3	3	3	6	7	10	1,416	1,303	1,222	12:19:26
28	3	4	4	7	8	11	0,498	1,304	0,484	12:19:37
29	3	5	5	8	9	12	1,138	1,304	1,264	12:19:48
30	3	6	6	9	10	13	0,663	1,302	0,769	12:19:59
31	3	7	7	10	11	14	1,924	1,298	2,066	12:20:10
32	3	8	8	11	12	15	1,056	1,3	1,156	12:20:21
33	3	9	9	12	13	16	0,392	1,303	0,291	12:20:33
34	4	1	1	5	6	10	0,884	1,304	0,984	12:20:43
35	4	2	2	6	7	11	2,575	1,304	2,465	12:20:54
36	4	3	3	7	8	12	0,021	1,305	0,057	12:21:05
37	4	4	4	8	9	13	1,921	1,304	1,907	12:21:17
38	4	5	5	9	10	14	1,094	1,3	1,086	12:21:28
39	4	6	6	10	11	15	1,525	1,304	1,627	12:21:39
40	4	7	7	11	12	16	0,064	1,304	0,128	12:21:50
41	5	1	1	6	7	12	3,843	1,305	3,44	12:22:02
42	5	2	2	7	8	13	3,228	1,304	3,162	12:22:13
43	5	3	3	8	9	14	2,598	1,3	2,597	12:22:24

44	5	4	4	9	10	15	0,959	1,305	0,958	12:22:35
45	5	5	5	10	11	16	1,609	1,306	1,674	12:22:46
46	6	1	1	7	8	14	2,155	1,3	2,147	12:22:57
47	6	2	2	8	9	15	2,773	1,305	2,777	12:23:08
48	6	3	3	9	10	16	0,921	1,305	0,92	12:23:19
49	7	1	1	8	9	16	2,856	1,305	2,872	12:23:30

Lintasan 4

Datum	Depth	Axis	A	M	N	B	SP	I:AB	V:MN	Time
1	1	1	1	2	3	4	0,397	1,29	0,441	11:15:47
2	1	2	2	3	4	5	0,572	1,289	0,598	11:15:58
3	1	3	3	4	5	6	1,704	1,289	2,333	11:16:09
4	1	4	4	5	6	7	0,2	1,289	0,971	11:16:20
5	1	5	5	6	7	8	1,434	1,287	1,743	11:16:30
6	1	6	6	7	8	9	1,057	1,289	1,473	11:16:41
7	1	7	7	8	9	10	1,962	1,29	2,392	11:16:52
8	1	8	8	9	10	11	1,772	1,287	2,472	11:17:03
9	1	9	9	10	11	12	0,004	1,291	0,259	11:17:14
10	1	10	10	11	12	13	0,728	1,29	1,283	11:17:25
11	1	11	11	12	13	14	1,831	1,289	2,309	11:17:35
12	1	12	12	13	14	15	0,523	1,29	1,081	11:17:46
13	1	13	13	14	15	16	0,223	1,291	1,111	11:17:57
14	2	1	1	3	4	6	2,019	1,291	2,243	11:18:08
15	2	2	2	4	5	7	0,222	1,292	0,022	11:18:19
16	2	3	3	5	6	8	0,725	1,288	0,734	11:18:30
17	2	4	4	6	7	9	0,67	1,29	0,776	11:18:41
18	2	5	5	7	8	10	0,085	1,291	0,007	11:18:52
19	2	6	6	8	9	11	2,008	1,292	2,177	11:19:03
20	2	7	7	9	10	12	1,108	1,293	1,292	11:19:14
21	2	8	8	10	11	13	0,166	1,289	0,248	11:19:25

22	2	9	9	11	12	14	0,697	1,292	0,849	11:19:37
23	2	10	10	12	13	15	1,032	1,292	1,199	11:19:48
24	2	11	11	13	14	16	2,973	1,293	3,236	11:19:59
25	3	1	1	4	5	8	0,612	1,29	0,714	11:20:10
26	3	2	2	5	6	9	1,181	1,293	1,348	11:20:21
27	3	3	3	6	7	10	0,208	1,293	0,137	11:20:32
28	3	4	4	7	8	11	0,645	1,293	0,636	11:20:43
29	3	5	5	8	9	12	1,267	1,294	1,356	11:20:55
30	3	6	6	9	10	13	0,743	1,294	0,845	11:21:06
31	3	7	7	10	11	14	0,054	1,294	0,003	11:21:17
32	3	8	8	11	12	15	2,071	1,291	2,194	11:21:28
33	3	9	9	12	13	16	0,763	1,294	0,822	11:21:39
34	4	1	1	5	6	10	0,107	1,295	0,195	11:21:51
35	4	2	2	6	7	11	0,148	1,295	0,218	11:22:02
36	4	3	3	7	8	12	0,58	1,296	0,669	11:22:13
37	4	4	4	8	9	13	1,379	1,294	1,494	11:22:24
38	4	5	5	9	10	14	0,793	1,295	0,782	11:22:35
39	4	6	6	10	11	15	0,356	1,296	0,308	11:22:46
40	4	7	7	11	12	16	1,72	1,296	1,819	11:22:57
41	5	1	1	6	7	12	0,942	1,296	0,565	11:23:08
42	5	2	2	7	8	13	3,491	1,295	3,43	11:23:19
43	5	3	3	8	9	14	1,746	1,296	1,787	11:23:30
44	5	4	4	9	10	15	0,605	1,295	0,603	11:23:41
45	5	5	5	10	11	16	0,778	1,296	0,731	11:23:52
46	6	1	1	7	8	14	2,643	1,297	2,692	11:24:03
47	6	2	2	8	9	15	1,737	1,296	1,778	11:24:14
48	6	3	3	9	10	16	0,549	1,297	0,547	11:24:25
49	7	1	1	8	9	16	1,734	1,298	1,774	11:24:36

Lintasan 5

Datum	Depth	Axis	A	M	N	B	SP	I:AB	V:MN	Time
1	1	1	1	2	3	4	0,146	1,291	0,702	10:39:52
2	1	2	2	3	4	5	1,116	1,29	1,121	10:40:04
3	1	3	3	4	5	6	1,783	1,29	1,868	10:40:14
4	1	4	4	5	6	7	1,421	1,291	1,766	10:40:25
5	1	5	5	6	7	8	2,002	1,29	2,251	10:40:37
6	1	6	6	7	8	9	2,289	1,291	2,564	10:40:47
7	1	7	7	8	9	10	1,058	1,291	1,392	10:40:58
8	1	8	8	9	10	11	2,651	1,291	3,143	10:41:09
9	1	9	9	10	11	12	1,764	1,291	2,231	10:41:20
10	1	10	10	11	12	13	0,633	1,279	1,067	10:41:31
11	1	11	11	12	13	14	1,632	1,291	1,738	10:41:42
12	1	12	12	13	14	15	1,899	1,292	2,2	10:41:53
13	1	13	13	14	15	16	0,245	1,277	0,97	10:42:03
14	2	1	1	3	4	6	1,854	1,292	2,084	10:42:15
15	2	2	2	4	5	7	0,84	1,293	0,689	10:42:25
16	2	3	3	5	6	8	0,904	1,292	0,903	10:42:37
17	2	4	4	6	7	9	0,951	1,291	1,05	10:42:48
18	2	5	5	7	8	10	0,684	1,292	0,843	10:42:59
19	2	6	6	8	9	11	0,845	1,292	0,939	10:43:10
20	2	7	7	9	10	12	1,864	1,292	2,034	10:43:22
21	2	8	8	10	11	13	1,264	1,28	1,358	10:43:33
22	2	9	9	11	12	14	0,718	1,293	0,633	10:43:44
23	2	10	10	12	13	15	0,573	1,293	0,905	10:43:55
24	2	11	11	13	14	16	3,872	1,292	0,442	10:44:06
25	3	1	1	4	5	8	1,302	1,292	1,229	10:44:17
26	3	2	2	5	6	9	2,434	1,293	2,562	10:44:28
27	3	3	3	6	7	10	0,89	1,294	0,83	10:44:39

28	3	4	4	7	8	11	0,815	1,293	0,811	10:44:50
29	3	5	5	8	9	12	0,525	1,293	0,587	10:45:01
30	3	6	6	9	10	13	1,685	1,28	1,774	10:45:12
31	3	7	7	10	11	14	1,04	1,293	1,071	10:45:23
32	3	8	8	11	12	15	0,441	1,293	0,542	10:45:34
33	3	9	9	12	13	16	0,582	1,294	0,666	10:45:45
34	4	1	1	5	6	10	1,333	1,294	1,404	10:45:56
35	4	2	2	6	7	11	0,843	1,294	0,797	10:46:06
36	4	3	3	7	8	12	1,639	1,295	1,715	10:46:18
37	4	4	4	8	9	13	0,075	1,283	0,155	10:46:29
38	4	5	5	9	10	14	0,991	1,294	0,979	10:46:40
39	4	6	6	10	11	15	1,037	1,294	1,085	10:46:51
40	4	7	7	11	12	16	0,042	1,294	0,003	10:47:02
41	5	1	1	6	7	12	2,235	1,295	6,21	10:47:13
42	5	2	2	7	8	13	1,614	1,282	0,415	10:47:24
43	5	3	3	8	9	14	0,256	1,295	0,295	10:47:34
44	5	4	4	9	10	15	0,829	1,295	0,826	10:47:45
45	5	5	5	10	11	16	0,614	1,294	0,65	10:47:57
46	6	1	1	7	8	14	3,038	1,295	3,062	10:48:07
47	6	2	2	8	9	15	0,28	1,296	0,292	10:48:18
48	6	3	3	9	10	16	0,778	1,296	0,775	10:48:29
49	7	1	1	8	9	16	0,247	1,294	0,268	10:48:41

Data Hasil Pengolahan di Ms.Excel

Lintasan 1

spasi	a	m	n	b	datum point	spasi level	faktor geometri	resistivitas semu
5	0	5	10	15	7.5	5	31.41592654	15,59845771
5	5	10	15	20	12.5	5	31.41592654	0,414973389
5	10	15	20	25	17.5	5	31.41592654	8,140356449
5	15	20	25	30	22.5	5	31.41592654	6,429305896
5	20	25	30	35	27.5	5	31.41592654	8,04286715
5	25	30	35	40	32.5	5	31.41592654	0,730037023
5	30	35	40	45	37.5	5	31.41592654	6,565247805
5	35	40	45	50	42.5	5	31.41592654	3,428518298
5	40	45	50	55	47.5	5	31.41592654	5,126651585
5	45	50	55	60	52.5	5	31.41592654	5,422408373
5	50	55	60	65	57.5	5	31.41592654	7,94509511
5	55	60	65	70	62.5	5	31.41592654	4,033289872
5	60	65	70	75	67.5	5	31.41592654	7,094702667
5	0	10	15	25	12.5	10	188.4955592	510,1927017
5	5	15	20	30	17.5	10	188.4955592	29,49349571
5	10	20	25	35	22.5	10	188.4955592	1,314066641
5	15	25	30	40	27.5	10	188.4955592	15,45284554
5	20	30	35	45	32.5	10	188.4955592	17,50732748
5	25	35	40	50	37.5	10	188.4955592	19,68051082
5	30	40	45	55	42.5	10	188.4955592	10,80454793
5	35	45	50	60	47.5	10	188.4955592	13,14066641
5	40	50	55	65	52.5	10	188.4955592	16,18175334
5	45	55	60	70	57.5	10	188.4955592	16,46058593
5	50	60	65	75	62.5	10	188.4955592	11,65351216
5	0	15	20	35	17.5	15	565.4866776	37,58257672
5	5	20	25	40	22.5	15	565.4866776	49,4199494
5	10	25	30	45	27.5	15	565.4866776	50,73198345

5	15	30	35	50	32.5	15	565.4866776	5,681087179
5	20	35	40	55	37.5	15	565.4866776	34,52352978
5	25	40	45	60	42.5	15	565.4866776	22,72434872
5	30	45	50	65	47.5	15	565.4866776	24,03536883
5	35	50	55	70	52.5	15	565.4866776	21,42988956
5	40	55	60	75	57.5	15	565.4866776	28,8424426
5	0	20	25	45	22.5	20	1256.637061	77,69008108
5	5	25	30	50	27.5	20	1256.637061	80,60345912
5	10	30	35	55	32.5	20	1256.637061	53,41193074
5	15	35	40	60	37.5	20	1256.637061	63,0744471
5	20	40	45	65	42.5	20	1256.637061	10,6741372
5	25	45	50	70	47.5	20	1256.637061	15,52601775
5	30	50	55	75	52.5	20	1256.637061	59,19294266
5	0	25	30	55	27.5	25	2356.19449	873,3384983
5	5	30	35	60	32.5	25	2356.19449	4546,946312
5	10	35	40	65	37.5	25	2356.19449	21,83346246
5	15	40	45	70	42.5	25	2356.19449	7,272205217
5	20	45	50	75	47.5	25	2356.19449	54,58365614
5	0	30	35	65	32.5	30	3958.406744	36,65191429
5	5	35	40	70	37.5	30	3958.406744	58,03219763
5	10	40	45	75	42.5	30	3958.406744	6,108652382
5	0	35	40	75	37.5	35	6157.521601	85,52113335

Lintasan 2

MAKASSAR

spasi	a	m	n	b	datum point	spasi level	faktor geometri	resistivitas semu
5	0	5	10	15	7.5	5	31.41592654	10,55191426
5	5	10	15	20	12.5	5	31.41592654	0,239816233
5	10	15	20	25	17.5	5	31.41592654	11,51117919
5	15	20	25	30	22.5	5	31.41592654	8,225696795
5	20	25	30	35	27.5	5	31.41592654	4,100857586
5	25	30	35	40	32.5	5	31.41592654	4,388637066
5	30	35	40	45	37.5	5	31.41592654	5,343822744

5	35	40	45	50	42.5	5	31.41592654	80,4583462
5	40	45	50	55	47.5	5	31.41592654	9,609295607
5	45	50	55	60	52.5	5	31.41592654	9,153992324
5	50	55	60	65	57.5	5	31.41592654	9,448759584
5	55	60	65	70	62.5	5	31.41592654	9,896855575
5	60	65	70	75	67.5	5	31.41592654	9,913257306
5	0	10	15	25	12.5	10	188.4955592	25,75626343
5	5	15	20	30	17.5	10	188.4955592	30,05001669
5	10	20	25	35	22.5	10	188.4955592	0,718899921
5	15	25	30	40	27.5	10	188.4955592	13,08397856
5	20	30	35	45	32.5	10	188.4955592	93,24208684
5	25	35	40	50	37.5	10	188.4955592	19,26651788
5	30	40	45	55	42.5	10	188.4955592	17,09677709
5	35	45	50	60	47.5	10	188.4955592	15,80374353
5	40	50	55	65	52.5	10	188.4955592	19,10816263
5	45	55	60	70	57.5	10	188.4955592	17,09677709
5	50	60	65	75	62.5	10	188.4955592	27,1537048
5	0	15	20	35	17.5	15	565.4866776	37,0669621
5	5	20	25	40	22.5	15	565.4866776	43,9631411
5	10	25	30	45	27.5	15	565.4866776	40,94606279
5	15	30	35	50	32.5	15	565.4866776	3,445463382
5	20	35	40	55	37.5	15	565.4866776	30,17078311
5	25	40	45	60	42.5	15	565.4866776	31,46381667
5	30	45	50	65	47.5	15	565.4866776	30,17078311
5	35	50	55	70	52.5	15	565.4866776	27,60575696
5	40	55	60	75	57.5	15	565.4866776	31,46381667
5	0	20	25	45	22.5	20	1256.637061	80,45542162
5	5	25	30	50	27.5	20	1256.637061	67,04618468
5	10	30	35	55	32.5	20	1256.637061	36,39650026
5	15	35	40	60	37.5	20	1256.637061	83,32882953
5	20	40	45	65	42.5	20	1256.637061	10,52780478
5	25	45	50	70	47.5	20	1256.637061	44,02536544
5	30	50	55	75	52.5	20	1256.637061	54,55317022
5	0	25	30	55	27.5	25	2356.19449	396,5871914
5	5	30	35	60	32.5	25	2356.19449	380,4365818
5	10	35	40	65	37.5	25	2356.19449	41,2737801
5	15	40	45	70	42.5	25	2356.19449	7,172585967
5	20	45	50	75	47.5	25	2356.19449	77,16402367
5	0	30	35	65	32.5	30	3958.406744	48,27325297
5	5	35	40	70	37.5	30	3958.406744	410,0101425
5	10	40	45	75	42.5	30	3958.406744	512,5126781

5	0	35	40	75	37.5	35	6157.521601	145,2687745
---	---	----	----	----	------	----	-------------	-------------

Lintasan 3

spasi	a	m	n	b	datum point	spasi level	faktor geometri	resistivitas semu
5	0	5	10	15	7.5	5	31.41592654	79,40979584
5	5	10	15	20	12.5	5	31.41592654	2,63410461
5	10	15	20	25	17.5	5	31.41592654	37,81994233
5	15	20	25	30	22.5	5	31.41592654	30,73927581
5	20	25	30	35	27.5	5	31.41592654	55,74027643
5	25	30	35	40	32.5	5	31.41592654	13,00136037
5	30	35	40	45	37.5	5	31.41592654	37,1916238
5	35	40	45	50	42.5	5	31.41592654	29,06639309
5	40	45	50	55	47.5	5	31.41592654	36,94996283
5	45	50	55	60	52.5	5	31.41592654	36,80496624
5	50	55	60	65	57.5	5	31.41592654	30,95535354
5	55	60	65	70	62.5	5	31.41592654	20,21147618
5	60	65	70	75	67.5	5	31.41592654	14,94731631
5	0	10	15	25	12.5	10	188.4955592	51,72399281
5	5	15	20	30	17.5	10	188.4955592	40,5366794
5	10	20	25	35	22.5	10	188.4955592	2,321731291
5	15	25	30	40	27.5	10	188.4955592	45,60376433
5	20	30	35	45	32.5	10	188.4955592	10,41571778
5	25	35	40	50	37.5	10	188.4955592	51,97381395
5	30	40	45	55	42.5	10	188.4955592	46,43674176
5	35	45	50	60	47.5	10	188.4955592	47,84887272
5	40	50	55	65	52.5	10	188.4955592	35,05202914
5	45	55	60	70	57.5	10	188.4955592	40,21624364
5	50	60	65	75	62.5	10	188.4955592	36,77255917
5	0	15	20	35	17.5	15	565.4866776	58,28862677
5	5	20	25	40	22.5	15	565.4866776	70,306095
5	10	25	30	45	27.5	15	565.4866776	84,1937187

5	15	30	35	50	32.5	15	565.4866776	6,071175987
5	20	35	40	55	37.5	15	565.4866776	54,64058388
5	25	40	45	60	42.5	15	565.4866776	46,03808589
5	30	45	50	65	47.5	15	565.4866776	61,86371974
5	35	50	55	70	52.5	15	565.4866776	43,4989752
5	40	55	60	75	57.5	15	565.4866776	43,83281231
5	0	20	25	45	22.5	20	1256.637061	96,36787281
5	5	25	30	50	27.5	20	1256.637061	106,0046601
5	10	30	35	55	32.5	20	1256.637061	34,66584997
5	15	35	40	60	37.5	20	1256.637061	13,49150219
5	20	40	45	65	42.5	20	1256.637061	7,733151147
5	25	45	50	70	47.5	20	1256.637061	98,29523027
5	30	50	55	75	52.5	20	1256.637061	61,6754386
5	0	25	30	55	27.5	25	2356.19449	727,6217468
5	5	30	35	60	32.5	25	2356.19449	119,2552426
5	10	35	40	65	37.5	25	2356.19449	1,8124573
5	15	40	45	70	42.5	25	2356.19449	1,805513019
5	20	45	50	75	47.5	25	2356.19449	117,2684853
5	0	30	35	65	32.5	30	3958.406744	24,35942611
5	5	35	40	70	37.5	30	3958.406744	12,13304749
5	10	40	45	75	42.5	30	3958.406744	3,033261872
5	0	35	40	75	37.5	35	6157.521601	75,49451771

Lintasan 4

MAKASSAR

spasi	a	m	n	b	datum point	spasi level	faktor geometri	resistivitas semu
5	0	5	10	15	7.5	5	31.41592654	1,071550983
5	5	10	15	20	12.5	5	31.41592654	0,633680442
5	10	15	20	25	17.5	5	31.41592654	15,33019224
5	15	20	25	30	22.5	5	31.41592654	18,79106234
5	20	25	30	35	27.5	5	31.41592654	7,542751593

5	25	30	35	40	32.5	5	31.41592654	10,13888707
5	30	35	40	45	37.5	5	31.41592654	10,47197551
5	35	40	45	50	42.5	5	31.41592654	17,08713953
5	40	45	50	55	47.5	5	31.41592654	6,205314691
5	45	50	55	60	52.5	5	31.41592654	13,51615444
5	50	55	60	65	57.5	5	31.41592654	11,64997121
5	55	60	65	70	62.5	5	31.41592654	13,58921473
5	60	65	70	75	67.5	5	31.41592654	21,60909587
5	0	10	15	25	12.5	10	188.4955592	32,70565861
5	5	15	20	30	17.5	10	188.4955592	29,17887914
5	10	20	25	35	22.5	10	188.4955592	1,317127355
5	15	25	30	40	27.5	10	188.4955592	15,48878239
5	20	30	35	45	32.5	10	188.4955592	11,38857755
5	25	35	40	50	37.5	10	188.4955592	24,65615287
5	30	40	45	55	42.5	10	188.4955592	26,82380734
5	35	45	50	60	47.5	10	188.4955592	11,99118375
5	40	50	55	65	52.5	10	188.4955592	22,17594814
5	45	55	60	70	57.5	10	188.4955592	24,36436408
5	50	60	65	75	62.5	10	188.4955592	38,34055071
5	0	15	20	35	17.5	15	565.4866776	44,71290009
5	5	20	25	40	22.5	15	565.4866776	73,03656239
5	10	25	30	45	27.5	15	565.4866776	31,05147263
5	15	30	35	50	32.5	15	565.4866776	3,936102165
5	20	35	40	55	37.5	15	565.4866776	38,89359684
5	25	40	45	60	42.5	15	565.4866776	44,57468402
5	30	45	50	65	47.5	15	565.4866776	22,28734201
5	35	50	55	70	52.5	15	565.4866776	53,87673226
5	40	55	60	75	57.5	15	565.4866776	25,78339566
5	0	20	25	45	22.5	20	1256.637061	85,39309761
5	5	25	30	50	27.5	20	1256.637061	67,92632765

5	10	30	35	55	32.5	20	1256.637061	86,29683524
5	15	35	40	60	37.5	20	1256.637061	111,6794915
5	20	40	45	65	42.5	20	1256.637061	10,6741372
5	25	45	50	70	47.5	20	1256.637061	46,54211339
5	30	50	55	75	52.5	20	1256.637061	95,99310886
5	0	25	30	55	27.5	25	2356.19449	685,4053417
5	5	30	35	60	32.5	25	2356.19449	110,9867675
5	10	35	40	65	37.5	25	2356.19449	74,54010347
5	15	40	45	70	42.5	25	2356.19449	3,63891041
5	20	45	50	75	47.5	25	2356.19449	85,4484113
5	0	30	35	65	32.5	30	3958.406744	149,5465925
5	5	35	40	70	37.5	30	3958.406744	125,2273738
5	10	40	45	75	42.5	30	3958.406744	6,10394255
5	0	35	40	75	37.5	35	6157.521601	189,7541325

Lintasan 5

spasi	a	m	n	b	datum point	spasi level	faktor geometri	resistivitas semu
5	0	5	10	15	7.5	5	31.41592654	13,53001948
5	5	10	15	20	12.5	5	31.41592654	0,121767157
5	10	15	20	25	17.5	5	31.41592654	2,070041671
5	15	20	25	30	22.5	5	31.41592654	8,395425759
5	20	25	30	35	27.5	5	31.41592654	6,064004424
5	25	30	35	40	32.5	5	31.41592654	6,69200604
5	30	35	40	45	37.5	5	31.41592654	8,127745517
5	35	40	45	50	42.5	5	31.41592654	11,97260717
5	40	45	50	55	47.5	5	31.41592654	11,36424298
5	45	50	55	60	52.5	5	31.41592654	10,66029094
5	50	55	60	65	57.5	5	31.41592654	2,579464146
5	55	60	65	70	62.5	5	31.41592654	7,319035516
5	60	65	70	75	67.5	5	31.41592654	17,83598022

5	0	10	15	25	12.5	10	188.4955592	33,55571101
5	5	15	20	30	17.5	10	188.4955592	22,01301581
5	10	20	25	35	22.5	10	188.4955592	0,145894396
5	15	25	30	40	27.5	10	188.4955592	14,45473305
5	20	30	35	45	32.5	10	188.4955592	23,19720891
5	25	35	40	50	37.5	10	188.4955592	13,71407319
5	30	40	45	55	42.5	10	188.4955592	24,80204727
5	35	45	50	60	47.5	10	188.4955592	13,84264263
5	40	50	55	65	52.5	10	188.4955592	12,39143274
5	45	55	60	70	57.5	10	188.4955592	48,39947847
5	50	60	65	75	62.5	10	188.4955592	500,4177772
5	0	15	20	35	17.5	15	565.4866776	31,95087265
5	5	20	25	40	22.5	15	565.4866776	55,98011967
5	10	25	30	45	27.5	15	565.4866776	26,22040236
5	15	30	35	50	32.5	15	565.4866776	1,74937874
5	20	35	40	55	37.5	15	565.4866776	27,11537047
5	25	40	45	60	42.5	15	565.4866776	39,31899556
5	30	45	50	65	47.5	15	565.4866776	13,55768523
5	35	50	55	70	52.5	15	565.4866776	44,17181318
5	40	55	60	75	57.5	15	565.4866776	36,70856331
5	0	20	25	45	22.5	20	1256.637061	68,94994696
5	5	25	30	50	27.5	20	1256.637061	44,67179662
5	10	30	35	55	32.5	20	1256.637061	73,7485843
5	15	35	40	60	37.5	20	1256.637061	78,35616907
5	20	40	45	65	42.5	20	1256.637061	11,65351216
5	25	45	50	70	47.5	20	1256.637061	46,61404865
5	30	50	55	75	52.5	20	1256.637061	37,87391453
5	0	25	30	55	27.5	25	2356.19449	7232,334439
5	5	30	35	60	32.5	25	2356.19449	2203,648357
5	10	35	40	65	37.5	25	2356.19449	70,95875299

5	15	40	45	70	42.5	25	2356.19449	5,458365614
5	20	45	50	75	47.5	25	2356.19449	65,55100591
5	0	30	35	65	32.5	30	3958.406744	73,36043386
5	5	35	40	70	37.5	30	3958.406744	36,65191429
5	10	40	45	75	42.5	30	3958.406744	9,162978573
5	0	35	40	75	37.5	35	6157.521601	99,92886679



UNIVERSITAS ISLAM NEGERI
ALAUDDIN
MAKASSAR

Lintasan 1

Line1_Test1 - Notepad

File Edit Format View Help

Line1Test1

5
7
49
1
0
7.5 5 1 15.59845771
12.5 5 1 0.414973389
17.5 5 1 8.140356449
22.5 5 1 6.429305896
27.5 5 1 8.04286715
32.5 5 1 0.730037023
37.5 5 1 6.565247805
42.5 5 1 3.428518298
47.5 5 1 5.126651585
52.5 5 1 5.422408373
57.5 5 1 7.94509511
62.5 5 1 4.033289872
67.5 5 1 7.094702667
12.5 5 2 510.1927017
17.5 5 2 29.49349571
22.5 5 2 1.314066641
27.5 5 2 15.45284554
32.5 5 2 17.50732748
37.5 5 2 19.68051082
42.5 5 2 10.80454793
47.5 5 2 13.14066641
52.5 5 2 16.18175334
57.5 5 2 16.46058593
62.5 5 2 11.65351216
17.5 5 3 37.58257672
22.5 5 3 49.4199494

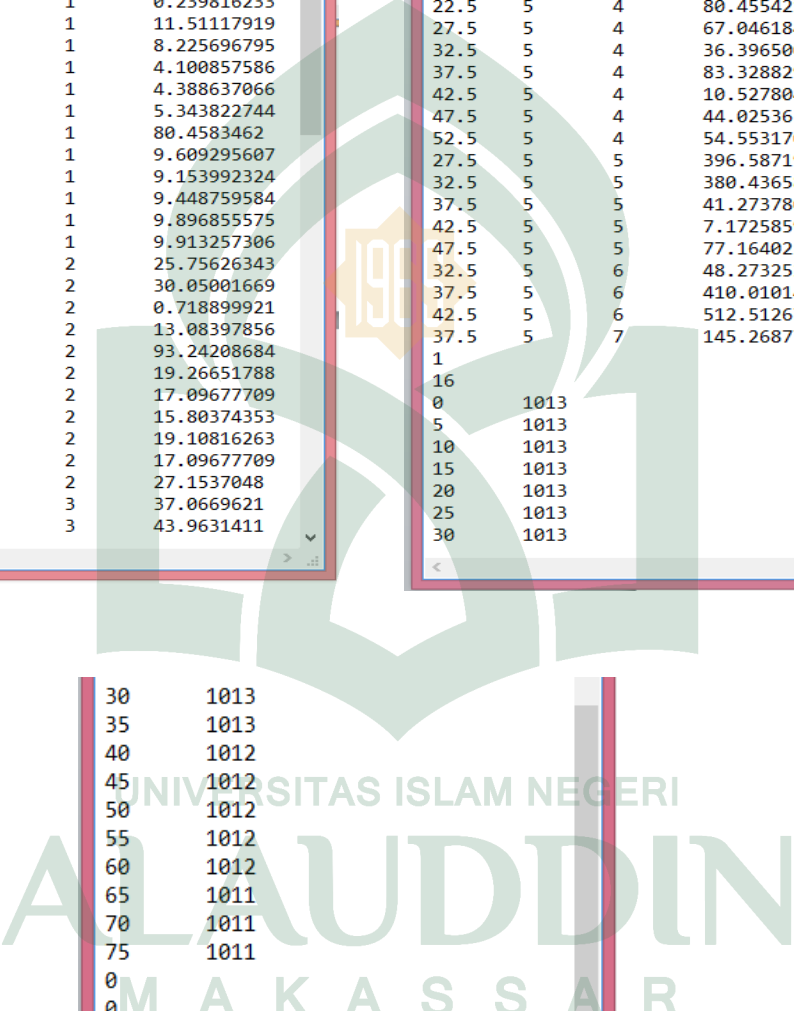
Line1_Test1 - Notepad

File Edit Format View Help

22.5 5 3 49.4199494
27.5 5 3 50.73198345
32.5 5 3 5.681087179
37.5 5 3 34.52352978
42.5 5 3 22.72434872
47.5 5 3 24.03536883
52.5 5 3 21.42988956
57.5 5 3 28.8424426
22.5 5 4 77.69008108
27.5 5 4 80.60345912
32.5 5 4 53.41193074
37.5 5 4 63.0744471
42.5 5 4 10.6741372
47.5 5 4 15.52601775
52.5 5 4 59.19294266
27.5 5 5 873.3384983
32.5 5 5 4546.946312
37.5 5 5 21.83346246
42.5 5 5 7.272205217
47.5 5 5 54.58365614
32.5 5 6 36.65191429
37.5 5 6 58.03219763
42.5 5 6 6.108652382
37.5 5 7 85.52113335

25 1011
30 1011
35 1011
40 1012
45 1012
50 1012
55 1012
60 1012
65 1012
70 1012
75 1012
0
0
0
0

Lintasan 2



Line2_Test3 - Notepad

File Edit Format View Help

Line2Test3

5

7

49

1

0

7.5 5 1 10.55191426

12.5 5 1 0.239816233

17.5 5 1 11.51117919

22.5 5 1 8.225696795

27.5 5 1 4.100857586

32.5 5 1 4.388637066

37.5 5 1 5.343822744

42.5 5 1 80.4583462

47.5 5 1 9.609295607

52.5 5 1 9.153992324

57.5 5 1 9.448759584

62.5 5 1 9.896855575

67.5 5 1 9.913257306

12.5 5 2 25.75626343

17.5 5 2 30.05001669

22.5 5 2 0.718899921

27.5 5 2 13.08397856

32.5 5 2 93.24208684

37.5 5 2 19.26651788

42.5 5 2 17.09677709

47.5 5 2 15.80374353

52.5 5 2 19.10816263

57.5 5 2 17.09677709

62.5 5 2 27.1537048

17.5 5 3 37.0669621

22.5 5 3 43.96314111

Line2_Test3 - Notepad

File Edit Format View Help

27.5 5 3 40.94606279

32.5 5 3 3.445463382

37.5 5 3 30.17078311

42.5 5 3 31.46381667

47.5 5 3 30.17078311

52.5 5 3 27.60575696

57.5 5 3 31.46381667

22.5 5 4 80.45542162

27.5 5 4 67.04618468

32.5 5 4 36.39650026

37.5 5 4 83.32882953

42.5 5 4 10.52780478

47.5 5 4 44.02536544

52.5 5 4 54.55317022

27.5 5 5 396.5871914

32.5 5 5 380.4365818

37.5 5 5 41.2737801

42.5 5 5 7.172585967

47.5 5 5 77.16402367

32.5 5 6 48.27325297

37.5 5 6 410.0101425

42.5 5 6 512.5126781

37.5 5 7 145.2687745

1

16

0 1013

5 1013

10 1013

15 1013

20 1013

25 1013

30 1013

30 1013

35 1013

40 1012

45 1012

50 1012

55 1012

60 1012

65 1011

70 1011

75 1011

0

0

0

0

Lintasan 3

The image shows three windows from Notepad application. The top-left window (green border) contains the text "Line3Test2" followed by a series of coordinates and values. The top-right window (red border) contains a list of numerical values. The bottom window (blue border) contains a series of numbers ending in "1021".

Notepad Window 1 (Green Border):

5			
7			
49			
1			
0			
7.5	5	1	79.40979584
12.5	5	1	2.63410461
17.5	5	1	37.81994233
22.5	5	1	30.73927581
27.5	5	1	55.74027643
32.5	5	1	13.00136037
37.5	5	1	37.1916238
42.5	5	1	29.06639309
47.5	5	1	36.94996283
52.5	5	1	36.80496624
57.5	5	1	30.95535354
62.5	5	1	20.21147618
67.5	5	1	14.94731631
12.5	5	2	51.72399281
17.5	5	2	40.5366794
22.5	5	2	2.321731291
27.5	5	2	45.60376433
32.5	5	2	10.41571778
37.5	5	2	51.97381395
42.5	5	2	46.43674176
47.5	5	2	47.84887272
52.5	5	2	35.05202914
57.5	5	2	40.21624364
62.5	5	2	36.77255917
17.5	5	3	58.28862677
22.5	5	3	70.306095

Notepad Window 2 (Red Border):

27.5	5	3	84.1937187
32.5	5	3	6.071175987
37.5	5	3	54.64058388
42.5	5	3	46.03808589
47.5	5	3	61.86371974
52.5	5	3	43.4989752
57.5	5	3	43.83281231
22.5	5	4	96.36787281
27.5	5	4	106.0046601
32.5	5	4	34.66584997
37.5	5	4	13.49150219
42.5	5	4	7.733151147
47.5	5	4	98.29523027
52.5	5	4	61.6754386
27.5	5	5	727.6217468
32.5	5	5	119.2552426
37.5	5	5	1.8124573
42.5	5	5	1.805513019
47.5	5	5	117.2684853
32.5	5	6	24.35942611
37.5	5	6	12.13304749
42.5	5	6	3.033261872
37.5	5	7	75.49451771
1			
16			
0		1021	
5		1021	
10		1021	
15		1021	
20		1021	
25		1021	
30		1021	

Notepad Window 3 (Blue Border):

30	1021
35	1021
40	1020
45	1020
50	1020
55	1020
60	1020
65	1020
70	1020
75	1020
0	
0	
0	
0	

Lintasan 4

Line4_Test1 - Notepad

File Edit Format View Help

Line4Test1

5

7

49

1

0

7.5 5 1 1.071550983

12.5 5 1 0.633680442

17.5 5 1 15.33019224

22.5 5 1 18.79106234

27.5 5 1 7.542751593

32.5 5 1 10.13888707

37.5 5 1 10.47197551

42.5 5 1 17.08713953

47.5 5 1 6.205314691

52.5 5 1 13.51615444

57.5 5 1 11.64997121

62.5 5 1 13.58921473

67.5 5 1 21.60909587

12.5 5 2 32.70565861

17.5 5 2 29.17887914

22.5 5 2 1.317127355

27.5 5 2 15.48878239

32.5 5 2 11.38857755

37.5 5 2 24.65615287

42.5 5 2 26.82380734

47.5 5 2 11.99118375

52.5 5 2 22.17594814

57.5 5 2 24.36436408

62.5 5 2 38.34055071

17.5 5 3 44.71290009

22.5 5 3 73.03656239

27.5 5 3 31.05147263

32.5 5 3 3.936102165

37.5 5 3 38.89359684

42.5 5 3 44.57468402

47.5 5 3 22.28734201

52.5 5 3 53.87673226

57.5 5 3 25.78339566

22.5 5 4 85.39309761

27.5 5 4 67.92632765

32.5 5 4 86.29683524

37.5 5 4 111.6794915

42.5 5 4 10.6741372

47.5 5 4 46.54211339

52.5 5 4 95.99310886

57.5 5 5 685.4053417

32.5 5 5 110.9867675

37.5 5 5 74.54010347

42.5 5 5 3.63891041

47.5 5 5 85.4484113

52.5 5 6 149.5465925

37.5 5 6 125.2273738

42.5 5 6 6.10394255

37.5 5 7 189.7541325

1

16

0

1038

5

1038

10

1037

15

1037

20

1036

25

1036

30

1035

--

30 1035

35 1035

40 1034

45 1034

50 1032

55 1031

60 1030

65 1030

70 1029

75 1029

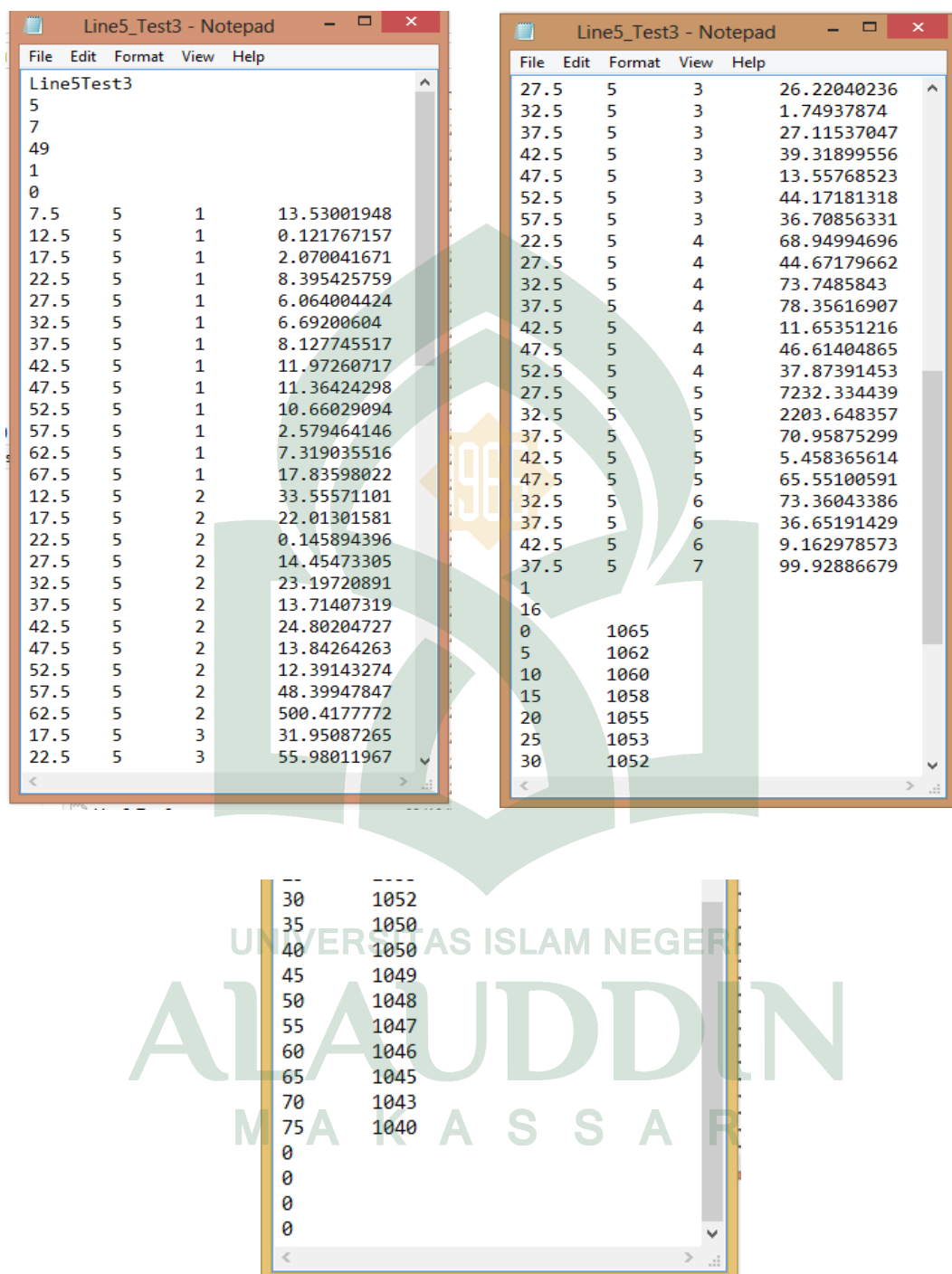
0

0

0

0

Lintasan 5



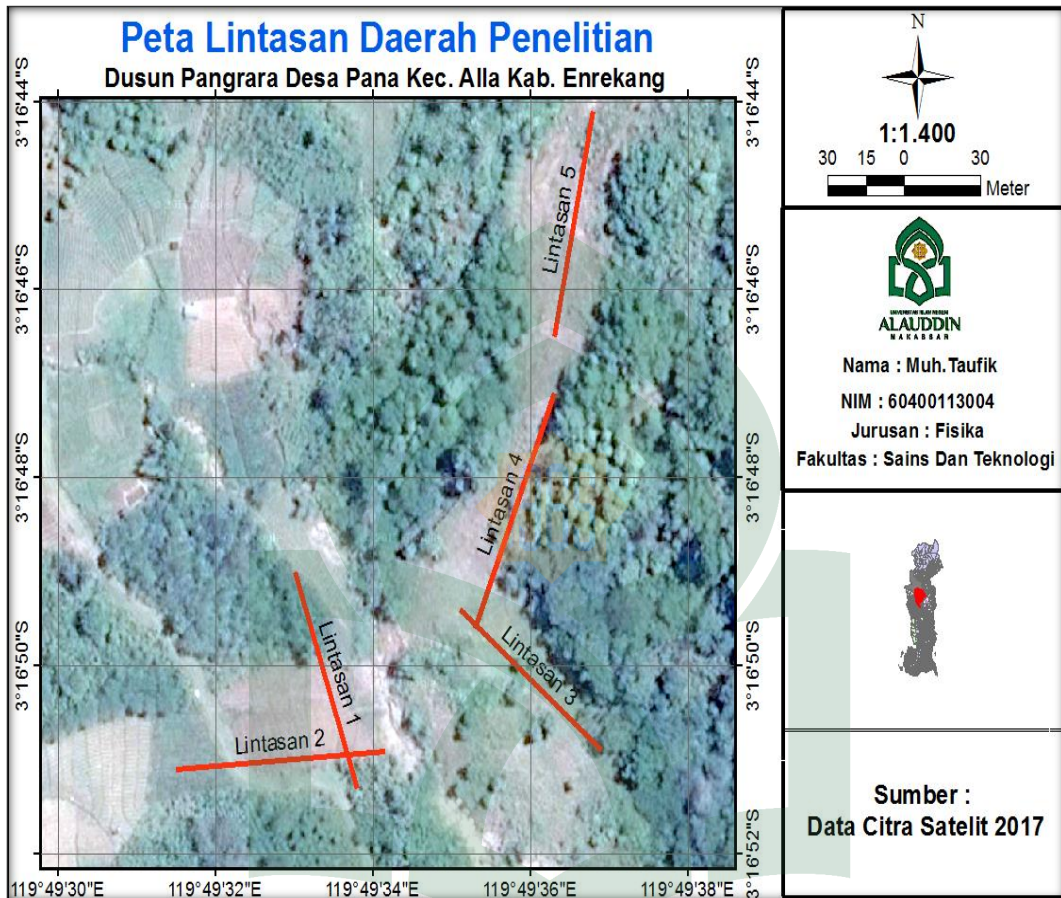
Line	Elektroda	Longitude			Latitude			Elevasi
		Derajat	Menit	Detik	Derajat	Menit	Detik	
1	1	3	16	51,1	119	49	31,5	1011
	2	3	16	51,1	119	49	31,6	1011
	3	3	16	51,0	119	49	31,8	1011
	4	3	16	51,0	119	49	31,9	1011
	5	3	16	51,0	119	49	32,1	1011
	6	3	16	50,9	119	49	32,3	1011
	7	3	16	50,9	119	49	32,5	1011
	8	3	16	50,8	119	49	32,6	1011
	9	3	16	50,8	119	49	32,8	1012
	10	3	16	50,7	119	49	33,0	1012
	11	3	16	50,7	119	49	33,0	1012
	12	3	16	50,7	119	49	33,2	1012
	13	3	16	50,7	119	49	33,4	1012
	14	3	16	50,8	119	49	33,6	1012
	15	3	16	50,7	119	49	33,8	1012
	16	3	16	50,7	119	49	33,9	1012
2	1	3	16	51,3	119	49	33,8	1013
	2	3	16	50,9	119	49	33,8	1013
	3	3	16	50,8	119	49	33,8	1013
	4	3	16	50,6	119	49	33,6	1013
	5	3	16	50,6	119	49	33,6	1013
	6	3	16	50,3	119	49	33,5	1013
	7	3	16	50,2	119	49	33,5	1013
	8	3	16	50,0	119	49	33,4	1013
	9	3	16	49,9	119	49	33,4	1012
	10	3	16	49,8	119	49	33,4	1012
	11	3	16	49,7	119	49	33,4	1012
	12	3	16	49,5	119	49	33,4	1012
	13	3	16	49,4	119	49	33,3	1012
	14	3	16	49,3	119	49	33,2	1011
	15	3	16	49,1	119	49	33,0	1011
	16	3	16	49,0	119	49	33,0	1011
3	1	3	16	49,4	119	49	35,1	1021
	2	3	16	49,4	119	49	35,3	1021
	3	3	16	49,6	119	49	35,4	1021
	4	3	16	49,6	119	49	35,5	1021
	5	3	16	49,7	119	49	35,7	1021
	6	3	16	49,8	119	49	35,9	1021
	7	3	16	49,8	119	49	35,9	1021

	8	3	16	50.0	119	49	36.0	1021
	9	3	16	50.1	119	49	36.1	1020
	10	3	16	50.2	119	49	36.2	1020
	11	3	16	50.3	119	49	36.3	1020
	12	3	16	50.4	119	49	36.4	1020
	13	3	16	50.6	119	49	36.6	1020
	14	3	16	50.6	119	49	36.7	1020
	15	3	16	50.7	119	49	36.8	1020
	16	3	16	50.9	119	49	36.9	1020
4	1	3	16	49.6	119	49	35.3	1038
	2	3	16	49.4	119	49	35.4	1038
	3	3	16	49.3	119	49	35.5	1037
	4	3	16	49.1	119	49	35.6	1037
	5	3	16	49.0	119	49	35.6	1036
	6	3	16	48.9	119	49	35.7	1036
	7	3	16	48.8	119	49	35.8	1035
	8	3	16	48.7	119	49	35.7	1035
	9	3	16	48.5	119	49	35.9	1034
	10	3	16	48.4	119	49	35.9	1034
	11	3	16	48.3	119	49	36.0	1032
	12	3	16	47.9	119	49	36.1	1031
	13	3	16	47.7	119	49	36.2	1030
	14	3	16	47.4	119	49	36.3	1030
	15	3	16	47.3	119	49	36.3	1029
	16	3	16	47.1	119	49	36.3	1029
5	1	3	16	44.1	119	49	36.8	1065
	2	3	16	44.2	119	49	36.8	1062
	3	3	16	44.4	119	49	36.9	1060
	4	3	16	44.6	119	49	36.9	1058
	5	3	16	44.8	119	49	36.8	1055
	6	3	16	45.0	119	49	36.5	1053
	7	3	16	44.9	119	49	36.4	1052
	8	3	16	45.3	119	49	36.5	1050
	9	3	16	45.5	119	49	36.6	1050
	10	3	16	45.7	119	49	36.6	1049
	11	3	16	45.9	119	49	36.6	1048
	12	3	16	46.0	119	49	36.4	1047
	13	3	16	46.1	119	49	36.4	1046

	14	3	16	46.2	119	49	36.3	1045
	15	3	16	46.3	119	49	36.3	1043
	16	3	16	46.5	119	49	36.3	1040

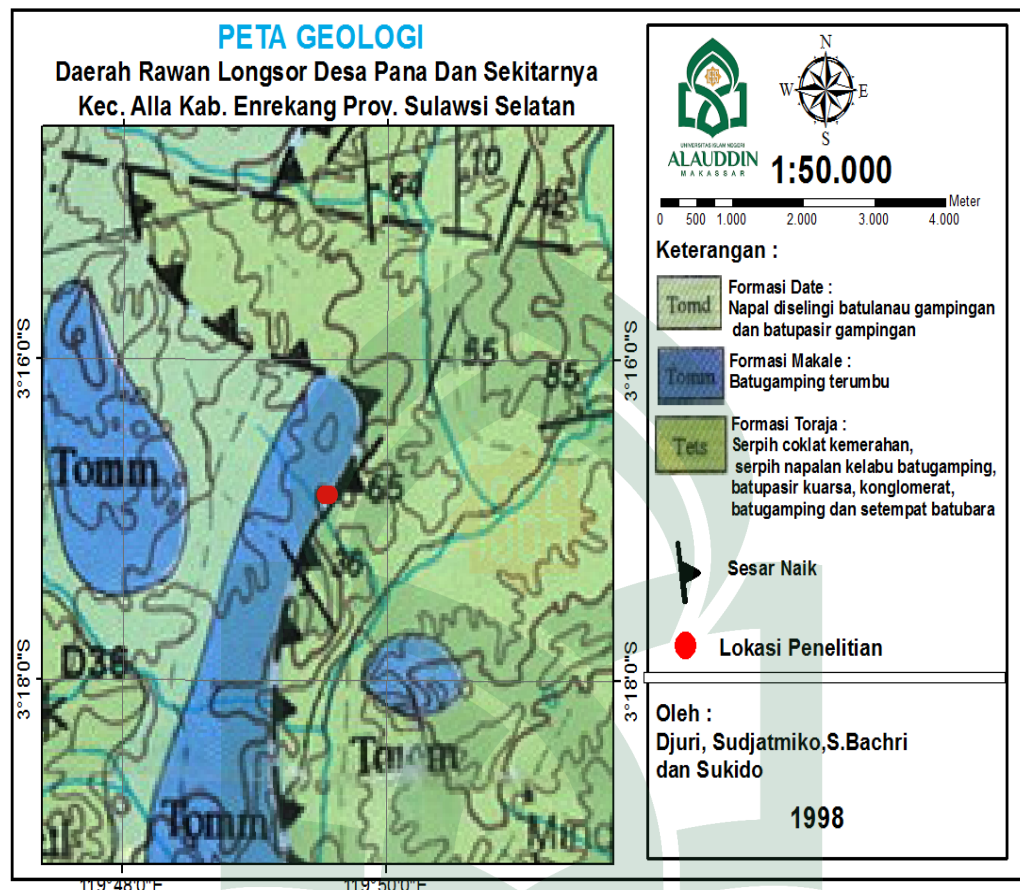


Peta Lintasan Daerah Penelitian



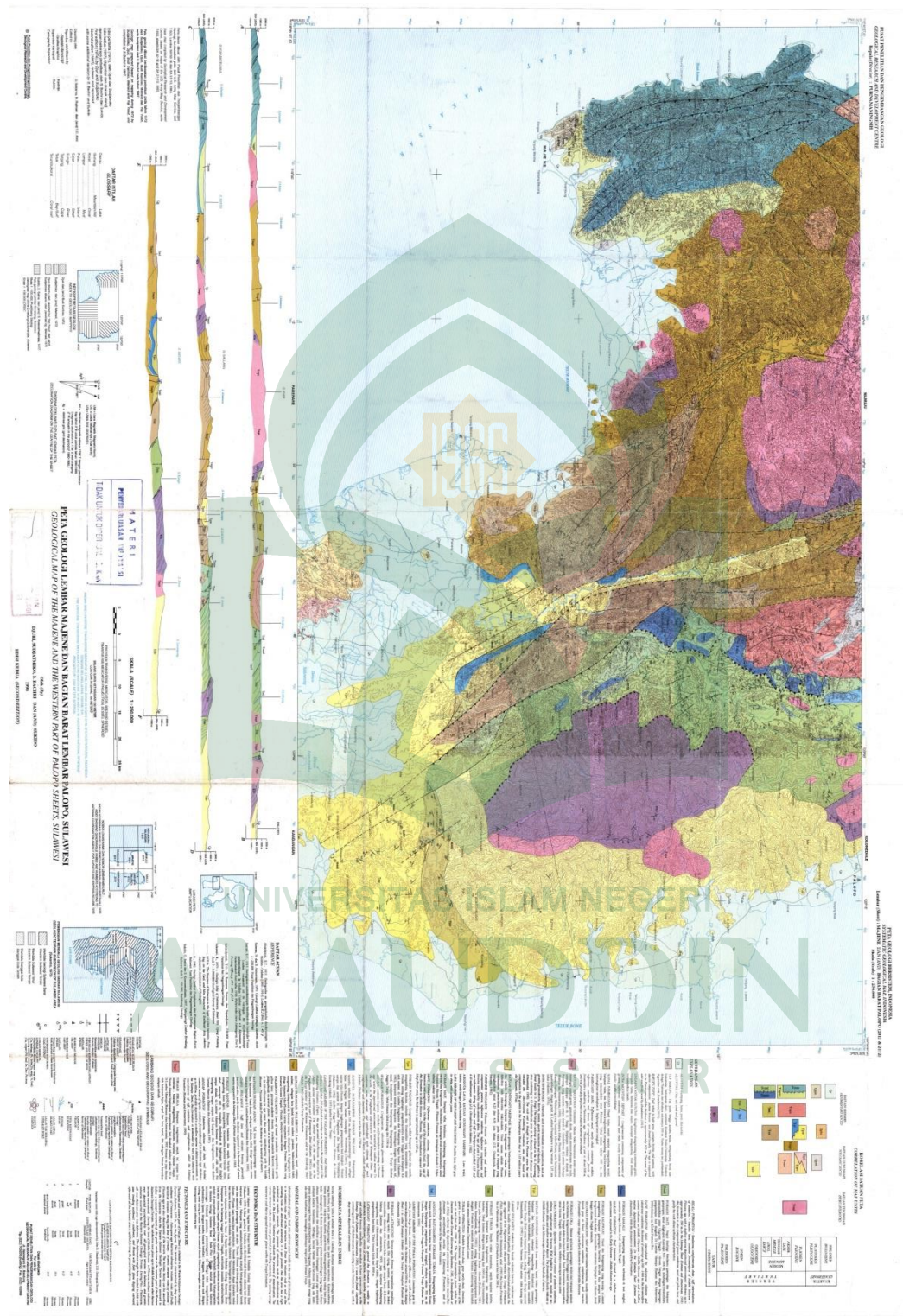
UNIVERSITAS ISLAM NEGERI
ALAUDDIN
MAKASSAR

Peta Geologi Wilayah Penelitian



UNIVERSITAS ISLAM NEGERI
ALAUDDIN
MAKASSAR

Peta Geologi Lembar Majene dan Palopo Bagian Barat



1. Alat dan Bahan Penelitian



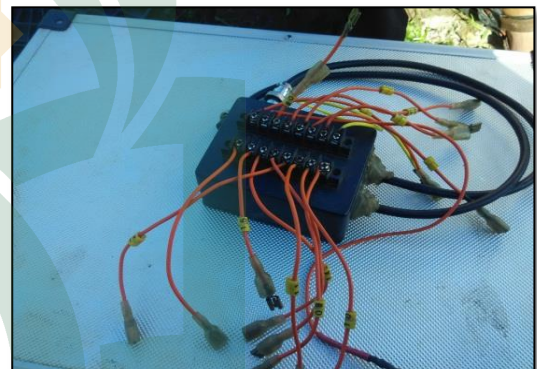
Laptop



Konektor ke Resistivimeter



Resistiviti Meter Multichannel



Konektor Elektroda ke Resistivitymeter



AKI 12 Volt



Rol Meter



Elektroda



Palu



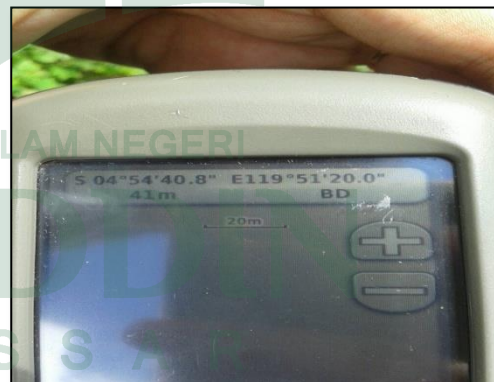
Konektor Kabel Multichannel ke Elektroda



Kabel



Konektor ke Aki



GPS

2. Survei Lokasi Penelitian



Penemuan Singkapan Batuserpih



M A K Penentuan Lintasan C O S A R



Pembentangan Lintasan

Proses Menunggu Pengambilan Data



Menginjeksikan Arus dan tegangan



Pemasangan Elektroda



Proses Pengambilan Data



Pecahan Batuserpih di Sekitaran Sungai



Potongan Batuserpih di Lokasi penelitian



Tim di Daerah Penelitian



Tim di Daerah Penelitian





**KEPUTUSAN DEKAN FAKULTAS SAINS & TEKNOLOGI
UIN ALAUDDIN MAKASSAR
NOMOR : 462 TAHUN 2017**

TENTANG

**PEMBIMBING DALAM PENELITIAN DAN PENYUSUNAN SKRIPSI MAHASISWA
JURUSAN FISIKA FAKULTAS SAINS & TEKNOLOGI
UIN ALAUDDIN MAKASSAR**

DEKAN FAKULTAS SAINS & TEKNOLOGI UIN ALAUDDIN MAKASSAR

Membaca : Surat Permohonan Jurusan **Fisika** Fakultas Sains & Teknologi UIN Alauddin Makassar, Nama **MUH. TAUFIK NIM : 60400113004** tertanggal **27 Februari 2017** untuk mendapatkan Pembimbing Skripsi dengan Judul : **"Identifikasi Lapisan Rawan Longsor Menggunakan Metode Seismik Refraksi Di Desa Pana Kecamatan Alla Kabupaten Enrekang"**

Menimbang : a. Bahwa untuk membantu penelitian dan penyusunan skripsi mahasiswa tersebut, dipandang perlu untuk menetapkan pembimbing dalam penelitian dan penyusunan skripsi mahasiswa tersebut diatas.
b. Bahwa mereka yang ditetapkan dalam surat keputusan ini dipandang cakap dan memenuhi syarat untuk diserahi tugas sebagai pembimbing penyusunan skripsi mahasiswa tersebut diatas.

Mengingat : 1. Undang-undang Nomor 20 Tahun 2003 tentang Sistem Pendidikan Nasional;
2. Undang-undang Nomor 17 tahun 2003 Tentang Keuangan Negara;
3. Undang-undang Nomor 12 Tahun 2012 tentang Pendidikan Tinggi;
4. Peraturan Menteri Agama RI No. 1 Tahun 2012 Tentang Perubahan Ketiga Atas Peraturan Menteri Agama Nomor 2 Tahun 2006 Tentang Mekanisme Pelaksanaan Pembayaran Atas Beban Anggaran Pendapatan dan Belanja Negara di lingkungan Kementerian Agama;
5. Peraturan Menteri Agama RI Nomor 25 Tahun 2013 jo Peraturan Menteri Agama Nomor 85 Tahun 2013 tentang Organisasi dan Tata Kerja UIN Alauddin Makassar;
6. Peraturan Menteri Agama RI. Nomor 20 Tahun 2014 jo Peraturan Menteri Agama Nomor 8 Tahun 2016 Tentang Statuta UIN Alauddin Makassar;
7. Keputusan Menteri Agama Nomor 289 Tahun 1993 jo Nomor 202 B tahun 1998 Tentang pemberian Kuasa dan Pendeklegasian Wewenang Mandatangani Surat Keputusan;
8. Keputusan Menteri Keuangan Nomor: 330/KMK/05/ Tahun 2008 Tentang Penetapan UIN Alauddin Makassar pada Depag Sebagai Institusi Pemerintah yang Menerapkan Pengelolaan Badan Layanan Umum (BLU).

MEMUTUSKAN

Pertama : Mengangkat/ Menunjuk saudara :
1. **Sahara, S.Si., M.Sc., Ph.D.** sebagai Pembimbing Pertama,
2. **Ayusari Wahyuni, S.Si., M.Sc.** sebagai Pembimbing Kedua.

Kedua : Tugas Pembimbing dalam penelitian dan penyusunan skripsi mahasiswa adalah memeriksa draft skripsi dan naskah skripsi, memberi bimbingan, petunjuk-petunjuk, perbaikan mengenai materi, metode, bahasa dan kemampuan menguasai masalah.

Ketiga : Segala biaya yang timbul akibat dikeluarkannya surat keputusan ini dibebankan kepada Anggaran Belanja Fakultas Sains & Teknologi UIN Alauddin Makassar,

Keempat : Surat Keputusan ini mulai berlaku sejak tanggal ditetapkan dan apabila dikemudian hari terdapat kekeliruan didalamnya akan diperbaiki sebagaimana mestinya,

Kelima : Surat Keputusan ini disampaikan kepada masing-masing yang bersangkutan untuk diketahui dan dilaksanakan dengan penuh tanggungjawab.

Ditetapkan di : Makassar
Pada tanggal : 27 Februari 2017



Prof. Dr. H. Arifuddin, M.A.
NIP. 19691205 199303 1 001



**KEPUTUSAN DEKAN FAKULTAS SAINS & TEKNOLOGI
UIN ALAUDDIN MAKASSAR
NOMOR : 696 TAHUN 2017**

TENTANG

**PANITIA SEMINAR DRAFT PENELITIAN DAN PENYUSUNAN SKRIPSI MAHASISWA
JURUSAN Fisika FAKULTAS SAINS & TEKNOLOGI UIN ALAUDDIN MAKASSAR**

DEKAN FAKULTAS SAINS & TEKNOLOGI UIN ALAUDDIN MAKASSAR

- Membaca : Surat Permohonan Ketua Jurusan Fakultas Sains & Teknologi UIN Alauddin Makassar, Muh. Taufik NIM 60400113004 tertanggal 17 Maret 2017, untuk melaksanakan seminar draft.
- Menimbang : Bahwa untuk pelaksanaan dan kelancaran seminar draft/hasil, perlu dibentuk panitia seminar draft dan penyusunan skripsi
- Mengingat : 1. Undang-undang No. 20 Tahun 2003 tentang Sistem Pendidikan Nasional;
2. Undang-undang Nomor 17 Tahun 2003 tentang Keuangan Negara;
3. Undang-undang Nomor 12 Tahun 2012 tentang Pendidikan Tinggi;
4. Peraturan Menteri Agama RI No. 1 Tahun 2012 tentang Perubahan Ketiga atas Peraturan Menteri Agama No. 12 Tahun 2006 tentang Mekanisme Pelaksanaan Pembayaran atas Beban Anggaran Pendapatan dan Belanja Negara di Lingkungan Kementerian Agama;
5. Peraturan Menteri Agama RI Nomor 25 Tahun 2013 jo Peraturan Menteri Agama Nomor 85 Tahun 2013 tentang Organisasi dan Tata Kerja UIN Alauddin Makassar;
6. Peraturan Menteri Agama RI. Nomor 20 Tahun 2014 jo Peraturan Menteri Agama Nomor 8 Tahun 2016 tentang Statuta UIN Alauddin Makassar;
7. Keputusan Menteri Agama Nomor 289 Tahun 1993 jo Nomor 202 B Tahun 1998 tentang Pemberian Kuasa dan Pendeklegasian Wewenang Menandatangi Surat Keputusan;
8. Keputusan Menteri Keuangan No.330/05/2008 tentang penetapan UIN Alauddin Makassar pada Dep. Agama sebagai Instansi Pemerintah yang Menerapkan Pengelolaan Badan Layanan Umum (BLU);

MEMUTUSKAN

Menetapkan Pertama : Membentuk Panitia Seminar draft, Jurusan **Fisika** Fakultas Sains dan Teknologi UIN Alauddin Makassar dengan komposisi :

- | | |
|-------------------------|---|
| Ketua | : Hernawati,S.Pd.,M.Pd. |
| Sekertaris | : Ihsan, S.Pd., M.Si |
| Anggota Pengujii | : Sahara,S.Si., M.Sc.,Ph.D.
: Ayusari Wahyuni, S.Si, M.Sc
: Iswadi, S.Pd., M.Si.
: Drs. Hasyim Haddade, M.Ag |
| Pelaksana | : Hapsah,S.T. |

Kedua : 1. Panitia bertugas melaksanakan seminar draft/hasil, memberi bimbingan, petunjuk-petunjuk, perbaikan mengenai materi, metode, bahasa dan kemampuan menguasai masalah penyusunan skripsi
2. Biaya pelaksanaan seminar draft penelitian dibebankan kepada anggaran Fakultas Sains dan Teknologi UIN Alauddin Makassar
3. Apabila dikemudian hari ternyata terdapat kekeliruan dalam surat keputusan ini akan diubah dan diperbaiki sebagaimana mestinya

Surat Keputusan ini disampaikan kepada yang bersangkutan untuk diketahui dan dilaksanakan dengan penuh tanggungjawab.

Ditetapkan di : Makassar
Pada tanggal : 17 Maret 2017



Prof. Dr. H. Arifuddin, M.Ag.
NIP. 19691205 199303 1 001



**KEPUTUSAN DEKAN FAKULTAS SAINS & TEKNOLOGI
UIN ALAUDDIN MAKASSAR
NOMOR : 2260 TAHUN 2017**

TENTANG

**PANITIA UJIAN KUALIFIKASI HASIL PENELITIAN DALAM PENYUSUNAN SKRIPSI MAHASISWA
SAINS & TEKNOLOGI UIN ALAUDDIN MAKASSAR**

DEKAN FAKULTAS SAINS & TEKNOLOGI UIN ALAUDDIN MAKASSAR

- | | |
|-----------|---|
| Membaca | : Surat Permohonan MUH.TAUFIK, NIM 60400113004, tertanggal 25 Oktober 2017, untuk melaksanakan seminar Hasil. |
| Menimbang | : Bahwa untuk pelaksanaan dan kelancaran seminar draft/hasil, perlu dibentuk panitia seminar Hasil dan penyusunan skripsi |
| Mengingat | : <ul style="list-style-type: none"> 1. Undang-Undang No. 20 Tahun 2003 tentang Sistem Pendidikan Nasional; 2. Undang-Undang Nomor 17 Tahun 2003 tentang Keuangan Negara; 3. Undang-Undang Nomor 12 Tahun 2012 tentang Pendidikan Tinggi; 4. Peraturan Menteri Agama RI No.1 Tahun 2012 tentang Perubahan ketiga atas Peraturan Menteri Agama Nomor 2 Tahun 2006 tentang Mekanisme Pelaksanaan Pembayaran atas Beban Anggaran Pendapatan dan Belanja Negara di Lingkungan Kementerian Agama; 5. Peraturan Menteri Agama RI Nomor 25 Tahun 2013 jo Peraturan Menteri Agama Nomor 85 Tahun 2013 tentang Organisasi dan Tata Kerja UIN Alauddin Makassar; 6. Peraturan Menteri Agama RI, Nomor 20 Tahun 2014 jo Peraturan Menteri Agama Nomor 8 Tahun 2016 tentang Statuta UIN Alauddin Makassar; 7. Keputusan Menteri Agama Nomor 289 Tahun 1993 jo Nomor 202 B Tahun 1993 tentang Pemberian Kuasa dan Pendeklasian Wewenang Menandatangani Surat Keputusan; 8. Keputusan Menteri Keuangan No.330/05/2008 tentang penetapan UIN Alauddin Makassar pada Dep.Agama sebagai Instansi Pemerintah yang Menerapkan Pengelolaan Badan Layanan Umum (BLU); 9. Keputusan Rektor UIN Alauddin No.200 tahun 2016 tentang Pedoman Edukasi UIN Alauddin Makassar; |

MEMUTUSKAN

Membentuk Dewan Pengaji Seminar Hasil, Jurusan **Fisika** Fakultas Sains dan Teknologi UIN Alauddin Makassar dengan komposisi :

Ketua : Muhamad Said L, S.Si., M.Pd.
Sekertaris : Ihsan, S.Pd., M.Si.
Anggota Pengaji : Sahara, S.Si., M.Sc., Ph.D.
 : Ayusari Wahyuni, S.Si., M.Sc.
 : Iswadi, S.Pd., M.Si.
 : Dr. Hasyim Haddade, M.Ag.
 : Agusdin, S.Sos.

- | | |
|-------|--|
| Kedua | : <ul style="list-style-type: none"> 1. Panitia bertugas melaksanakan seminar draft/hasil, memberi bimbingan, petunjuk-petunjuk, perbaikan mengenai materi, metode, bahasa dan kemampuan menguasai masalah penyusunan skripsi 2. Biaya pelaksanaan seminar draft penelitian dibebankan kepada anggaran Fakultas Sains dan Teknologi UIN Alauddin Makassar 3. Apabila dikemudian hari ternyata terdapat kekeliruan dalam surat keputusan ini akan diubah dan diperbaiki sebagaimana mestinya |
|-------|--|

Surat Keputusan ini disampaikan kepada yang bersangkutan untuk diketahui dan dilaksanakan dengan penuh tanggungjawab.

Ditetapkan di : Makassar
Pada tanggal : 25 Oktober 2017

Dekan

Prof. Dr. H. Arifuddin, M.Ag.
NIP. 19691205 19933 1 001



**KEPUTUSAN DEKAN FAKULTAS SAINS & TEKNOLOGI
UIN ALAUDDIN MAKASSAR
NOMOR : 2327 TAHUN 2017
TENTANG**

**PANITIA UJIAN KOMPREHENSIF
JURUSAN FISIKA FAKULTAS SAINS DAN TEKNOLOGI**

DEKAN FAKULTAS SAINS & TEKNOLOGI UIN ALAUDDIN MAKASSAR

Membaca
Menimbang

- : Surat permohonan Ujian Komprehensif : MUH.TAUFIK, NIM: 60400113004
- : Bahwa untuk pelaksanaan dan kelancaran ujian komprehensif perlu dibentuk panitia ujian

Mengingat

1. Undang-Undang No. 20 Tahun 2003 tentang Sistem Pendidikan Nasional;
2. Undang-Undang Nomor 17 Tahun 2003 tentang Keuangan Negara;
3. Undang-Undang Nomor 12 Tahun 2012 tentang Pendidikan Tinggi;
4. Peraturan Menteri Agama RI No.1 Tahun 2012 tentang Perubahan ketiga atas Peraturan Menteri Agama Nomor 2 Tahun 2006 tentang Mekanisme Pelaksanaan Pembayaran atas Beban Anggaran Pendapatan dan Belanja Negara di Lingkungan Kementerian Agama;
5. Peraturan Menteri Agama RI Nomor 25 Tahun 2013 jo Peraturan Menteri Agama Nomor 85 Tahun 2013 tentang Organisasi dan Tata Kerja UIN Alauddin Makassar
6. Peraturan Menteri Agama RI. Nomor 20 Tahun 2014 jo Peraturan Menteri Agama Nomor 8 Tahun 2016 tentang Statuta UIN Alauddin Makassar;
7. Keputusan Menteri Agama Nomor: 289 Tahun 1993 jo Nomor: 202 B Tahun 1998 tentang Pemberian Kuasa dan Pendeklasian Wewenang Menandatangani Surat Keputusan;
8. Keputusan Menteri Keuangan No.330/05/2008 tentang penetapan UIN Alauddin Makassar pada Dep.Agama sebagai Instansi Pemerintah yang Menerapkan Pengelolaan Badan Layanan Umum (BLU);
9. Keputusan Rektor UIN Alauddin No.200 tahun 2016 tentang Pedoman Edukasi UIN Alauddin Makassar;

MEMUTUSKAN

Menetapkan

- 1. Membentuk Panitia Ujian Komprehensif, Jurusan Fisika Fakultas Sains dan Teknologi UIN Alauddin Makassar dengan komposisi:

Ketua	: Dr.Hj.Wasilah,S.T., M.T.
Sekertaris	: Nurman Najib,S.Ag., M.M.
Anggota Pengujii	: Dr.Hasyim Haddade, M.Ag.
	: Sahara, S.Si., M.Sc., Ph.D.
Pelaksana	: Ayusari Wahyuni, S.Si., M.Sc.
	: Jusmulyadi, S.T.
- 2. Panitia bertugas menyiapkan perlengkapan administrasi dan melaksanaan ujian
- 3. Biaya pelaksanaan ujian dibebankan kepada anggaran Fakultas Sains dan Teknologi UIN Alauddin Makassar.
- 4. Tugas Panitia dianggap selesai setelah seluruh rangkaian kegiatan ujian berakhir.
- 5. Apabila dikemudian hari ternyata terdapat kekeliruan dalam surat keputusan ini akan diubah dan diperbaiki sebagaimana mestinya.

Surat keputusan ini disampaikan kepada yang bersangkutan untuk diketahui dan dilaksanakan dengan penuh rasa tanggung jawab.

Ditetapkan di : Makassar
Pada tanggal : 02 November 2017

Dekan

Prof.Dr.H.Arifuddin,M.Ag.
NIP. 19691205 19933 1 001





KEPUTUSAN DEKAN FAKULTAS SAINS & TEKNOLOGI
UIN ALAUDDIN MAKASSAR
NOMOR :2570 TAHUN 2017

TENTANG

PANITIA UJIAN MUNAQASYAH
JURUSAN FISIKA FAKULTAS SAINS & TEKNOLOGI

DEKAN FAKULTAS SAINS & TEKNOLOGI UIN ALAUDDIN MAKASSAR

Membaca : Surat permohonan : MUH.TAUFIK
NIM : 60400113004
Tanggal : 16 November 2017
Mahasiswa Jurusan : FISIKA

Untuk Ujian Skripsi/ Munaqasyah yang berjudul " Identifikasi Lapisan Rawan Longsor Menggunakan Metode Geolistrik Resistivitas Konfigurasi Wenner-Schlumberger di Desa Pana Kec.Alla Kab.Erengkang"

Menimbang : 1. Bahwa saudara tersebut diatas telah memenuhi persyaratan Ujian Skripsi/ Munaqasyah

2. Bahwa untuk pelaksanaan dan kelancaran ujian/ Munaqasyah perlu dibentuk panitia ujian.

Mengingat : 1. Undang-Undang No. 20 Tahun 2003 tentang Sistem Pendidikan Nasional;

2. Undang-Undang Nomor 17 Tahun 2003 tentang Keuangan Negara;

3. Undang-Undang Nomor 12 Tahun 2012 tentang Pendidikan Tinggi;

4. Peraturan Menteri Agama RI No.1 Tahun 2012 tentang Perubahan ketiga atas Peraturan Menteri Agama Nomor 2 Tahun 2006 tentang Mekanisme Pelaksanaan Pembayaran atas Beban Anggaran Pendapatan dan Belanja Negara di Lingkungan Kementerian Agama;

5. Peraturan Menteri Agama RI Nomor 25 Tahun 2013 jo Peraturan Menteri Agama Nomor 85 Tahun 2013 tentang Organisasi dan Tata Kerja UIN Alauddin Makassar

6. Peraturan Menteri Agama RI. Nomor 20 Tahun 2014 jo Peraturan Menteri Agama Nomor 8 Tahun 2016 tentang Statuta UIN Alauddin Makassar;

7. Keputusan Menteri Agama Nomor 289 Tahun 1993 jo Nomor 202 B Tahun 1998 tentang Pemberian Kuasa dan Pendeklegasian Wewenang Menandatangani Surat Keputusan

8. Keputusan Menteri Keuangan No.330/05/2008 tentang penetapan UIN Alauddin Makassar pada Dep.Agama sebagai Instansi Pemerintah yang Menerapkan Pengelolaan Badan Layanan Umum (BLU)

9. Keputusan Rektor UIN Alauddin No.200 tahun 2016 tentang Pedoman Edukasi UIN Alauddin Makassar

MEMUTUSKAN

Menetapkan : 1. Membentuk Dewan Pengaji Skripsi/ Munaqasyah Fakultas Sains dan Teknologi UIN Alauddin Makassar dengan komposisi :

Ketua : Dr.Muh.Thahir Maloko, M.Hi.
Sekertaris : Ihsan, S.Pd.,M.Si.
Anggota Pengaji : Sahara,S.Si., M.Sc.Ph.D.
: Ayusari Wahyuni, S.Si., M.Sc.
: Iswadi, S.Pd., M.Si.
: Dr.Hasyim Haddade, M.Ag.
: Risnawati Salam,S.Sos.

Pelaksana : 2. Panitia bertugas melaksanakan ujian Skripsi/Munaqasyah bagi saudara yang namanya tersebut diatas.

3. Biaya pelaksanaan ujian dibeberkan kepada anggaran Fakultas Sains & Teknologi UIN Alauddin Makassar.

4. Apabila di kemudian hari ternyata terdapat kekeliruan dalam surat keputusan ini akan diubah dan diperbaiki sebagaimana mestinya.

Keputusan ini disampaikan kepada yang bersangkutan untuk diketahui dan dilaksanakan dengan penuh rasa tanggung jawab.

Ditetapkan di Makassar
Pada Tanggal, 16 November 2017



PROF.Dr.H.Arifuddin, M.Ag.
NIP. 19691295 199303 1 001



**KEMENTERIAN AGAMA
UNIVERSITAS ISLAM NEGERI ALAUDDIN MAKASSAR
FAKULTAS SAINS DAN TEKNOLOGI**

Kampus I : Jl. Sultan Alauddin No. 63 Makassar (0411) 868720, Fax. (0411) 864923

Kampus II : Jl. H.M. Yasin Limpo No.36, Romangpolong-Gowa . (0411) 841879, Fax. (0411) 8221400

Nomor : 734 /Un.06/FST/PP.00.9/02/2017
 Sifat : Penting
 Lamp : -
 Hal : Izin Penelitian
 Untuk Menyusun Skripsi

Makassar , 16 Februari 2017

Kepada Yth.
Bapak Gubernur Provinsi Sulawesi Selatan
Cq. Kepala UPT P2T BKPMID Prov. Sulawesi Selatan
 Di-

Tempat

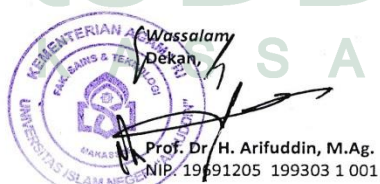
Assalamu Alaikum Wr. Wb.

Dengan hormat kami sampaikan, bahwa mahasiswa UIN Alauddin Makassar yang tersebut namanya di bawah ini :

Nama	:	Muh. Taufik
NIM	:	60400113004
Semester	:	VII
Fakultas	:	Sains & Teknologi UIN Alauddin Makassar
Jurusan	:	Fisika
Pembimbing	:	1. Sahara, S.Si., M.Sc., Ph.D 2. Ayusari Wahyuni, S.Si., M.Sc.

Bermaksud melakukan penelitian dalam rangka penyusunan Skripsi berjudul "**Identifikasi Lapisan Rawan Longsor Menggunakan Metode Seismik Refraksi di Desa Pana Kecamatan Alla, Kabupaten Enrekang**" sebagai salah satu syarat penyelesaian Studi akhir Sarjana/S.1. Untuk maksud tersebut kami mengharapkan kiranya kepada mahasiswa yang bersangkutan diberi izin untuk Penelitian di Desa Pana Kecamatan Alla Kabupaten Enrekang Provinsi Sulawesi -Selatan.

Demikian harapan kami, atas perhatian dan kerjasamanya kami ucapan terima kasih.



Tembusan:

1. Jurusan Fisika Fakultas Sains dan Teknologi UIN Alauddin Makassar
2. Arsip



1 2 0 1 7 1 9 1 4 2 9 9 0 7

PEMERINTAH PROVINSI SULAWESI SELATAN
DINAS PENANAMAN MODAL DAN PELAYANAN TERPADU SATU PINTU
 BIDANG PENYELENGGARAAN PELAYANAN PERIZINAN

Nomor : 9737/S.01P/P2T/07/2017
 Lampiran :
 Perihal : Izin Penelitian

Kepada Yth.
 Bupati Enrekang

di-
Tempat

Berdasarkan surat Dekan Fak. Sains dan Teknologi UIN Alauddin Makassar Nomor : 8045/Un.06/FST/PP.00.9/07/2017 tanggal 03 Juli 2017 perihal tersebut diatas, mahasiswa/peneliti dibawah ini:

Nama	:	MUH. TAUFIK
Nomor Pokok	:	60400113004
Program Studi	:	Fisika
Pekerjaan/Lembaga	:	Mahasiswa(S1)
Alamat	:	Jl. Mu. Yasin Limpo No. 36 Samata, Sungguminasa-Gowa

Bermaksud untuk melakukan penelitian di daerah/kantor saudara dalam rangka penyusunan Skripsi, dengan judul :

" IDENTIFIKASI LAPISAN RAWAN LONGSOR DENGAN METODE GEOLISTRIK RESISTIVITAS KONGFIGURASI DIPOLE-DIPOLE DI DESA PANA KEC. ALLA KAB. ENREKANG "

Yang akan dilaksanakan dari : Tgl. 16 Juli s/d 16 Agustus 2017

Sehubungan dengan hal tersebut diatas, pada prinsipnya kami **menyetujui** kegiatan dimaksud dengan ketentuan yang tertera di belakang surat izin penelitian.

Demikian Surat Keterangan ini diberikan agar dipergunakan sebagaimana mestinya.

Diterbitkan di Makassar
 Pada tanggal : 05 Juli 2017

A.n. GUBERNUR SULAWESI SELATAN
 KEPALA DINAS PENANAMAN MODAL DAN PELAYANAN TERPADU SATU
 PINTU PROVINSI SULAWESI SELATAN
 Selaku Administrator Pelayanan Perizinan Terpadu



Tembusan Yth
 1. Dekan Fak. Sains dan Teknologi UIN Alauddin Makassar di Makassar;
 2. Pertinggal.





PEMERINTAH KABUPATEN ENREKANG
DINAS PENANAMAN MODAL DAN PELAYANAN TERPADU SATU PINTU
Jl. Jenderal Sudirman Km. 3 Pinang Enrekang Telp/Fax [0420]-21079

ENREKANG

Enrekang, 07 Juli 2017

Kepada
 Yth. Kepala Desa Pana
 Di-
 Kec. Alla

Nomor : 483/DPMPTSP/IP/VII/2017
 Lampiran : -
 Perihal : Izin Penelitian

Berdasarkan Surat Dari Kepala Dinas Penanaman Modal Dan Pelayanan Terpadu Satu Pintu Provinsi Sulawesi Selatan, Nomor: 9737/S.01P/P2T/06/2017, tanggal 05 Juli 2017, menerangkan bahwa mahasiswa tersebut di bawah ini:

Nama : Muh. Taufik
 Tempat Tanggal Lahir : Ujung Pandang, 01 Juli 1995
 Instansi/Pekerjaan : Mahasiswa
 Alamat : Jl. Ance Dg Ngoyo No. 21/15 Kec. Panakkukang Kota Makassar

Bermaksud akan mengadakan Penelitian di daerah/kantor saudara dalam rangka penyusunan Skripsi judul: "*Identifikasi Lapisan Rawan Longsor Dengan Metode Geolistrik Resistivitas Konfigurasi Dipole-Dipole Di Desa Pana Kec. Alla Kab. Enrekang*"

Dilaksanakan mulai, Tanggal 07 Juli 2017 s/d 16 Agustus 2017

Pada prinsipnya dapat menyetujui kegiatan tersebut diatas dengan ketentuan:

1. Sebelum dan sesudah melaksanakan kegiatan harus melaporkan diri kepada Pemerintah/Instansi setempat.
2. Tidak menyimpang dari masalah yang telah diizinkan.
3. Mentaati semua peraturan Perundang-undangan yang berlaku dan menghindarkan adat istiadat setempat.
4. Menyerahkan 1 (satu) berkas foto copy Skripsi kepada Bupati Enrekang Up. Kepala Dinas Penanaman Modal dan Pelayanan Terpadu Satu Pintu Kabupaten Enrekang.

Demikian untuk mendapat perhatian.

a.n. BUPATI ENREKANG
 Kepala DPM PTSP Kab. Enrekang

 DINAS PENANAMAN MODAL
 DAN PELAYANAN TERPADU
 SATU PINTU
 Harwan Sawati, SE
 Pangkat : Pembina Utama Muda
 Nip : 19670329 198612 1 001

Tembusan Yth :

01. Bupati Enrekang (Sebagai Laporan).
02. Asisten Administrasi Umum Setda Kab. Enrekang.
03. Kepala BAKESBANG POL Kab. Enrekang.
04. Camat Alla.
05. Universitas Islam Negeri (UIN) Makassar.
06. Yang Bersangkutan (Muh. Taufik).
07. Pertinggal.



**PEMERINTAH KABUPATEN ENREKANG
KECAMATAN ALLA
DESA PANA**

ALAMAT : JL. POROS ENREKANG – TORAJA

SURAT KETERANGAN PENYELESAIAN PENELITIAN

NOMOR : 413/DP/KA/X/2017

Pemerintah Desa Pana dengan ini menerangkan :

Nama : MUH. TAUFIK
 Tempat/ Tanggal Lahir: Ujung Pandang, 01 Juli 1995
 Jenis Kelamin : Laki - Laki
 Pekerjaan : Mahasiswa
 Agama : Islam
 Alamat : Jl. Ance Dg. Ngoy No. 21/15 Kec. Panakkukang Kota Makassar

Yang tersebut namanya diatas benar – benar telah melakukan penelitian dalam rangka penyusunan Skripsi yang dimulai pada tanggal 07 Juli s/d 16 Agustus 2017 dengan Judul “**Identifikasi Lapisan Rawan Longsor Dengan Metode Geolistrik Resistivitas Konfigurasi Wenner di Desa Pana Kecamatan Alla Kabupaten Enrekang**“

Demikian surat keterangan dibuat dan diberikan kepada yang bersangkutan untuk dipergunakan seperlunya.

Pana, 11 Oktober 2017

Kepala Desa Pana,
Sekretaris

